

| 標尺 (m) | 標高 (m) | 深度 (m) | 柱状図 | 岩種区分 | 色調 | 硬軟 | コア形状 | 風化 | 記 | コア採取率 (%) | 岩級区分 | 孔内水位 (m) / 測定月日 | 試験 (N値) | 試験 (N値 ~ 深度) 図 | 原位置試験 (孔壁保護) | 室内試験 | 観進月日 | 観進速度 (分 / 時) | 孔径 (mm) / 孔壁保護 | コアチップピット | 給圧 (MPa) | 回転数 (rpm) | 送水圧 (MPa) | 送水量 (L / 分) | 排水量 (L / 分) | |
|--------|--------|--------|-----|-------|-----|----|------|----|---|-------------|----------------|-----------------|-----------|------------------|----------------|------|------|----------------|----------------|----------|----------|-----------|-----------|-------------|-------------|--|
| | | | | アライイト | 灰褐色 | Bg | Vf | β | 136.00~136.50m: 傾斜10~30°の割れ目が1~2m間隔で分布し、岩片状を呈する。割れ目に粘土付着や粘土層の存在はない。 | 2 | Q ₁ | | | | | | | | | | | | | | | |
| -88.75 | 135.50 | | | コア灰知 | | | | | 135.50~136.00m: コア灰知 | 40 | | | | | | | | | | | | | | | | |
| | | | | アライイト | 灰褐色 | Bg | Vf | β | 136.00~136.30m: 径1~2cm程度の岩片状を呈する。岩片に粘土は付着しない。 | 2 | Q ₁ | | | | | | | | | | | | | | | |
| | | | | アライイト | 灰褐色 | Bg | Vf | β | 136.30~136.50m: スライムを多く含む。 | 3 | Q ₁ | | | | | | | | | | | | | | | |
| -89.46 | 136.50 | | | コア灰知 | | | | | 136.50~136.75m: コア灰知、部分約に粘土状のものを含む。 | 40 | | | | | | | | | | | | | | | | |
| -89.64 | 136.75 | | | コア灰知 | | | | | 136.75~137.08m: 径1~2cmの岩片からなる。 | 40 | | | | | | | | | | | | | | | | |
| -137 | | | | | | | | 2 | 137.08~138.42m: 全体に輝石石にふり彩色を帯びている。概ね1~3cm間隔で傾斜10~30°の割れ目と、これと直交する傾斜40~60°程度の割れ目からなる。割れ目には粘土付着や粘土層の存在はない。また、137.67~137.72mの傾斜45~50°の割れ目においては、径1cm前後の塊状を呈し、輝綠色粘土が付着する可能性があるが、塊の回転や移動は見られず、定向配列もしていない。 | 40 | | | | | | | | | | | | | | | | |
| | | | | アライイト | 灰褐色 | Dg | Vf | β | 138.21~138.42m: 家賃した割れ目窓無部で原岩組織は認められる。割れ目には輝綠色塊物が付着し、全体に138.35m~138.42m: 上位に比べて軟弱化し塊状「FE」となり、細粒化する。照球の粘土は付着しない。 | 4 | Q ₁ | | | | | | | | | | | | | | | |
| | | | | | | | | β | 138.42~140.04m: 傾斜50~60°と、これと斜交する30°程度の割れ目が発達する。138.65m: 上下段に比べて軟弱化する。138.65m: 上下段に比べて軟弱化する。割れ目には彩色を帯びない。照球の粘土は付着しない。 | 40 | | | | | | | | | | | | | | | | |
| -138 | | | | | | | | 2 | 138.21~138.50m: 深く家賃し、割れ目沿いに彩色を帯びる。 | 40 | | | | | | | | | | | | | | | | |
| | | | | | | | | Bg | | 40 | | | | | | | | | | | | | | | | |

第7.4.4.231図 (28) ボーリング調査結果 (2号炉原子炉建屋とD-Iトレンチの間) コア柱状図 (H24-B14-2孔)



第7.4.4.231図 (31) ボーリング調査結果 (2号炉原子炉建屋とD-Iトレンチの間) コア柱状図 (H24-B14-2孔)



第7.4.4.231図 (32) ボーリング調査結果 (2号炉原子炉建屋とD-Iトレンチの間) コア柱状図 (H24-B14-2孔)



第7.4.4.231図(33) ボーリング調査結果(2号炉原子炉建屋とD-Iトレンチの間) コア柱状図(H24-B14-2孔)



第7.4.4.231図 (34) ボーリング調査結果 (2号炉原子炉建屋とD-Iトレンチの間) コア柱状図 (H24-B14-2孔)



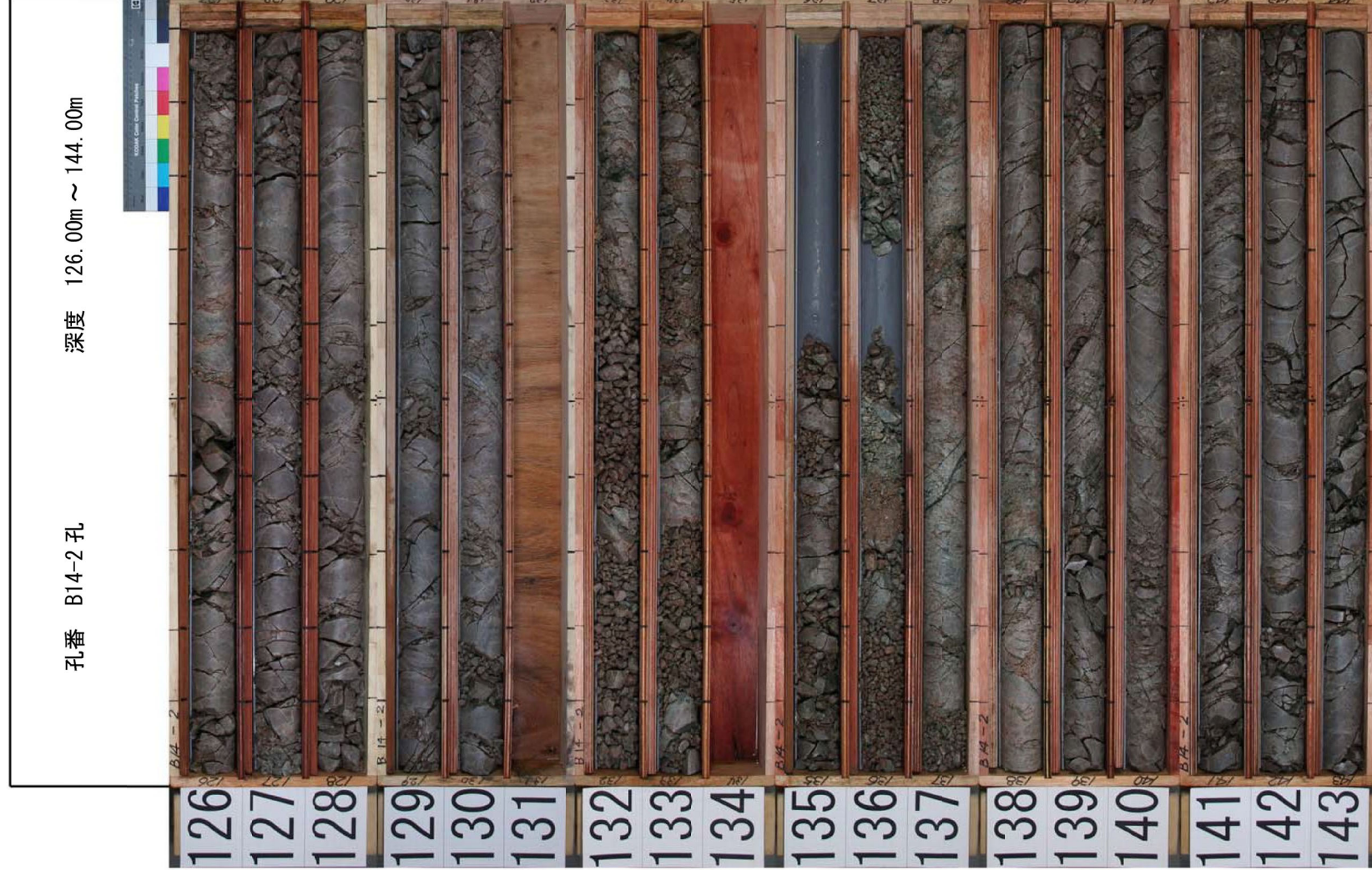
第7.4.4.231図 (35) ボーリング調査結果 (2号炉原子炉建屋とD-1トレンチの間) コア柱状図 (H24-B14-2孔)



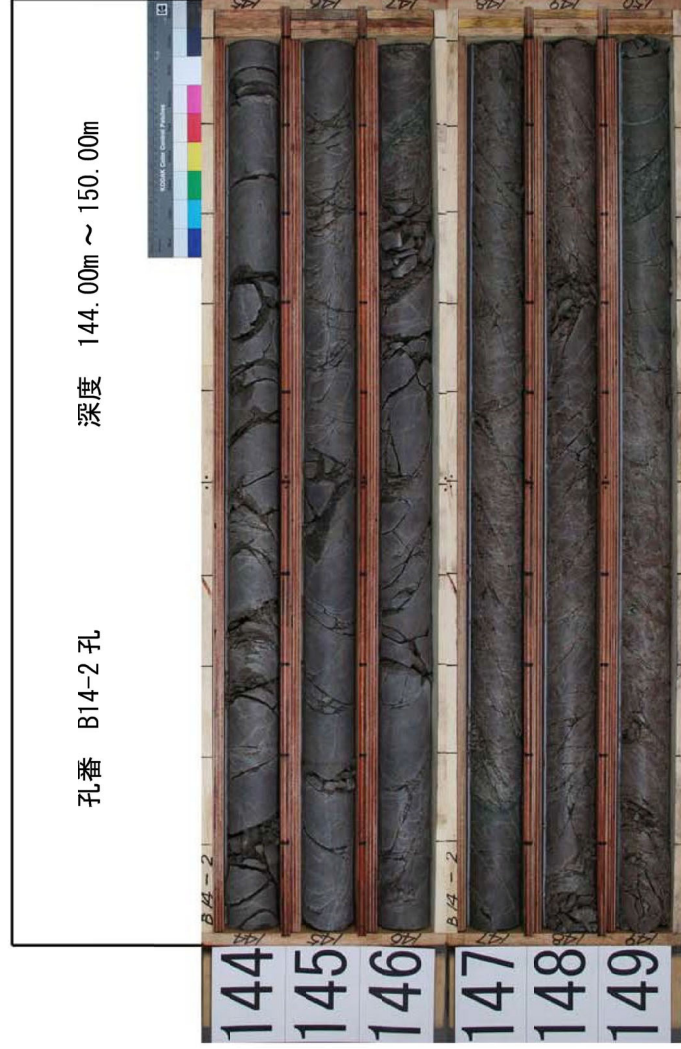
第7.4.4.231図 (36) ボーリング調査結果 (2号炉原子炉建屋とD-1トレンチの間) コア柱状図 (H24-B14-2孔)



第7.4.4.231図 (37) ボーリング調査結果 (2号炉原子炉建屋とD-Iトレンチの間) コア柱状図 (H24-B14-2孔)



第7.4.4.231図 (38) ボーリング調査結果 (2号炉原子炉建屋とD-Iトレンチの間) コア柱状図 (H24-B14-2孔)



第7.4.4.231図 (39) ボーリング調査結果 (2号炉原子炉建屋とD-Iトレンチの間) コア柱状図 (H24-B14-2孔)

| 標尺 (m) | 標高 (m) | 深度 (m) | 柱状図 | 岩種区分 | 色調 | 硬軟 | コア形状 | 風割れ目 | 変質 | 記 | コア採取率 (%) | | 岩級区分 | 孔内水位 (m) / 測定日 | 試験 (標準貫入) | | 空内試験 | 掘進月日 | 掘進速度 (cm/時) | 掘進距離 (m) | コアチップ / ビット | 給圧 (MPa) | 回転数 (rpm) | 送水圧 (MPa) | 送水量 (L/分) | 排水量 (L/分) | | |
|--------|--------|--------|-----|------|-----|----|------|-------|------|---|------------|-----------|------|----------------|-----------|---------|------|------|-------------|----------|-------------|----------|-----------|-----------|-----------|-----------|-----|-----|
| | | | | | | | | | | | 最大コア長 (cm) | R Q D (%) | | | (N) | (N値~深度) | | | | | | | | | | | (m) | (m) |
| 6 | 16.40 | 5.45 | | コア岩 | 灰色 | 硬 | コア岩 | 割れ目なし | 変質なし | 4.37~5.45m: スライム 灰褐色粘土からなる泥材と粗粒砂か らなる。径10mm以下の黒色砂質の塊 を含む。ルーズである。 | 55 | 0 | コア岩 | | 0 | 0 | | | | | | | | | | | | |
| | 15.71 | 6.33 | | 砂岩 | 明褐色 | 硬 | 砂岩 | 割れ目なし | 変質なし | 6.33~6.59m: 砂岩 径2~80mmの花崗岩の重口~重角塊 の塊状と中~理粒のやや塊った 凝灰岩からなる。厚さ30%前後を占 め、粗粒が分散して見られる。砂片を 含む。 | 100 | 0 | 砂岩 | | 0 | 0 | | | | | | | | | | | | |
| | 15.50 | 6.72 | | 砂岩 | 明褐色 | 硬 | 砂岩 | 割れ目なし | 変質なし | 6.59~6.72m: シルト質しり混砂 を含む。粗粒が分散して見られる。砂片を 含む。また、灰褐色の塊状砂質の 片も含まれる。粗粒を重する。や や塊状している。粘土 質の塊状砂質の花崗岩の重口で 埋められている。 | 0 | 0 | 砂岩 | | 0 | 0 | | | | | | | | | | | | |
| | 15.46 | 6.78 | | 砂岩 | 明褐色 | 硬 | 砂岩 | 割れ目なし | 変質なし | 6.72~6.78m: シルト質しり混砂 を含む。粗粒が分散して見られる。砂片を 含む。また、灰褐色の塊状砂質の 片も含まれる。粗粒を重する。や や塊状している。粘土 質の塊状砂質の花崗岩の重口で 埋められている。 | 0 | 0 | 砂岩 | | 0 | 0 | | | | | | | | | | | | |
| | 15.30 | 7.00 | | 砂岩 | 明褐色 | 硬 | 砂岩 | 割れ目なし | 変質なし | 6.78~7.00m: 凝灰しり混砂 を含む。粗粒が分散して見られる。砂片を 含む。また、灰褐色の塊状砂質の 片も含まれる。粗粒を重する。や や塊状している。粘土 質の塊状砂質の花崗岩の重口で 埋められている。 | 0 | 0 | 砂岩 | | 0 | 0 | | | | | | | | | | | | |
| | 13.55 | 9.48 | | 砂岩 | 明褐色 | 硬 | 砂岩 | 割れ目なし | 変質なし | 9.48~10.75m: 砂岩 径2~5mmの石英粒、径5~70mmの花崗 岩の重口~重角塊とルーズな中~ 粗粒の凝灰岩からなる。凝灰は30% 前後を占める。凝灰は 全体にやや不均一に分布する。 | 0 | 0 | 砂岩 | | 0 | 0 | | | | | | | | | | | | |
| 7 | | | | | | | | | | | | | | | | | | | | | | | | | | | | |
| | | | | | | | | | | | | | | | | | | | | | | | | | | | | |
| 8 | | | | | | | | | | | | | | | | | | | | | | | | | | | | |
| | | | | | | | | | | | | | | | | | | | | | | | | | | | | |
| 9 | | | | | | | | | | | | | | | | | | | | | | | | | | | | |
| | | | | | | | | | | | | | | | | | | | | | | | | | | | | |

第7.4.4.232図 (2) ボーリング調査結果 (2号炉原子炉建屋とD-1トレンチの間) コア柱状図 (H24-D1-1孔)

| 標尺 (m) | 標高 (m) | 深度 (m) | 柱状図 | 柱状区分 | 岩種区分 | 色調 | 硬軟 | コアの形状 | 風割れ目の状態 | 変質 | 記 | コア採取率 (%) | | 岩級区分 | 孔内水位 (m) | 試験位置 | 室内試験 | 掘進月日 | 掘進速度 (cm/時) | 掘径 (mm) | コアチップ / ヒット | 給圧 (kN・MPa) | 回転数 (rpm) | 送水圧 (MPa) | 送水量 (L/分) | 排水量 (L/分) | | | |
|--------|--------|--------|-----|------|------|------|----|-------|---------|------|---|------------|---------|------|----------|------|------|------|-------------|---------|-------------|-------------|-----------|-----------|-----------|-----------|---|---|---|
| | | | | | | | | | | | | 最大コア長 (cm) | RQD [%] | | | | | | | | | | | | | | | | |
| 11 | 13.00 | 10.25 | | 砂岩 | にぶら層 | にぶら層 | 硬 | 直線 | 割れ目なし | 変質なし | 10.25~11.00m: 中砂の粘土分を含む。10.40m付近に粘土質の炭化物質を含み有機質である。黒緑灰色を呈する。10.38m以下は径2~3mmの石英粒、径1.5~2mm以下の花崗斑岩の碎ケリ~クワリ層を含まない。よく締まっている。10.53~10.55mに炭化薄片を含む。 | 0 | 100 | N | 0 | 0 | 0 | 0 | 0 | 0 | 0 | 0 | 0 | 0 | 0 | 0 | 0 | 0 | |
| | | 10.25 | | | | | | | | | | 10.25 | | | | | | | | | | | | | | | | | |
| 12 | 11.66 | 11.00 | | 砂岩 | にぶら層 | にぶら層 | 硬 | 直線 | 割れ目なし | 変質なし | 11.00~12.15m: 砂岩。径2~5mmの石英粒、径10~160μmの花崗斑岩の里付~亜角層を多く含む。よく締まっている。粗砂の濃黄からなる。11.00~11.65mと11.70~11.72mの基質の一部はマンガン結晶により黒褐色化する。 | 0 | 100 | N | 0 | 0 | 0 | 0 | 0 | 0 | 0 | 0 | 0 | 0 | 0 | 0 | 0 | 0 | |
| | | 11.00 | | | | | | | | | | 11.00 | | | | | | | | | | | | | | | | | |
| 13 | 11.66 | 12.15 | | 砂岩 | にぶら層 | にぶら層 | 硬 | 直線 | 割れ目なし | 変質なし | 12.15~12.15m: 花崗斑岩。斑晶は径1~3mmの石英、黒石からなる。12.15~18.10m: 黒化によって硬さは10以上は増加し、軟化して径100μm以下の石英粒を多く含む。100μm以下の石英粒 (結核区分) と硬質 (面状) をくり出す。ただし、浸食 [E] が主体である。浸食状土化跡や粘土層の分布は少ない。割れ目角は黒化で砂状化することが多い。割れ目角の細部は、マンガン結晶により黒褐色に全体に炭化組織と割れ目が発達する。焼結10~30°の割れ目が主体で、一部でこれらに焼結60~80°の割れ目が発達する。 | 0 | 100 | N | 0 | 0 | 0 | 0 | 0 | 0 | 0 | 0 | 0 | 0 | 0 | 0 | 0 | 0 | 0 |
| | | 12.15 | | | | | | | | | | 12.15 | | | | | | | | | | | | | | | | | |
| 14 | 11.66 | 11.66 | | 砂岩 | にぶら層 | にぶら層 | 硬 | 直線 | 割れ目なし | 変質なし | 14.78~15.10m: 珪質のため硬質部として観察する。 | 0 | 100 | N | 0 | 0 | 0 | 0 | 0 | 0 | 0 | 0 | 0 | 0 | 0 | 0 | 0 | | |
| | | 11.66 | | | | | | | | | | 11.66 | | | | | | | | | | | | | | | | | |

第7.4.4.232図 (3) ボーリング調査結果 (2号炉原子炉建屋とD-1トレンチの間) コア柱状図 (H24-D1-1孔)

| 標尺 (m) | 標高 (m) | 深度 (m) | 柱状図 | 岩種区分 | 色調 | 硬軟 | | コア割れ目形状 | 風変 | 記 | コア採取率 → (%) 最大コア長 R G D L [%] | 岩級区分 | 孔内水位 (m) / 測定月日 | 標準貫入 () 試験 | | | | | 室内試験 | 掘進月日 | 掘進速度 (cm / 時) | 孔径 (mm) / 孔壁保護 | コアチップ / ビット | 給圧 (MPa) | 回転数 (rpm) | 送水圧 (MPa) | 送水量 (L / 分) | 排水量 (L / 分) | | | | | | | | | | | |
|--------|--------|--------|-----|--|----|----|----|---------|----|---|---|---|----------------------|-------------|----|----|----|----|------|------|--------------------|------------------|-------------|---------------|----------------|----------------|------------------|------------------|----|----|--|--|--|--|--|--|--|--|--|
| | | | | | | Eg | VE | | | | | | | VE | VE | VE | VE | VE | | | | | | | | | | | VE | VE | | | | | | | | | |
| | | | | <p style="text-align: center;">柱状図</p> <p style="text-align: center;">色調</p> <p style="text-align: center;">硬軟</p> <p style="text-align: center;">コア割れ目形状</p> <p style="text-align: center;">風変</p> <p style="text-align: center;">記</p> | Eg | VE | Eg | | | 15.54m: 傾斜85°, で層0.5mmの軟質な白色粘土を挟む。 15.60~15.74m: 傾斜60~90°で滑曲して遷移する割れ目に層0.5mmの軟質白色粘土を挟む。 15.75m: 傾斜60°の大型な長石斑晶が1つ分布する。 | | | | | | | | | | | | | | | | | | | | | | | | | | | | | |
| -16 | | | | | | | Eg | VE | Dg | | | 16.07m: 傾斜90°の割れ目は石灰斑晶を隔断する。割れ目には硬質部が認められず。割れ目周辺の岩体には舌岩相部が認められ、米粒的な割れ目も存在しない。 | | | | | | | | | | | | | | | | | | | | | | | | | | | |
| -17 | | | | | | | Eg | VE | Dg | | | 16.71m: 傾斜24°で層0.5~1mmの石英脈を挟む。 | | | | | | | | | | | | | | | | | | | | | | | | | | | |
| -18 | | | | | | | Eg | VE | Dg | | | 17.69~17.80m: 強く風化・酸化し軟質で、やや黄色味を帯びる。傾斜40°程度の割れ目沿いにマンガン浮床が認められる。 | | | | | | | | | | | | | | | | | | | | | | | | | | | |
| -19 | | | | | | | Eg | VE | Dg | | | 18.10~19.00m: 風化により、大半の割れ目が消滅しかつている。 18.16m: 傾斜40°の消滅しかつている割れ目沿いの一部で層5~10mmが淡緑色化するが、粘土化は伴わない。 18.31m: 傾斜20°で層2~10mmがマンガン風化を伴う層帯化する。 | | | | | | | | | | | | | | | | | | | | | | | | | | | |
| | | | | | | | Eg | VE | Dg | | | 19.00~19.80m: 傾斜10~25°の割れ目が残置するが、風化により、一部が消えかかっている。 | | | | | | | | | | | | | | | | | | | | | | | | | | | |
| | | | | | | | Eg | VE | Dg | | | 19.60~19.83m: 傾斜10~20°の割れ目が残置する。 | | | | | | | | | | | | | | | | | | | | | | | | | | | |
| | | | | | | | Eg | VE | Dg | | | 19.88~20.25m: 割れ目や原岩組織は大半が消滅する。 | | | | | | | | | | | | | | | | | | | | | | | | | | | |

第7.4.4.232図 (4) ボーリング調査結果 (2号炉原子炉建屋とD-1トレンチの間) コア柱状図 (H24-D1-1孔)

| 標尺 (m) | 深度 (m) | 柱状図 | 岩種区分 | 色調 | 硬度 | | コア形状 | 風割れ目 | 変質 | 記 | コア採取率 | | 岩級区分 | 孔内水位 (測定月日) | (N 値) | | 室内試験 | 掘進速度 (cm/時) | 掘進月日 | 孔径 (mm) / 孔壁保護 | コアチップ / ビット | 給圧 (kN / MPa) | 回転数 (rpm) | 送水水量 (L / 分) | 排水水量 (L / 分) | | | | | | |
|--------|--------|-----|------|-------|----|----|------|------|----|--|------------|---------|------|-------------|----------------|---------------|------|--|------|----------------|-------------|---------------|-----------|--------------|--------------|---|---|---|---|---|---|
| | | | | | Es | Dg | | | | | 最大コア長 (cm) | RQD (%) | | | (N 値 ~ 深度) 図 | 原位置試験 (孔内圧載電) | | | | | | | | | | | | | | | |
| 21 | | | 花崗岩 | にくい軟層 | Es | Dg | VE | Dg | VE | <p>20.0m付近、傾斜5°で幅5~20mmが連続化する。 20.16~20.19m：上層5°で一層不明瞭。下層15°でほぼ連続的にシャープに増強。幅30~35mmで径5mmの粘土岩片を多く含む。灰白~に白い黄褐色を呈する。この上段及び下段で5mmの岩片が主体の粗粒化しているものが多く、著しく軟質化している。 20.19~20.25m：傾斜0~5°の割れ目が幅6cmで露出し、砂状化するほど風化する。灰褐色を呈する。 20.25~21.04m：原岩組織や割れ目は角張った状態のものが多いが、20.25m付近に軟質化しているものも少なく軟質化し、70.54~20.71mはやや軟質である。傾斜20°前後の割れ目が主体で、幅1~2mmの軟質な灰白色、褐色の粘土脈を挟むことが多い。 20.65~21.94m：傾斜19~30°の風化で消滅しかかった割れ目はいに幅5~20mmの褐色を呈し、一部で砂状化する。 21.04~24.53m：局所的に割れ目8m以上に軟質化が著しくなる部分を含む。割れ目と原岩組織は明確に区別する。傾斜10~35°の割れ目が主体で、これらに80~80°の割れ目が斜交~重なる。割れ目の粗さ約40.0mmのものを多く含む。幅1~2mmの粘土脈を挟むことが多く、幅広い粘土化帯は分布しない。</p> | 3 | 0 | 100 | 0 | 3 | 0 | 0 | 0 | 0 | 0 | 0 | 0 | 0 | 0 | 0 | 0 | 0 | 0 | 0 | | |
| 22 | | | | | | | | | | | | | | | | | | <p>22.7m：傾斜16°で幅2~5mmの軟質褐色の粘土脈を挟む。重は開口がある。 22.13m：傾斜58°の割れ目で、交差する鋭角状割れ目は止まっている場合と露出する場合がある。また、一部に軟質な幅約5mmの褐色粘土脈を挟む。割れ目周辺の原岩組織が露出している。系統が異なる割れ目も存在しない。 23.40m：傾斜5~80°で若干湾曲する割れ目と23.41mで交差する傾斜25°の割れ目は開口し、開口部の下層側では2mm程度方向に対してしているように見えるが、上層側では僅断する。傾斜10~35°の割れ目は、粘土化帯を挟む。粘土化帯は不均質で、割れ目周辺の組織には原岩組織が認められる。 23.58m：傾斜50°で幅1mmの石英脈を挟む。露出している。 23.91m：傾斜30°の割れ目の下層側には軟質化している。重は開口部を挟む。粘土化帯は幅約5~8mm以下の軟質な組織が露出する。 24.53~30.53m：全体にやや軟質で、風化で著しく軟質化する部分も含む。原岩組織や割れ目は残存するものが大半で、傾斜10~50°の割れ目が主体となる。一部で幅約10mmの割れ目が存在する。多くは、粘土化帯を挟む。粘土化帯は不均質で、粘土化帯の分布は少ない。一部でマンガン結晶を伴った黒褐色化する。</p> | 12 | 0 | 100 | 0 | 12 | 0 | 0 | 0 | 0 | 0 | 0 | 0 | 0 |
| 23 | | | | 明礬灰 | Dg | | | | | <p>23.91m：傾斜30°の割れ目の下層側には軟質化している。重は開口部を挟む。粘土化帯は幅約5~8mm以下の軟質な組織が露出する。 24.53~30.53m：全体にやや軟質で、風化で著しく軟質化する部分も含む。原岩組織や割れ目は残存するものが大半で、傾斜10~50°の割れ目が主体となる。一部で幅約10mmの割れ目が存在する。多くは、粘土化帯を挟む。粘土化帯は不均質で、粘土化帯の分布は少ない。一部でマンガン結晶を伴った黒褐色化する。</p> | 11 | 0 | 100 | 0 | 11 | 0 | 0 | 0 | 0 | 0 | 0 | 0 | 0 | 0 | 0 | 0 | 0 | 0 | 0 | 0 | 0 |
| 24 | | | | | | | | | | <p>24.53~30.53m：全体にやや軟質で、風化で著しく軟質化する部分も含む。原岩組織や割れ目は残存するものが大半で、傾斜10~50°の割れ目が主体となる。一部で幅約10mmの割れ目が存在する。多くは、粘土化帯を挟む。粘土化帯は不均質で、粘土化帯の分布は少ない。一部でマンガン結晶を伴った黒褐色化する。</p> | 6 | 0 | 100 | 0 | 6 | 0 | 0 | 0 | 0 | 0 | 0 | 0 | 0 | 0 | 0 | 0 | 0 | 0 | 0 | 0 | 0 |

第7.4.4.232図 (5) ボーリング調査結果 (2号炉原子炉建屋とD-1トレンチの間) コア柱状図 (H24-D1-1孔)

| 標尺 (m) | 深度 (m) | 柱状図 | 岩種区分 | 色調 | 硬軟 | 割れ目の形状 | 風変 | 記 事 | コア採取率 (%) | 岩級区分 | 孔内水位 (m) 測定月日 | () 値 | () 試験 | 原位置試験 (元内名称) | 室内試験 | 掘進進捗 (cm/時) | 掘進月日 | 掘進速度 (cm/時) | 孔径 (mm) / 孔壁保護 | コアチップ / ビット | 給圧 (kN・MPa) | 回転数 (rpm) | 送水水量 (L/分) | 排水水量 (L/分) | 送水圧 (MPa) | | | | | | |
|--------|--------|-----|-------|-----|----|-----------|----|--|-----------|------|---------------|-------|--------|--------------|------|-------------|------|-------------|----------------|-------------|-------------|-----------|------------|------------|-----------|--|--|--|--|--|--|
| 26 | 26 | | 花崗閃長岩 | 暗褐色 | Dg | | | 25.05m: 傾斜35°の割れ目沿いに幅10~20mmの砂状化で一部粘土も含む。 25.12m: 傾斜40°の割れ目で交差する線状な割れ目は止まっている。崩れ目(傾斜40°)は崩れ目沿いに幅1.5~2mmの軟弱な崩れ目粘土を伴う。割れ目周囲の岩質には原岩組織が認められ、系状的な崩れ目も存在しない。 25.33m: 傾斜35°で幅5~15mmの砂状化する。白色粘土が埋まり、一部マカン風茶を帯び黒色化する。 | 5 | Q1 | | | | | | | | | | | | | | | | | | | | | |
| 27 | 27 | | 花崗閃長岩 | 暗褐色 | Eg | Vg Eg δ 3 | | 26.50m・27°と27.04m・35°の割れ目で囲まれた部分は、全体に軟質化し崩れ目沿いに幅1cmの軟弱な崩れ目粘土を伴う。原岩組織は残存する。 27.21m: 傾斜34°の割れ目で交差する崩れ目は止まっている場合と連続する可能性がある。割れ目沿いに幅1~3mmの砂状化する。割れ目周囲の岩質には原岩組織が認められ、系状的な崩れ目も存在しない。 27.48m: 傾斜20°程度で幅2~5mmの崩れ目を伴う。 27.53m: 傾斜27.54°、傾斜40°の割れ目沿いに風化が進み、美しく軟質化し、一部砂状化する。 27.81m: 傾斜32°の割れ目と交差する高角部割れ目が横断する。割れ目には幅1~2mmの砂状化する。割れ目には原岩組織が認められ、割れ目周囲の岩質には原岩組織が認められ、系状的な崩れ目も存在しない。 27.81m~27.89m: 傾斜15°~20mの軟弱な白色粘土が長5~10cmで分布する。 28.14m・34°と28.23m・20°の割れ目で囲まれた部分は風化で著しく軟質化し砂状化~離片化する。一部でマンカン風茶を伴う。28.14mに幅1~3mmの赤褐色粘土を挟む。 28.59m: 傾斜31°の割れ目と交差する崩れ目は止まっている場合と連続する可能性がある。下部側に幅1~2cmの石灰脈を伴う。割れ目には原岩組織が認められ、割れ目周囲の岩質には原岩組織が認められる。 28.71m: 傾斜34°の割れ目と交差する石灰脈や割れ目が止まっている場合と連続する可能性がある。割れ目周囲の岩質には原岩組織が認められる。 29.38~29.83m: 傾斜10~30°の割れ目沿いに風化で軟質化が著しくなり、割れ目周囲では砂状化する。 | 7 | Q1 | | | | | | | | | | | | | | | | | | | | | |
| 28 | 28 | | 花崗閃長岩 | 暗褐色 | Dg | | | 27.50m: 傾斜35°の割れ目沿いに幅10~20mmの砂状化で一部粘土も含む。 27.67m: 傾斜40°の割れ目で交差する線状な割れ目は止まっている。崩れ目(傾斜40°)は崩れ目沿いに幅1.5~2mmの軟弱な崩れ目粘土を伴う。割れ目周囲の岩質には原岩組織が認められ、系状的な崩れ目も存在しない。 27.85m: 傾斜35°で幅5~15mmの砂状化する。白色粘土が埋まり、一部マカン風茶を帯び黒色化する。 | 2 | Q1 | | | | | | | | | | | | | | | | | | | | | |
| 29 | 29 | | 花崗閃長岩 | 暗褐色 | Eg | | | 28.59m: 傾斜31°の割れ目と交差する崩れ目は止まっている場合と連続する可能性がある。下部側に幅1~2cmの石灰脈を伴う。割れ目には原岩組織が認められ、割れ目周囲の岩質には原岩組織が認められる。 28.71m: 傾斜34°の割れ目と交差する石灰脈や割れ目が止まっている場合と連続する可能性がある。割れ目周囲の岩質には原岩組織が認められる。 29.38~29.83m: 傾斜10~30°の割れ目沿いに風化で軟質化が著しくなり、割れ目周囲では砂状化する。 | 4 | Q1 | | | | | | | | | | | | | | | | | | | | | |

第7.4.4.232図 (6) ボーリング調査結果 (2号炉原子炉建屋とD-I トレンチの間) コア柱状図 (H24-D1-1孔)

| 標尺 (m) | 深度 (m) | 柱状図 | 岩種区分 | 色調 | 硬度 | コア形状 | 風変 | 記 | コア採取率 (%) | 岩級区分 | 孔内水位 (m) | 試験 | 室内試験 | 掘進進捗 (m/時) | 掘進速度 (cm/時) | 孔径 (mm) / 孔壁保護 | チップ | 回転数 (rpm) | 送水圧 (MPa) | 送水量 (L/分) | 排水量 (L/分) | | | | | |
|--------|--------|-----|------|------|----|------------|----|---|-----------|------|----------|----|------|------------|-------------|----------------|-----|-----------|-----------|-----------|-----------|--|--|--|--|--|
| 31 | | | | | | Vs | | <p>30.12m: 傾斜35°の割れ目沿いに幅20~30mmの砂状~層片化する。30.17~30.34m: 傾斜70~90°で急曲した割れ目が発生し、割れ目を埋めてその上には長さ10」とやや硬質である。</p> <p>30.53~31.54m: 傾斜30~60°の割れ目と極密層割れ目が主体で、一部は風化で消滅しかかり、不明瞭な部分もある。粘土層や粘土化部は分布しないが、長石が粘土化して白濁化する。</p> <p>31.13m: 傾斜44°の割れ目の上層側は幅10~20mmの径5~10mmの花崗岩の岩片と硬質な砂状部からなる角礫状。下層側は硬質岩片からなり、岩片には傾斜44°の割れ目に列してほぼ5cm程度の厚さの極密層が分布する。角礫部は不明瞭で、割れ目周辺の岩盤には硬質層が認められる。</p> <p>31.54~31.94m: 傾斜40~50°の割れ目が主体で、これらは連続的でシヤブに連続するものが多い。粘土の分布はないが、割れ目沿いに長く砂状化する。</p> | 0 | | | | | | | | | | | | | | | | | |
| 32 | | | 花崗岩 | 明褐色 | | Vs, Cs, Dg | | <p>32.14m: 傾斜42°で幅0.5~1mmの石英新成母岩によく密着して連続する。</p> <p>32.24m: 傾斜55°で幅8~20mmの開口割れ目で、砂と径2~3mmの花崗岩の岩片が充填する。</p> <p>33.13m: 傾斜10~20°の割れ目が主体で、傾斜30mmで砂状~細片化部を互層状に挟む。</p> | 0 | | | | | | | | | | | | | | | | | |
| 33 | | | | | | Vs, Cs, Dg | | <p>33.83~33.92m: 径5~10mmの花崗岩の岩片と粘土化した基質からなる。</p> <p>34.03~34.65m: 傾斜10~20°の割れ目が主体で、34.65mの傾斜40°の割れ目と交差する高角割れ目には止まっているものもあり、系統的なスレは認められない。一部では、割れ目沿いに風化で砂状化する。</p> <p>34.47~34.65m: 白色化するが、粘土化はない。</p> | 0 | | | | | | | | | | | | | | | | | |
| 34 | | | | にふい層 | | Vs, Cs, Dg | | <p>34.82~34.95m: 傾斜20~20°の割れ目がほぼ平行に数条分布する。色調境界になっている場合が多い。割れ目にマンガンが付着するが、腐蝕部には付かない。34.92mの割れ目には幅10mm程度でマンガン産層部を挟むが、マンガン産層部内の岩手に定向配列はみられない。</p> | 0 | | | | | | | | | | | | | | | | | |

第7.4.4.232図 (7) ボーリング調査結果 (2号炉原子炉建屋とD-1トレンチの間) コア柱状図 (H24-D1-1孔)

| 標尺 | 深度 (m) | 柱状図 | 岩種区分 | 色調 | 硬度 | コア形状 | 割れ目の状態 | 風変質 | 記 事 | コア採取率 (%) 最大コア長 cm R G D L [%] | 岩級区分 | 孔内水位 (m) 測定月日 | () 試験 () 値 (N) (N/層~深度) () 図 () 試験 () 内 容 (内 容) | 室内試験 | 掘進月日 | 掘進速度 (cm/時) | 掘進距離 (m) | 孔徑 / 孔壁保護 | チップ / ビット | 給圧 (MPa) | 回転数 (rpm) | 送水圧 (MPa) | 送水量 (L/分) | 排水量 (L/分) | |
|----|--------|------|------|----------|----|------|--------|-----|---|---|------|---------------------|---|------|------|----------------|-------------|-----------|-----------|-------------|--------------|--------------|--------------|--------------|--|
| | | | | | | | | | | | | | | | | | | | | | | | | | |
| 36 | | 花崗岩系 | 明礬灰 | Dg Cg | Dg | Dg | δ 3 | | 35.26~35.90m: 割れ目沿いに黒く砂状化する。 | 5 (0) | | | | | | | | | | | | | | | |
| | | | | | | | | | | | | | | | | | | | | | | | | | |
| | | 花崗岩系 | 明礬灰 | Dg | Dg | Dg | δ 3 | | 35.96~38.81m: 傾斜10~40°と、この割れ目から傾斜15°の割れ目がある。割れ目の一部は砂状を示す。粘土化や粘土質の分布はわずからであるが、粘土は粘土化し白濁~軟質化する。一部は風化により著しく軟質化する部分もある。 | 4 (0) | | | | | | | | | | | | | | | |
| 37 | | | | | | | | | | | | | | | | | | | | | | | | | |
| | | 花崗岩系 | 明礬灰 | Dg | Dg | Dg | δ 3 | | 37.10~37.41m: 黄変し、黄色味を帯びる。 | 10 (10) | | | | | | | | | | | | | | | |
| 38 | | | | | | | | | | | | | | | | | | | | | | | | | |
| | | 花崗岩系 | 明礬灰 | Dg | Dg | Dg | δ 3 | | 38.00m~45°と38.14m~60°の割れ目で囲まれ、粘土が径10mm前後の岩片状を呈する。コアチップ引き上げ時に薄片化したものである。 | 4 (0) | | | | | | | | | | | | | | | |
| | | | | | | | | | | | | | | | | | | | | | | | | | |
| 39 | | 花崗岩系 | 明礬灰 | Dg | Dg | Dg | δ 3 | | 38.52m: 傾斜42°の割れ目は、交差する割れ目を止めている。幅1~8mmの軟質な明礬灰土層を挟み、含まれる割れ目は認められず、認められる割れ目は認められず、認められ、系統的な割れ目も存在しない。 | 4 (0) | | | | | | | | | | | | | | | |
| | | | | | | | | | | | | | | | | | | | | | | | | | |
| | | 花崗岩系 | 明礬灰 | Dg | Dg | Dg | δ 3 | | 39.04~39.12m: やや硬質な岩片を含有し、傾斜15°で幅1~2mmの軟質な白灰色粘土層を挟む。 | 4 (0) | | | | | | | | | | | | | | | |
| | | | | | | | | | | | | | | | | | | | | | | | | | |
| | | 花崗岩系 | 明礬灰 | Dg | Dg | Dg | δ 3 | | 39.24~40.17m: 割れ目の一部は風化で砂状化する。傾斜20~40°の割れ目と、これに斜交~直交する60~80°の割れ目が主体である。部分別に幅1~2mmの明礬色の粘土層を挟む。 | 4 (0) | | | | | | | | | | | | | | | |
| | | | | | | | | | | | | | | | | | | | | | | | | | |
| | | 花崗岩系 | 明礬灰 | Dg | Dg | Dg | δ 3 | | 39.67m: 傾斜44°の割れ目は、交差する割れ目を3箇所止めている。割れ目には粘土層が認められず、認められている各割れ目が傾斜44°の割れ目を挟んで系統的に並列している。 | 4 (0) | | | | | | | | | | | | | | | |
| | | | | | | | | | | | | | | | | | | | | | | | | | |

第7.4.4.232図 (8) ボーリング調査結果 (2号炉原子炉建屋とD-I1トレンチの間) コア柱状図 (H24-D1-1孔)

| 標尺 (m) | 深度 (m) | 柱状図 | 岩種区分 | 色調 | 硬軟 | | 割れ目の形状 | 風化質 | 変質 | 記 | コア採取率 (%) | | 岩級区分 | 孔内水位 (m) 測定月日 | () 試験 | | | | | 室内試験 | 掘進月日 | 掘進速度 (cm/時) | 孔径 (mm) / 孔壁保護 | コアチップ / ビット | 給圧 (MPa) | 回転数 (rpm) | 送水圧 (MPa) | 送水量 (L/分) | 排水量 (L/分) | | | | | |
|--------|--------|-------------|------------|----|----|----|--------|-----|----|---|-------------|-------------|------|---------------|-------------|---|---|---|---|------|------|-------------|----------------|-------------|----------|-----------|-----------|-----------|-----------|---|----|----|----|----|
| | | | | | Dg | Vz | | | | | (N) 値 | (N値~深度) 図 | | | (N値~深度) 図 | | | | | | | | | | | | | | | | | | | |
| 41 | | | <p>明礬灰</p> | Dg | Vz | Dg | Dg | Dg | Dg | <p>40.08m・40°、40.14m・35°の割れ目沿いに著しく軟化する。 40.17~40.69m: 上下に比べ、割れ目は少なくなる。 40.47m・25°、40.50m・35°に面まれた部分は著しく軟化し、砂状~径5mmに薄片化する。 40.69~41.18m: 傾斜30~40°の割れ目と、割れ目沿いに著しく軟化する。割れ目沿いに傾斜20~30°の割れ目と、割れ目沿いに著しく軟化する。褐色粘土を挟む。 41.18~41.45m: こく一部で割れ目は残存するが、大半は風化で消滅する。原岩相態は明確に顕著するが、コア全体が著しく軟化する。 41.45~42.23m: 傾斜30~40°の割れ目が主体で、割れ目沿いに砂状化し、一部では砂状部の傾が広がる。 41.88m: 傾斜42°の割れ目沿いに傾斜30程度で褐色化が顕著である。傾2mm程度の砂状部を挟む。 42.23~42.50m: 傾1~3mmの軟質な白色粘土部が層状に分布し、全所に軟化が著しい。傾42°で傾5~8mmの軟質な褐色粘土層を挟む。粘土の境界は不明瞭で、下層側に侵入する。粘土中の硝子の定向配列は認められない。割れ目周辺の充填には原岩相態が認められ、系統的な割れ目も存在しない。 42.48m: 傾斜37°で傾1~2mmの軟質な白い赤褐色の粘土層を不連続的に挟む。割れ目周辺の充填には原岩相態が認められ、系統的な割れ目も存在しない。 42.50~44.55m: 傾斜10~40°の割れ目や低角度割れ目が主体で、割れ目沿いに著しく軟化する。傾斜10~20mm程度の軟質な粘土層を挟む。 43.15m: 傾斜15°の割れ目と、低角度割れ目が止まっている。傾2mmの軟化砂状部を挟む。 43.20m: 傾斜35°の割れ目は他の割れ目と比べて、傾斜10~20mm程度の軟質な粘土層を挟む。 43.74~44.55m: 傾斜10~40°の割れ目と、これに斜交~垂直する60~90°の割れ目が分布し、傾10~20mmに達する。割れ目沿いに砂状化する。傾10°、44.08m・10°、ないし75°の割れ目で囲まれた部分は、砂状~径5~10mmの層状片状を呈する。粘土化はない。 44.41~44.45m: 柱状部で、硬質岩片として残存する。 44.55~45.91m: 傾斜20~40°と60~80°の割れ目が交差し、径5~10mmの軟質な粘土層を挟む。軟化が著しく軟化する。</p> | 0 | 0 | 0 | 0 | 0 | 0 | 0 | 0 | 0 | 0 | 0 | 0 | 0 | 0 | 0 | 0 | 0 | 0 | 0 | 0 | 0 | 0 | 0 | 0 |
| 42 | | | | | | | | | | | | | | | | | | | | | | | | | | | | | | | | | | |
| 43 | | <p>にぶら盤</p> | Dg | Vz | Dg | Dg | Dg | Dg | Dg | <p>43.74~44.55m: 傾斜10~40°の割れ目と、これに斜交~垂直する60~90°の割れ目が分布し、傾10~20mmに達する。割れ目沿いに砂状化する。傾10°、44.08m・10°、ないし75°の割れ目で囲まれた部分は、砂状~径5~10mmの層状片状を呈する。粘土化はない。 44.41~44.45m: 柱状部で、硬質岩片として残存する。 44.55~45.91m: 傾斜20~40°と60~80°の割れ目が交差し、径5~10mmの軟質な粘土層を挟む。軟化が著しく軟化する。</p> | 0 | 0 | 0 | 0 | 0 | 0 | 0 | 0 | 0 | 0 | 0 | 0 | 0 | 0 | 0 | 0 | 0 | 0 | 0 | | | | | |
| 44 | | | | | | | | | | | | | | | | | | | | | | | | | | | | | | | Dg | Vz | Dg | Dg |

第7.4.4.232図 (9) ボーリング調査結果 (2号炉原子炉建屋とD-1トレンチの間) コア柱状図 (H24-D1-1孔)

H24-D1-1 (10 / 21)

| 標尺 (m) | 標高 (m) | 柱状図 | 岩種区分 | 色調 | 硬度 | コア割れ目形状 | 風化 | 記 | コア採取率 (%) | 岩級区分 | 孔内水位 (m) 測定日 | 標準貫入 (N値~深度) | 試験 (N値) | 室内試験 (月日) | 掘進速度 (cm/時) | 孔徑 (mm) / 孔壁保護 | コアチップ / ビット | 給圧 (MPa) | 回転数 (rpm) | 送水水量 (L/分) | 排水水量 (L/分) | 排水量 (MPa) | | | | | | |
|--------|--------|-----|------|-----|--------|---------|------|---|-----------|------|--------------|--------------|---------|-----------|-------------|----------------|-------------|----------|-----------|------------|------------|-----------|-----------|---------|--|--|--|--|
| | | | | | | | | | | | | | | | | | | | | | | | コア長さ (cm) | RQD [%] | | | | |
| 46 | | | 花崗岩類 | にぶい | VE, VE | VE, VE | 3, 4 | <p>45.10~45.56m: 割れ目が明確に露出する。</p> <p>45.27m: 傾斜48°の割れ目による著する割れ目は止まっている。幅5~4mmの不連続で軟質な白色粘土質を挟む。割れ目周辺の岩盤には厚層粗粒が認められ、系統的な割れ目も存在する。</p> <p>45.60m: 傾斜70°の連続した割れ目に傾斜30°の軟質な白~明褐色粘土質を挟む。明褐色粘土は不連続である。割れ目周辺の岩盤には厚層粗粒が認められ、系統的な割れ目も存在しない。</p> <p>45.79m: 傾斜20°、傾斜部</p> <p>45.91~45.96m: 粘土質砂岩 (他)</p> <p>45.97~46.04m: 粘土質砂岩 (他)</p> <p>46.11~46.15m: 下層35°でともに連続的にシヤープに連続。厚1~2mmの石英類と径5mmで粘土化した花崗岩の岩片を多く含む。軟質、明褐色を呈する。幅30mm。</p> <p>46.16~46.41m: 粘土質しり岩片状部</p> <p>46.41~46.45m: 下層15°でともに連続的にシヤープに連続。厚1~2mmの石英類と径5mmで粘土化した花崗岩の岩片を多く含む。軟質、明褐色を呈する。幅30mm。</p> <p>46.45~47.64m: 粘土質しり岩片状部</p> <p>47.64~47.65m: 下層20°でともに連続的にシヤープに連続。厚1~2mmの石英類と径5mmで粘土化した花崗岩の岩片を多く含む。軟質、明褐色を呈する。幅30mm。</p> <p>47.65~48.18m: 粘土質しり岩片状部 (他?)</p> <p>48.18~48.26m: 下層10°でともに連続的にシヤープに連続。厚1~2mmの石英類と径5mmで粘土化した花崗岩の岩片を多く含む。軟質、明褐色を呈する。幅30mm。</p> <p>48.26~48.28m: 下層34°でともに連続的にシヤープに連続。厚1~2mmの石英類と径5mmで粘土化した花崗岩の岩片を多く含む。軟質、明褐色を呈する。幅30mm。</p> <p>48.28~48.61m: 下層68°でともに連続的にシヤープに連続。厚1~2mmの石英類と径5mmで粘土化した花崗岩の岩片を多く含む。軟質、明褐色を呈する。幅30mm。</p> <p>48.61~49.09m: 下層41°で連続的にシヤープに連続。厚1~2mmの石英類と径5mmで粘土化した花崗岩の岩片を多く含む。軟質、明褐色を呈する。幅30mm。</p> <p>49.09~49.20m: 下層30°でともに連続的にシヤープに連続。厚1~2mmの石英類と径5mmで粘土化した花崗岩の岩片を多く含む。軟質、明褐色を呈する。幅30mm。</p> | 100 | | | | | | | | | | | | | | | | | | | |
| 47 | | | 花崗岩類 | 明褐色 | VE, VE | VE, VE | 3 | <p>46.16~46.41m: 粘土質しり岩片状部</p> <p>46.41~46.45m: 下層15°でともに連続的にシヤープに連続。厚1~2mmの石英類と径5mmで粘土化した花崗岩の岩片を多く含む。軟質、明褐色を呈する。幅30mm。</p> <p>46.45~47.64m: 粘土質しり岩片状部</p> <p>47.64~47.65m: 下層20°でともに連続的にシヤープに連続。厚1~2mmの石英類と径5mmで粘土化した花崗岩の岩片を多く含む。軟質、明褐色を呈する。幅30mm。</p> <p>47.65~48.18m: 粘土質しり岩片状部 (他?)</p> <p>48.18~48.26m: 下層10°でともに連続的にシヤープに連続。厚1~2mmの石英類と径5mmで粘土化した花崗岩の岩片を多く含む。軟質、明褐色を呈する。幅30mm。</p> <p>48.26~48.28m: 下層34°でともに連続的にシヤープに連続。厚1~2mmの石英類と径5mmで粘土化した花崗岩の岩片を多く含む。軟質、明褐色を呈する。幅30mm。</p> <p>48.28~48.61m: 下層68°でともに連続的にシヤープに連続。厚1~2mmの石英類と径5mmで粘土化した花崗岩の岩片を多く含む。軟質、明褐色を呈する。幅30mm。</p> <p>48.61~49.09m: 下層41°で連続的にシヤープに連続。厚1~2mmの石英類と径5mmで粘土化した花崗岩の岩片を多く含む。軟質、明褐色を呈する。幅30mm。</p> <p>49.09~49.20m: 下層30°でともに連続的にシヤープに連続。厚1~2mmの石英類と径5mmで粘土化した花崗岩の岩片を多く含む。軟質、明褐色を呈する。幅30mm。</p> | 100 | | | | | | | | | | | | | | | | | | | |
| 48 | | | 花崗岩類 | 明褐色 | VE, VE | VE, VE | 4 | <p>48.18~48.26m: 下層10°でともに連続的にシヤープに連続。厚1~2mmの石英類と径5mmで粘土化した花崗岩の岩片を多く含む。軟質、明褐色を呈する。幅30mm。</p> <p>48.26~48.28m: 下層34°でともに連続的にシヤープに連続。厚1~2mmの石英類と径5mmで粘土化した花崗岩の岩片を多く含む。軟質、明褐色を呈する。幅30mm。</p> <p>48.28~48.61m: 下層68°でともに連続的にシヤープに連続。厚1~2mmの石英類と径5mmで粘土化した花崗岩の岩片を多く含む。軟質、明褐色を呈する。幅30mm。</p> <p>48.61~49.09m: 下層41°で連続的にシヤープに連続。厚1~2mmの石英類と径5mmで粘土化した花崗岩の岩片を多く含む。軟質、明褐色を呈する。幅30mm。</p> <p>49.09~49.20m: 下層30°でともに連続的にシヤープに連続。厚1~2mmの石英類と径5mmで粘土化した花崗岩の岩片を多く含む。軟質、明褐色を呈する。幅30mm。</p> | 100 | | | | | | | | | | | | | | | | | | | |
| 49 | | | 花崗岩類 | 明褐色 | VE, VE | VE, VE | 3 | <p>48.61~49.09m: 下層41°で連続的にシヤープに連続。厚1~2mmの石英類と径5mmで粘土化した花崗岩の岩片を多く含む。軟質、明褐色を呈する。幅30mm。</p> <p>49.09~49.20m: 下層30°でともに連続的にシヤープに連続。厚1~2mmの石英類と径5mmで粘土化した花崗岩の岩片を多く含む。軟質、明褐色を呈する。幅30mm。</p> | 100 | | | | | | | | | | | | | | | | | | | |

第7.4.4.232図 (10) ボーリング調査結果 (2号炉原子炉建屋とD-1トレンチの間) コア柱状図 (H24-D1-1孔)

| 標尺 (m) | 高度 (m) | 深度 (m) | 柱状図 | 岩種区分 | 色調 | 硬度 | コアの 形状 | 風変 | 記 | コア採取率 (%) | | 岩級区分 | 孔内水位 (m) | 原位置試験 (孔内圧電) | 室内試験 | 観進月日 | 観進速度 (cm/時) | 孔径 (mm) | コーニング ノック | 給圧 (MPa) | 回転数 (rpm) | 送水量 ($\frac{L}{min}$) | 排水量 ($\frac{L}{min}$) | | | | | | | |
|-----------|-----------|-----------|------|------|---------|---------|-----------|---------|---|--------------|-----|------|-------------|-----------------|------|------|----------------|------------|--------------|-------------|--------------|----------------------------|----------------------------|---------------------|---------------------|--|--|--|--|--|
| | | | | | | | | | | R | D | | | | | | | | | | | | | ($\frac{L}{min}$) | ($\frac{L}{min}$) | | | | | |
| 56 | | | 花道設置 | | 軟弱な粘土質土 | 軟弱な粘土質土 | 軟弱な粘土質土 | 軟弱な粘土質土 | 55.57~55.80m: 傾斜60°と40°の割れ目が交差し、交差部周辺は約1~2mmの割れ目が入り、割れ目自身は微く、粘土化などの発化はない。 55.11~55.49m: 上下に比べ軟弱となり、割れ目は連続的かつ一部細い0.1mmの軟質な白色粘土層が分布する。 55.48~55.90m: 全体に連続のため硬質で、傾斜60~60°の割れ目や硬質層割れ目が10~20mm間隔で平片に分布する。粘土層などは分布しない。 56.90~57.12m: 割れ目の一部に幅0.5mmの軟質な白色粘土が付着する。割れ目沿いに砂状~細片化する。 57.13~58.80m: 著しく軟質化し、原位置試験は残留するが、割れ目周辺は白色粘土層が傾斜に分布することが多い。 | 0 | 100 | Q1 | | 3 | | | | | | | | | | | | | | | | |
| 58 | | | | | | | | | 58.00m: 傾斜70°で幅2~3mmの軟質な淡褐色帯を帯びる灰白色粘土層を挟む。 58.62m: 傾斜75°で幅2~10mmの軟質な粘土層(幅約10mm)の粘土化が主に全体にわたって連続する。 ●58.96~58.98, 99m: 硬砂層(硬砂層) 58.96~59.05m: 粘土湿りり岩片状部(団)。 上層50°で不明瞭。下層45°で連続的にシャープと交錯。幅1mmの軟質白色粘土層が、傾斜70°の割れ目に沿って連続して分布し、傾斜70°で幅3mm(45°)で幅80mm。 上層45°で連続的にシャープに、下の右角と左角前後の粘土化した土層と交錯。幅1mmの軟質白色粘土層を挟む。傾斜70°で幅80mm。 上層40°でやや波打ち、下層35°で一部白部があるが、連続的にシャープな波状。傾斜70°の割れ目に粘土層(灰蒸)が付着する。幅5~14mmで下層が白部を帯びたため連続する。 59.18~59.30m: 粘土質硬砂部(団)。上層35°で一部白部があり、下層30°でやや波打つながら連続。下層30°で幅5~10mmの粘土質硬砂部(団)を帯び、全体的には約5~5mmの粘土層を挟む。 59.30~59.52m: 傾斜70~80°とこれに粘土層を交互する20~30°の割れ目に粘土層が連続的に分布し、一部は白色粘土層が分布する。 59.53m: 幅0~3mmの長褐色のマンガンを挟む。傾斜70~80°の割れ目に粘土層を挟み、幅約1mmの軟質白色粘土層を挟み、傾斜70°で幅3~5mmの軟質白色粘土層が分布する。60.09mに傾斜70°で幅0.5~1mmの軟質白色粘土層が傾斜70°で幅3~5mmの軟質白色粘土層が分布する。 | 0 | 100 | | | | | | | | | | | | | | | | | | | |
| 59 | | | | | | | | | | 0 | 100 | | | | | | | | | | | | | | | | | | | |

第7. 4. 4. 232図 (12) ボーリング調査結果 (2号炉原子炉建屋とD-1トレンチの間) コア柱状図 (H24-D1-1)

| 標尺 (m) | 深度 (m) | 柱状図 | 岩種区分 | 色調 | 硬度 | コア形状 | 割れ目状態 | 風変 | 記 | コア採取率 (%) | 最大コア長さ cm | R Q D [%] | | | 孔内水位 (m) 測定月日 | (N 値) 値 | | | (N 値 ~ 深度) 試験 | 原位置試験 (孔内圧電圧) | 室内試験 | 掘進月日 | 掘進速度 (cm/時) | 掘進距離 (mm) | コ圧ユニットノビット | 給送圧 (kN/cm ²) | 回転数 (rpm) | 送水水量 (L/分) | 排水水量 (L/分) | | | | | | | | |
|--------|--------|-----|------|-----|-----------|------|-------|----|---|-----------|-----------|-------------|---|-----|---------------|-----------|----|----|-----------------|---------------|------|------|-------------|-----------|------------|---------------------------|-----------|------------|------------|----|----|----|--|--|--|--|--|
| | | | | | | | | | | | | 1 | 2 | 3 | | 0 | 10 | 20 | | | | | | | | | | | | 30 | 40 | 50 | | | | | |
| 61 | | | 花崗岩類 | 暗緑色 | Eg Vtz dg | | | | ●60.12~60.15m：磁鉄部 (G所部) 60.12~60.13m：粘土状部 (H-1) 上層40°で掘削して連続。上層に掘削 の連続部が認められる。色は暗緑 色の塊状で粘り強く、掘削時に 白色を呈する。層厚10cmと記録する。 ●60.13~60.15m：粘土部 (H-1) (中) 上層40°で掘削して連続。下層に掘削 の連続部が認められる。色は暗緑 色の塊状で粘り強く、掘削時に 白色を呈する。層厚10cmと記録する。 ●60.15~60.84m：美しく軟化した、割 れ目はほぼ消失するが、原岩組織は 依然として認められる。色は暗緑 色の塊状で粘り強く、掘削時に 白色を呈する。層厚10cmと記録する。 ●60.84~62.64m：層厚40~60°の割れ 目と、それに斜交する30~60° の割れ目が主体で、割れ目沿いは粘 り強く、崩れやすい。層厚を粘 土部と記録する。層厚10cmと記録する。 ●61.49~61.52m：不規則な形状で隙 隙を伴って層厚を呈する。 ●61.76~61.80m：層厚2~10mmの角質と 粘土状部で、層厚はマンガン塊を 伴って隙を呈する。上下層は固く、あ り、隙を呈する層厚を呈する。 ●62.64~63.00m：層厚60°の割れ目が 主体で、粘土部は分布しない。 ●63.00~63.39m：層厚40~60°とこれ に斜交して掘削する20~30°の割れ目 が主体で、粘土部は分布しない。割 れ目沿いは粘り強く砂状化する。 ●63.39~65.65m：互いに斜交して掘削す る層厚40~60°の割れ目が主体で、6 5.44m以深では風化も弱くなり、割れ 目沿いの薄層状の砂化も認められなく なる。粘土部はほとんど分布せず層厚 も弱い。 | 1 | 0 | 100 | 0 | 100 | 0 | 0 | | | | | | | | | | | | | | | | | | | | | |
| 63 | | | 花崗岩類 | 灰色 | Dg Vtz | | | | ●62.64~63.00m：層厚60°の割れ目が 主体で、粘土部は分布しない。 ●63.00~63.39m：層厚40~60°とこれ に斜交して掘削する20~30°の割れ目 が主体で、粘土部は分布しない。割 れ目沿いは粘り強く砂状化する。 ●63.39~65.65m：互いに斜交して掘削す る層厚40~60°の割れ目が主体で、6 5.44m以深では風化も弱くなり、割れ 目沿いの薄層状の砂化も認められなく なる。粘土部はほとんど分布せず層厚 も弱い。 | 1 | 0 | 100 | 0 | 100 | 0 | 0 | | | | | | | | | | | | | | | | | | | | | |
| 64 | | | 花崗岩類 | 灰色 | Dg Vtz | | | | ●63.00~63.39m：層厚40~60°とこれ に斜交して掘削する20~30°の割れ目 が主体で、粘土部は分布しない。割 れ目沿いは粘り強く砂状化する。 ●63.39~65.65m：互いに斜交して掘削す る層厚40~60°の割れ目が主体で、6 5.44m以深では風化も弱くなり、割れ 目沿いの薄層状の砂化も認められなく なる。粘土部はほとんど分布せず層厚 も弱い。 | 1 | 0 | 100 | 0 | 100 | 0 | 0 | | | | | | | | | | | | | | | | | | | | | |

| 標尺 (m) | 深度 (m) | 柱状図 | 岩種区分 | 色調 | 硬軟 | 割れ目の形状 | 風化状態 | 変質 | 記 | コア採取率 (%) | | 岩級区分 | 孔内水位 (m) 測定日 | 室内試験 | 掘進月日 | 掘進速度 (cm/時) | 孔径 (mm) / 孔壁保護 | コアチップ / ビット | 給圧 (MPa) | 回転数 (rpm) | 送水圧 (MPa) | 送水量 (L/分) | 排水量 (L/分) | | | |
|--------|--------|------|------|----|----|--------|------|----|--|-----------|-----|------|--------------|------|------|-------------|----------------|-------------|----------|-----------|-----------|-----------|-----------|--|--|--|
| | | | | | | | | | | R | D | | | | | | | | | | | | | | | |
| 66 | | 花崗斑岩 | 灰褐色 | Dg | Vg | cg | δ | | 65.69~67.40m: 上位に比べ割れ目は多い。風化は中程度で、割れ目の深さで、66.4m以深では割れ目の深さで風化が進み、淡褐色化する。粘土化部や粘土層がわずかに分布する。50~70°の割れ目が主体で、割れ目の深さは2~5cm程度を呈する。面は黒褐色で、50~70°の割れ目が5mmの白濁した長石結晶が多く分布する。 | 0 | 100 | Qd | | | | | | | | | | | | | | |
| 67 | | | | | | | | | 67.08~67.70m: 65~70mmの大型の石英結晶が多く分布する。 67.43~67.70m: 上位よりも割れ目や低部割れ目が多くなる。 67.65m: 傾斜95°で幅0.5mmの軟質な白色粘土層を挟む。 67.70~68.32m: 傾斜40~50°の互いに交差する割れ目が主体で、一部に幅0.5~1mmの淡褐色粘土層を挟む。50~70°の割れ目が主体で、割れ目に挟まれて、やや軟化するが、粘土化は伴わない。 68.32~68.52m: 軟質化が著しく、幅1~2mmの軟質な灰白~灰褐色粘土層が傾斜に分布する。 68.52m: 傾斜70°で幅2~5mmの軟質な白~明黄褐色粘土を挟む割れ目、やや高打った連続性、連続性に乏しい、割れ目周辺の岩壁には原岩組織が認められる。 68.52~68.84m: 全粒に粘土化が進み、割れ目が狭い。白色粘土が傾斜に分布する。 ●68.84~68.90m: 硬砂部 68.84~68.93m: 粘土混じり岩片状部 (H) 68.93~69.00m: 粘土混じり岩片状部 (H) 68.95~69.00m: 粘土混じり岩片状部 (H) 69.00~69.73m: 大半の割れ目は消滅するが、69.42mに傾斜68°、69.67mに傾斜70°で連続的にシャープな割れ目が残置する。 69.05~69.16m: 傾斜60~80°で傾斜60~80°の割れ目が傾斜60~80°で傾斜する。灰褐色粘土層が傾斜しなから多量に分布する。 69.73~71.21m: 大半の割れ目が傾斜し、傾斜10~30°と、これに斜交して、傾斜50~80°の割れ目が主体で、割れ目沿いに薄く砂状化することが多い。 71.21~71.65m: 割れ目は面の傾斜が50°、50°の割れ目は面が傾斜し、傾斜10~30°の割れ目が主体で、割れ目沿いに薄く砂状化することが多い。 71.65~71.90m: 割れ目は面が傾斜し、傾斜10~30°の割れ目が主体で、割れ目沿いに薄く砂状化することが多い。 71.90~72.00m: 割れ目は面が傾斜し、傾斜10~30°の割れ目が主体で、割れ目沿いに薄く砂状化することが多い。 | 0 | 100 | Qd | | | | | | | | | | | | | | |
| 68 | | 花崗斑岩 | 灰褐色 | Dg | Vg | cg | δ | | 68.84~68.93m: 硬砂部 68.93~69.00m: 粘土混じり岩片状部 (H) 69.00~69.73m: 大半の割れ目は消滅するが、69.42mに傾斜68°、69.67mに傾斜70°で連続的にシャープな割れ目が残置する。 69.05~69.16m: 傾斜60~80°で傾斜60~80°の割れ目が傾斜60~80°で傾斜する。灰褐色粘土層が傾斜しなから多量に分布する。 69.73~71.21m: 大半の割れ目が傾斜し、傾斜10~30°と、これに斜交して、傾斜50~80°の割れ目が主体で、割れ目沿いに薄く砂状化することが多い。 71.21~71.65m: 割れ目は面の傾斜が50°、50°の割れ目は面が傾斜し、傾斜10~30°の割れ目が主体で、割れ目沿いに薄く砂状化することが多い。 71.65~71.90m: 割れ目は面が傾斜し、傾斜10~30°の割れ目が主体で、割れ目沿いに薄く砂状化することが多い。 71.90~72.00m: 割れ目は面が傾斜し、傾斜10~30°の割れ目が主体で、割れ目沿いに薄く砂状化することが多い。 | 0 | 100 | Qd | | | | | | | | | | | | | | |
| 69 | | | | | | | | | 68.84~68.93m: 硬砂部 68.93~69.00m: 粘土混じり岩片状部 (H) 69.00~69.73m: 大半の割れ目は消滅するが、69.42mに傾斜68°、69.67mに傾斜70°で連続的にシャープな割れ目が残置する。 69.05~69.16m: 傾斜60~80°で傾斜60~80°の割れ目が傾斜60~80°で傾斜する。灰褐色粘土層が傾斜しなから多量に分布する。 69.73~71.21m: 大半の割れ目が傾斜し、傾斜10~30°と、これに斜交して、傾斜50~80°の割れ目が主体で、割れ目沿いに薄く砂状化することが多い。 71.21~71.65m: 割れ目は面の傾斜が50°、50°の割れ目は面が傾斜し、傾斜10~30°の割れ目が主体で、割れ目沿いに薄く砂状化することが多い。 71.65~71.90m: 割れ目は面が傾斜し、傾斜10~30°の割れ目が主体で、割れ目沿いに薄く砂状化することが多い。 71.90~72.00m: 割れ目は面が傾斜し、傾斜10~30°の割れ目が主体で、割れ目沿いに薄く砂状化することが多い。 | 0 | 100 | Qd | | | | | | | | | | | | | | |

第7.4.4.232図 (14) ボーリング調査結果 (2号炉原子炉建屋とD-1トレンチの間) コア柱状図 (H24-D1-1孔)

| 標尺 (m) | 標高 (m) | 柱状図 | 岩種区分 | 色調 | 硬軟 | 割れ目の形状 | 風変 | 記 | コア採取率 (最大コア長 cm) | 岩級区分 | 孔内水位 (測定月日) | 標準貫入 (N値~深度) | 試験 (N値) | 原位試験 (孔内圧電圧) | 室内試験 | 掘進月日 | 掘進速度 (cm/時) | 孔径 (mm) / 孔壁保護 | コアチップ/ピット | 給圧 (kN/cm²) | 回転数 (rpm) | 送水水量 (L/分) | 排水水量 (L/分) | |
|--------|--------|-----|------|------|----------|--------|----|--|------------------|------|-------------|--------------|---------|--------------|------|------|-------------|----------------|-----------|-------------|-----------|------------|------------|--|
| 71 | | | | | Dg Vs Og | | | 71.10~71.40m: 割れ目はほぼ消滅する。粘土層の分層は少ない。 | 3 0 | | | | | | | | | | | | | | | |
| 72 | | | | 灰緑 | Eg | | | 71.21~71.55m: ましく軟弱化し、割れ目はほぼ消滅するが、原岩組織は大半が残留する。層1~2mmの軟質な白色粘土層が層40~60'で層行に分布する。上層部はマンガン酸鉄で帯色している。層40~40'とこれに軟交~混交する層40~70'の割れ目が主体で、一部は、割れ目沿いに薄く砂状化~径5mmに細片化する。粘土層の分層は少ないが、73.40m以下では、割れ目の一部に層1~80mで軟質な灰白~白色粘土層を挟む。 | 3 0 | | | | | | | | | | | | | | | |
| 73 | | | | | Dg Vs Og | | | | 2 0 | | | | | | | | | | | | | | | |
| 74 | | | | にらん層 | Eg Vs Hg | | | 74.0m以下では傾斜40'の割れ目沿いに層10~40mm径5mm程度の薄片状の軟質な粘土質に白色粘土層が層70'前後に分布する。層74.28~75.50m: ましく軟弱化し、層74.28~75.50mの軟質な白~灰青色粘土層が層50~80'で多数分布する。大半の粘土層は層50'より層打ったりして層10~40mm径5mm程度の薄片状の軟質な粘土質に分布する。層74.70~75.50m: 傾斜30'以上の高角で割れ目が多く、灰白粘土層を伴う。 | 4 0 | | | | | | | | | | | | | | | |

第7.4.4.232図 (15) ボーリング調査結果 (2号炉原子炉建屋とD-1トレンチの間) コア柱状図 (H24-D1-1孔)

| 標尺 (m) | 標高 (m) | 深度 (m) | 柱状図 | 岩種区分 | 色調 | 硬軟 | コアの形状 | 風変 | 記 | コア採取率 (%) | 岩級区分 | 孔内水位 (m) 測定月日 | 標準貫入 (N) 値 | () 試験 | 原位置試験 (孔内圧電) | 室内試験 | 掘進月日 | 掘進速度 (cm/分) | 孔徑 (mm) / 孔壁保護 | コアチップ / ビット | 給圧 (kN) MPa | 回転数 (rpm) | 送水水量 (L/分) | 排水水量 (L/分) | | |
|--------|--------|--------|-----|------|-----|----|-------|----|--|-----------|------|---------------|------------|--------|--------------|------|------|-------------|----------------|-------------|-------------|-----------|------------|------------|--|--|
| 76 | | | | | 灰色 | Eg | 塊状 | 軟 | 75.10~75.50m: 細い~5mmの軟質な白色粘土脈が塊状に分布する。 75.50~77.75m: やや硬質な岩片も多量に観察される。75.50~77.75mの範囲に細く交差する塊状の岩片も観察される。77.75mの範囲には岩片目と極密な岩片目が分布する。岩片目の一部は砂状化し、一部には塊状の岩片が観察される。77.75m前後の軟質な白色粘土脈を挟む。粘土化で白濁した径2~5mmの黒石斑が多い。 | 2 00 | D' | | | | | | | | | | | | | | | |
| 77 | | | | 花崗岩 | 灰色 | Og | 塊状 | 硬 | 77.75~78.77m: 径10mm前後の塊状「D」ないし「C」の岩片を含むが、全体には著しく軟化する。原岩組織は一部で残存するが、岩片目はほぼ消滅する。78.20~78.40m, 78.70~78.77mに径5~10mmの塊状「C」ないし「D」の岩片が散在し、塊状の岩片がわずかに残存する。岩片目と岩片の間には幅1~2mmの軟質な白色粘土脈が分布するが、塊状でシャーブなものも、78.40mの塊状のみである。 | 4 00 | D' | | | | | | | | | | | | | | | |
| 78 | | | | | 明礬灰 | Eg | 塊状 | 硬 | ●78.77~79.19m: 破砕部 粘土質軟状部 (H) として、下層部には塊状にシャーブの塊状組織は明確であるが、岩片目は78.97mの54以外に消滅する。全体に著しく軟化しており、著しく軟化する。79.15m以下に塊状の岩片が観察される。79.15m以下に塊状の岩片が観察される。79.15m以下に塊状の岩片が観察される。 | 1 00 | D' | | | | | | | | | | | | | | | |
| 79 | | | | | 灰色 | Og | 塊状 | 軟 | 79.85m: 傾斜50°で径2mmの軟質な白色粘土脈を挟む。 79.85~80.10m: 全体に著しく軟化した状態で分布する。 | 3 00 | D' | | | | | | | | | | | | | | | |

第7.4.4.232図 (16) ボーリング調査結果 (2号炉原子炉建屋とD-1トレンチの間) コア柱状図 (H24-D1-1孔)

| 標尺 (m) | 深度 (m) | 柱状図 | 岩種区分 | 色調 | 硬さ | | 割れ目の形状 | 風変質 | 記 | コア採取率 | | | 岩級区分 | 孔内水位 (m) 測定日 | (標準貫入) 試験 | | | | | 原位試験 (内水不飽和) | 室内試験 | 掘進月日 | 掘進速度 (cm/時) | 掘進速度 (m/時) | 孔径 (mm) / 孔壁保護 | コアチップ / ビット | 給圧 (MPa) | 回転数 (rpm) | 送水圧 (MPa) | 送水量 (L/分) | 排水量 (L/分) | | | | |
|--------|--------|-----|------|--------|-------|----|--------|-----|---|------------|---|---|------|--------------|-----------|-------|-------|---------|---|--------------|------|------|-------------|------------|----------------|-------------|----------|-----------|-----------|-----------|-----------|--|--|--|--|
| | | | | | Eg | Og | | | | 最大コア長 (cm) | R | Q | | | D | L [%] | (N) 値 | (N値~深度) | 図 | | | | | | | | | | | | | | | | |
| 81 | | | | 灰褐色 | Eg Og | Ve | | | 30.05~81.00m: 互いに交差する鉄線40~80°の割れ目が多く径5~20mmの岩片からなる。割れ目の一部は薄く砂状化したり。径5mmの岩片に薄片化する。一部の割れ目には白~にぶい褐色の軟質粘土断を挟む。 | 3 | 0 | | | | | | | | | | | | | | | | | | | | | | | | |
| 81 | | | | にぶい灰褐色 | Dg | | | | 80.80~80.90m: 径2~5mmの粘土化で白濁化した長石斑晶が多い。 81.00~81.20m: 径10~20mmの塊状の岩片と砂状に軟化した岩片からなる。基質中に径1~3mmの軟質な白色粘土断を挟む。 ●81.20~81.42m: 破砕部 (81.20~81.30m: 粘土理しり層状部 (上縁40°で一部条状。下縁35°で直線的にシャープ)に連続。径1~2mmの石英粒と径3~15mmの粘土化した花崗岩の岩片を多く含む。やや硬質。 81.20~81.27mにはにぶい黄褐色。81.27~81.30mは淡黄褐色を呈する。幅50~100mm。粘土状結晶 (40~70°) 連続。径35°で幅2~4mmの軟質な灰褐色粘土からなる。 81.30~81.42m: 粘土理しり層状部 (上縁35°で連続的にシャープに。下部はやや黒濁して連続し。50°前後の割れ目と径1~2mmの石英粒と径2~10mmの軟質粘土。一部の径20の花崗岩の岩片を多く含む。81.37m以下では塊状が増加する。上縁傾斜10mmは淡褐色で、これ以外はにぶい黄褐色を呈する。 81.42~82.88m: 傾斜60~70°の割れ目と軟質粘土断が主で、一部で硬質層が互に存在し、一部で硬質層が互に存在しない。 82.88~83.27m: 傾斜70°の割れ目。これには互に交差する割れ目は止まっている。割れ目には幅0~2mmの軟質な白色粘土を不連続に挟む。割れ目周辺の基質には硬質層が認められ、系統的な割れ目も存在しない。 83.27~84.00m: 傾斜70°の割れ目。また、石英屑も径5~10mmで大型化する。粘土化部や粘土断はほとんど分布しない。傾斜40~70°の割れ目が主体で、一部の割れ目沿いに径2~10mm程度の岩片に薄片化するが、これ以外の基質は硬質粘土断を挟む。 83.92~84.00m: 傾斜30~60°の割れ目と、これらに斜交する径30~70°の割れ目を多く分布する。割れ目の一部では薄く砂状化する部分があるが、粘土化部は分布せず。粘土断を挟む割れ目も少ない。径5~10mmの砂状化した岩片は基質に分布せず。ここから黒褐色化し、コア表面の一部もマンガン風化により径2~5mmの斑晶状に黒褐色化する。 | 2 | 0 | | | | | | | | | | | | | | | | | | | | | | | | |
| 82 | | | | 灰褐色 | Dg | | | | 81.30~81.42m: 粘土理しり層状部 (上縁35°で連続的にシャープに。下部はやや黒濁して連続し。50°前後の割れ目と径1~2mmの石英粒と径2~10mmの軟質粘土。一部の径20の花崗岩の岩片を多く含む。81.37m以下では塊状が増加する。上縁傾斜10mmは淡褐色で、これ以外はにぶい黄褐色を呈する。 81.42~82.88m: 傾斜60~70°の割れ目と軟質粘土断が主で、一部で硬質層が互に存在し、一部で硬質層が互に存在しない。 82.88~83.27m: 傾斜70°の割れ目。これには互に交差する割れ目は止まっている。割れ目には幅0~2mmの軟質な白色粘土を不連続に挟む。割れ目周辺の基質には硬質層が認められ、系統的な割れ目も存在しない。 83.27~84.00m: 傾斜70°の割れ目。また、石英屑も径5~10mmで大型化する。粘土化部や粘土断はほとんど分布しない。傾斜40~70°の割れ目が主体で、一部の割れ目沿いに径2~10mm程度の岩片に薄片化するが、これ以外の基質は硬質粘土断を挟む。 83.92~84.00m: 傾斜30~60°の割れ目と、これらに斜交する径30~70°の割れ目を多く分布する。割れ目の一部では薄く砂状化する部分があるが、粘土化部は分布せず。粘土断を挟む割れ目も少ない。径5~10mmの砂状化した岩片は基質に分布せず。ここから黒褐色化し、コア表面の一部もマンガン風化により径2~5mmの斑晶状に黒褐色化する。 | 3 | 0 | | | | | | | | | | | | | | | | | | | | | | | | |
| 83 | | | | 灰褐色 | Dg | | | | 81.42~82.88m: 傾斜60~70°の割れ目と軟質粘土断が主で、一部で硬質層が互に存在し、一部で硬質層が互に存在しない。 82.88~83.27m: 傾斜70°の割れ目。これには互に交差する割れ目は止まっている。割れ目には幅0~2mmの軟質な白色粘土を不連続に挟む。割れ目周辺の基質には硬質層が認められ、系統的な割れ目も存在しない。 83.27~84.00m: 傾斜70°の割れ目。また、石英屑も径5~10mmで大型化する。粘土化部や粘土断はほとんど分布しない。傾斜40~70°の割れ目が主体で、一部の割れ目沿いに径2~10mm程度の岩片に薄片化するが、これ以外の基質は硬質粘土断を挟む。 83.92~84.00m: 傾斜30~60°の割れ目と、これらに斜交する径30~70°の割れ目を多く分布する。割れ目の一部では薄く砂状化する部分があるが、粘土化部は分布せず。粘土断を挟む割れ目も少ない。径5~10mmの砂状化した岩片は基質に分布せず。ここから黒褐色化し、コア表面の一部もマンガン風化により径2~5mmの斑晶状に黒褐色化する。 | 6 | 0 | | | | | | | | | | | | | | | | | | | | | | | | |
| 84 | | | | 灰褐色 | Dg | | | | 83.92~84.00m: 傾斜30~60°の割れ目と、これらに斜交する径30~70°の割れ目を多く分布する。割れ目の一部では薄く砂状化する部分があるが、粘土化部は分布せず。粘土断を挟む割れ目も少ない。径5~10mmの砂状化した岩片は基質に分布せず。ここから黒褐色化し、コア表面の一部もマンガン風化により径2~5mmの斑晶状に黒褐色化する。 | 6 | 0 | | | | | | | | | | | | | | | | | | | | | | | | |

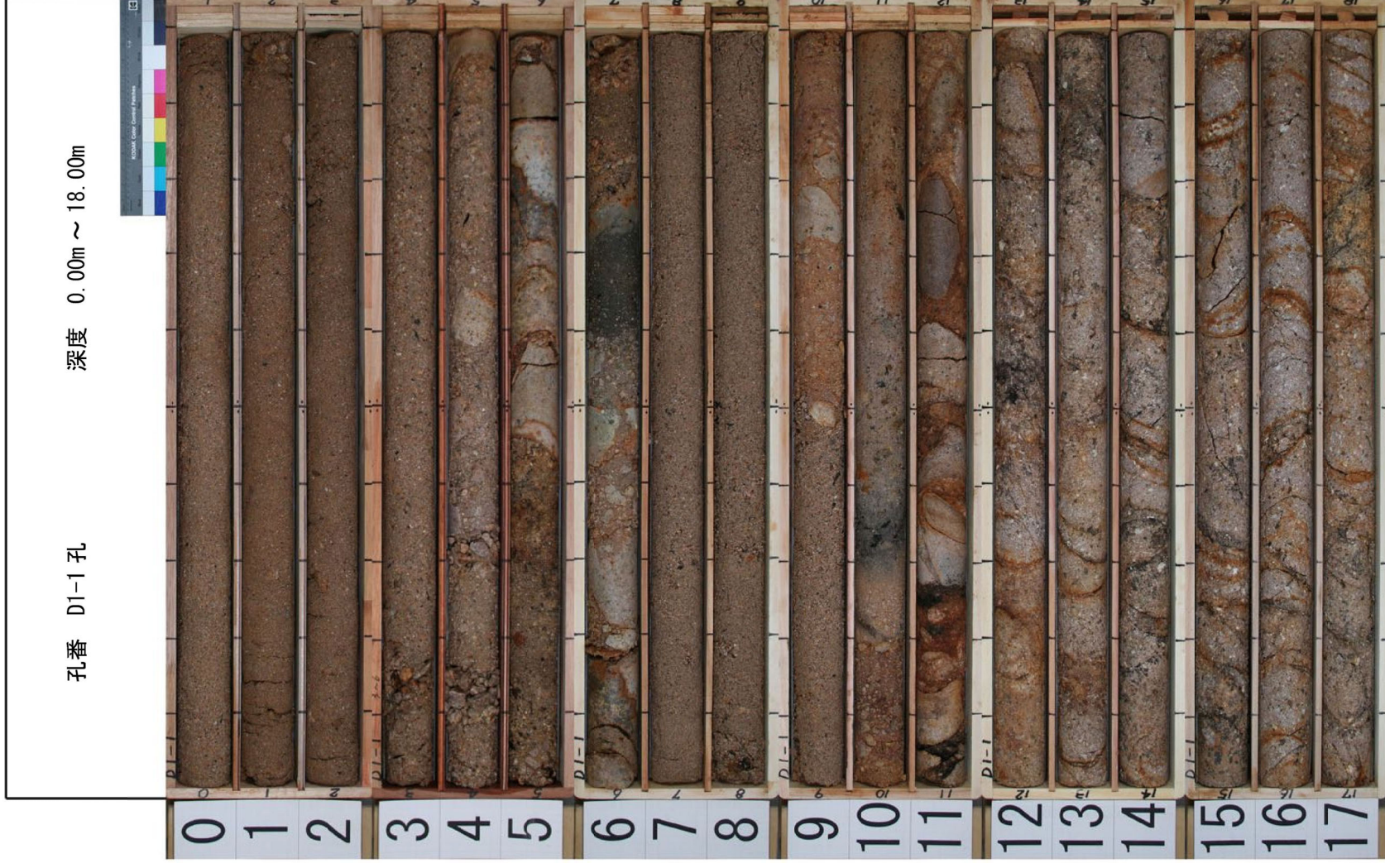
第7.4.4.232図 (17) ボーリング調査結果 (2号炉原子炉建屋とD-1トレンチの間) コア柱状図 (H24-D1-1孔)

| 標尺 (m) | 標高 (m) | 柱状図 | 岩種区分 | 色調 | 硬軟 | コア形状 | 割れ目の状態 | 風変 | 記 | コア採取率 (%) | 岩級区分 | 孔内水位 (m) 測定月日 | 標準貫入 (N) 値 | 試験 (N値~深度) 図 | 原位置試験 (内水圧測定) | 室内試験 | 掘進月日 | 掘進速度 (cm/時) | 孔径 (mm) / 孔壁厚 (mm) | コアチップ径 (mm) | 給圧 (kN) / MPa | 回転数 (rpm) | 送水圧 (MPa) | 送水量 (L/分) | 排水量 (L/分) | | | | |
|--------|--------|-----|------|--------|----------------|----------------|--------|----|--|--|------|---------------|------------|--------------|---------------|------|------|-------------|--------------------|-------------|---------------|-----------|-----------|-----------|-----------|--|--|--|--|
| 86 | | | | | VE | VE | | | 85.46m・75°と85.49m・55°の割れ目に幅0.5~1mmの軟質な白~褐色粘土脈を挟む。 85.53m: 傾斜65°で幅3~5mmの石英脈が割れ目に密着して連続する。 85.65~85.68m: 傾斜20°と50°の割れ目から長さ1~2mmの岩片状を露出する。粘土は挟むない。 | 85.46 85.53 85.65 85.68 | cl. | | | | | | | | | | | | | | | | | | |
| 87 | | | | 灰褐色 | CG, VG | CG, VG | | | 86.04m・40°・86.30m・60°・86.43m・55°の割れ目沿いに幅2~5mm程度砂状化する。 | 86.04 86.30 86.43 | cl. | | | | | | | | | | | | | | | | | | |
| 88 | | | 花崗閃岩 | に少し黄褐色 | EG, VE, VG, DG | EG, VE, VG, DG | | | 87.14~88.20m: 傾斜95~100度の塊状「C」の結晶と粘土に軟質化した石英脈を伴った角閃状を呈し、石英中には大小の結晶を露出する。幅1~2mmの軟質な白色粘土脈が分布するが、長さ50mm未満で連続性は悪い。岩片密集部には傾斜10~30°と60~80°の2系統の割れ目が露出する。 87.69~87.84m: 露出部が中石状に露出する。 | 87.14 87.69 87.84 | D | | | | | | | | | | | | | | | | | | |
| 89 | | | | 灰褐色 | VE, CG, VG | VE, CG, VG | | | 88.00~88.35m: 基岩部はほとんど分布しないが、径5mm前後の岩片状を呈す。 88.29~89.01m: 傾斜60~70°とこれに近接する傾斜を有する傾斜60°の割れ目が主体で、割れ目の一部に幅1~2mmの軟質な白色粘土脈を挟む。特に、89.68m以降で粘土脈を多く含む。 | 88.00 88.29 88.35 88.68 89.01 | cl. | | | | | | | | | | | | | | | | | | |
| | | | | | Dg, VE, CG, VG | Dg, VE, CG, VG | | | 89.31m: 傾斜40°の割れ目で、連続的にシャープに連続し、交差する割れ目を止めている。割れ目に露出部分の結晶は部分的に割れ目周辺の部分的な割れ目まで存在しない。連続的な明赤灰色粘土脈を挟み、下層部は89.44mまで連続40mm程度で粘土が連続化する。 ●89.91~89.95m: 硬砂部 89.91~89.95m: 露出粘土脈 (他) 上層20°で連続的に、下層45°で連続的に露出する。幅17~15mmの岩片を露出する。傾斜17~15mmの岩片を露出する。 89.93~89.95m: 粘土状部 (He-1) 上層45°で液打って、下層45°で連続的にシャープに連続。径1~2mmの石英脈を挟む。軟質。明赤灰色を呈する。幅2~5mm。 89.96~89.98m: 傾斜23°の中心で、ともに連続的にシャープに連続。径1~2mmの石英脈と径5mmの大半が粘土化した花崗閃岩の岩片を含む露出しり粘土状を呈す。粘土は軟質~やや硬質である。灰白色を呈し、幅15~18mmである。 | 89.31 89.44 89.91 89.95 89.93 89.95 89.96 89.98 | | | | | | | | | | | | | | | | | | | |

第7.4.4.232図 (18) ボーリング調査結果 (2号炉原子炉建屋とD-1トレンチの間) コア柱状図 (H24-D1-1孔)

| 標尺 (m) | 高度 (m) | 深度 (m) | 柱状図 | 岩種区分 | 色調 | 硬さ | コア形状 | 風割れ目 | 風変 | 記述 | コア採取率 (%) | 最大コア長 cm | R | O | D | 値 | 岩級区分 | 孔径 (mm) | 標準貫入 (N値) | 試験 (N値) | 室内試験 | 内進月日 | 掘進速度 (cm/時) | コアチップ/ピット | 給圧 (MPa) | 回転数 (rpm) | 送水水量 (L/min) | 送水圧 (MPa) |
|--|---|--------|----------|------|----|----|------|----------|-----|---|-----------|----------|---|---|---|---|------|---------|-----------|---------|------|------|-------------|-----------|----------|-----------|--------------|-----------|
| -91 | | | [Symbol] | 灰褐色 | Dg | Vg | cg | | 2 | 90.00~90.20m: 精練30~50°とこれ斜交~直交する50~60°の割れ目が分布し、径5~50mmの硬さ「G」の岩片散在することが多い。 90.20~90.30m: 粘土混じり岩片状部 (H) | 4 | (100)→ | D | | | | | | | | | | | | | | | |
| | | | | | | | | | | 90.30~90.40m: 粘土混じり岩片状部 (H) 上端50°で透打ち、下端70°で直線的にシャープに連続、径5~10mmの大岩片が粘土化した花崗岩質の岩片と岩片間の一部に幅0.5~1mmの軟質な粘土を認められる。にぶい黄褐色を呈する。 | 4 | | | | | | | D | | | | | | | | | | |
| | | | | | | | | | | 90.40~90.50m: 粘土混じり岩片状部 (H) 上端70°で透打ち、下端70°でももにほぼ直線的でシャープに連続、径1~2mmの花崗岩質の岩片を多く含む。やや軟質粘土質化傾向を認められる。黄褐色を呈する。幅約20mmと軟質色を呈する。 (H) 90.50~90.60m: 粘土混じり岩片状部 (H) 上端70°で透打ち、下端70°でももにほぼ直線的でシャープに連続、ほぼ粘土化した岩片も消滅した径5~30mmの花崗岩質の岩片を多く含む。粘土混じり岩片状部 (H) 90.60~90.65m: 粘土混じり岩片状部 (H) 上端70°で透打ち、下端70°でももにほぼ直線的でシャープに連続、ほぼ粘土化した岩片も消滅した径5~30mmの花崗岩質の岩片を多く含む。粘土混じり岩片状部 (H) | | | | | | | | | | | | 3 | D | | | | | |
| 90.65~90.70m: 粘土混じり岩片状部 (H) 上端70°で透打ち、下端70°でももにほぼ直線的でシャープに連続、ほぼ粘土化した岩片も消滅した径5~30mmの花崗岩質の岩片を多く含む。粘土混じり岩片状部 (H) | 3 | D | | | | | | | | | | | | | | | | | | | | | | | | | | |
| -92 | | | | | | | | [Symbol] | 灰褐色 | Dg | Vg | cg | | 3 | 90.70~90.86m: 粘土混じり岩片状部 (H) 上端60°で透打ち、下端50°でほぼ直線的にシャープに連続、径5~20mmの一部硬質層が露出するが、概ね粘土化した花崗岩質の岩片と径2~3mmの石英粒、長石粒と径500前後の粘土化した花崗岩質の岩片を多く含む。軟質、灰白色を呈する。幅6~20mmと軟質色を呈する。 (H) 90.86~91.20m: 精練60~70°の割れ目が20~40mm間隔で単行に分布する。これらの割れ目に斜交~直交する傾斜40~50°の割れ目も多い。引、2m付近では、前者は後者を止めている。割合と露出する割合が異なる。割れ目内には粘土を認められる。割れ目の両側に黄褐色の軟質な岩片が認められる。割れ目の両側に黄褐色の軟質な岩片が認められる。系統的な割れ目も存在しない。 ●91.26~91.52m: 破砕部 91.26~91.31m: 粘土混じり岩片状部 (H) 上端60°で透打ち、下端30°で不明な傾向で連続、径1~3mmの花崗岩質の岩片と径5~10mmの粘土化した花崗岩質の岩片を多く含む。にぶい黄褐色を呈する。幅20~40mm。 91.31~91.33m: 粘土混じり岩片状部 (H) 上端60°で透打ち、下端30°で不明な傾向で連続、径1~3mmの花崗岩質の岩片と径5~10mmの粘土化した花崗岩質の岩片を多く含む。にぶい黄褐色を呈する。幅20~40mm。 91.33~91.52m: 粘土混じり岩片状部 (H) 上端60°で透打ち、下端30°で不明な傾向で連続、径1~3mmの花崗岩質の岩片と径5~10mmの粘土化した花崗岩質の岩片を多く含む。にぶい黄褐色を呈する。幅20~40mm。 91.52~91.58m: 粘土混じり岩片状部 (H) 上端60°で透打ち、下端30°で不明な傾向で連続、径1~3mmの花崗岩質の岩片と径5~10mmの粘土化した花崗岩質の岩片を多く含む。にぶい黄褐色を呈する。幅20~40mm。 91.58~91.60m: 粘土混じり岩片状部 (H) 上端60°で透打ち、下端30°で不明な傾向で連続、径1~3mmの花崗岩質の岩片と径5~10mmの粘土化した花崗岩質の岩片を多く含む。にぶい黄褐色を呈する。幅20~40mm。 91.60~91.65m: 粘土混じり岩片状部 (H) 上端60°で透打ち、下端30°で不明な傾向で連続、径1~3mmの花崗岩質の岩片と径5~10mmの粘土化した花崗岩質の岩片を多く含む。にぶい黄褐色を呈する。幅20~40mm。 | 4 | D | | | | | | | | | | | |
| | 91.58~91.60m: 粘土混じり岩片状部 (H) 上端60°で透打ち、下端30°で不明な傾向で連続、径1~3mmの花崗岩質の岩片と径5~10mmの粘土化した花崗岩質の岩片を多く含む。にぶい黄褐色を呈する。幅20~40mm。 | 3 | D | | | | | | | | | | | | | | | | | | | | | | | | | |
| | 91.60~91.65m: 粘土混じり岩片状部 (H) 上端60°で透打ち、下端30°で不明な傾向で連続、径1~3mmの花崗岩質の岩片と径5~10mmの粘土化した花崗岩質の岩片を多く含む。にぶい黄褐色を呈する。幅20~40mm。 | | | | | | | | | | | | | | | | | | | | 3 | D | | | | | | |
| -94 | | | [Symbol] | 灰褐色 | Dg | Vg | cg | | 3 | 91.65~91.70m: 粘土混じり岩片状部 (H) 上端60°で透打ち、下端30°で不明な傾向で連続、径1~3mmの花崗岩質の岩片と径5~10mmの粘土化した花崗岩質の岩片を多く含む。にぶい黄褐色を呈する。幅20~40mm。 91.70~91.75m: 粘土混じり岩片状部 (H) 上端60°で透打ち、下端30°で不明な傾向で連続、径1~3mmの花崗岩質の岩片と径5~10mmの粘土化した花崗岩質の岩片を多く含む。にぶい黄褐色を呈する。幅20~40mm。 91.75~91.80m: 粘土混じり岩片状部 (H) 上端60°で透打ち、下端30°で不明な傾向で連続、径1~3mmの花崗岩質の岩片と径5~10mmの粘土化した花崗岩質の岩片を多く含む。にぶい黄褐色を呈する。幅20~40mm。 91.80~91.85m: 粘土混じり岩片状部 (H) 上端60°で透打ち、下端30°で不明な傾向で連続、径1~3mmの花崗岩質の岩片と径5~10mmの粘土化した花崗岩質の岩片を多く含む。にぶい黄褐色を呈する。幅20~40mm。 91.85~91.90m: 粘土混じり岩片状部 (H) 上端60°で透打ち、下端30°で不明な傾向で連続、径1~3mmの花崗岩質の岩片と径5~10mmの粘土化した花崗岩質の岩片を多く含む。にぶい黄褐色を呈する。幅20~40mm。 91.90~91.95m: 粘土混じり岩片状部 (H) 上端60°で透打ち、下端30°で不明な傾向で連続、径1~3mmの花崗岩質の岩片と径5~10mmの粘土化した花崗岩質の岩片を多く含む。にぶい黄褐色を呈する。幅20~40mm。 91.95~92.00m: 粘土混じり岩片状部 (H) 上端60°で透打ち、下端30°で不明な傾向で連続、径1~3mmの花崗岩質の岩片と径5~10mmの粘土化した花崗岩質の岩片を多く含む。にぶい黄褐色を呈する。幅20~40mm。 92.00~92.05m: 粘土混じり岩片状部 (H) 上端60°で透打ち、下端30°で不明な傾向で連続、径1~3mmの花崗岩質の岩片と径5~10mmの粘土化した花崗岩質の岩片を多く含む。にぶい黄褐色を呈する。幅20~40mm。 92.05~92.10m: 粘土混じり岩片状部 (H) 上端60°で透打ち、下端30°で不明な傾向で連続、径1~3mmの花崗岩質の岩片と径5~10mmの粘土化した花崗岩質の岩片を多く含む。にぶい黄褐色を呈する。幅20~40mm。 92.10~92.15m: 粘土混じり岩片状部 (H) 上端60°で透打ち、下端30°で不明な傾向で連続、径1~3mmの花崗岩質の岩片と径5~10mmの粘土化した花崗岩質の岩片を多く含む。にぶい黄褐色を呈する。幅20~40mm。 92.15~92.20m: 粘土混じり岩片状部 (H) 上端60°で透打ち、下端30°で不明な傾向で連続、径1~3mmの花崗岩質の岩片と径5~10mmの粘土化した花崗岩質の岩片を多く含む。にぶい黄褐色を呈する。幅20~40mm。 92.20~92.25m: 粘土混じり岩片状部 (H) 上端60°で透打ち、下端30°で不明な傾向で連続、径1~3mmの花崗岩質の岩片と径5~10mmの粘土化した花崗岩質の岩片を多く含む。にぶい黄褐色を呈する。幅20~40mm。 92.25~92.30m: 粘土混じり岩片状部 (H) 上端60°で透打ち、下端30°で不明な傾向で連続、径1~3mmの花崗岩質の岩片と径5~10mmの粘土化した花崗岩質の岩片を多く含む。にぶい黄褐色を呈する。幅20~40mm。 92.30~92.35m: 粘土混じり岩片状部 (H) 上端60°で透打ち、下端30°で不明な傾向で連続、径1~3mmの花崗岩質の岩片と径5~10mmの粘土化した花崗岩質の岩片を多く含む。にぶい黄褐色を呈する。幅20~40mm。 92.35~92.40m: 粘土混じり岩片状部 (H) 上端60°で透打ち、下端30°で不明な傾向で連続、径1~3mmの花崗岩質の岩片と径5~10mmの粘土化した花崗岩質の岩片を多く含む。にぶい黄褐色を呈する。幅20~40mm。 92.40~92.45m: 粘土混じり岩片状部 (H) 上端60°で透打ち、下端30°で不明な傾向で連続、径1~3mmの花崗岩質の岩片と径5~10mmの粘土化した花崗岩質の岩片を多く含む。にぶい黄褐色を呈する。幅20~40mm。 92.45~92.50m: 粘土混じり岩片状部 (H) 上端60°で透打ち、下端30°で不明な傾向で連続、径1~3mmの花崗岩質の岩片と径5~10mmの粘土化した花崗岩質の岩片を多く含む。にぶい黄褐色を呈する。幅20~40mm。 92.50~92.55m: 粘土混じり岩片状部 (H) 上端60°で透打ち、下端30°で不明な傾向で連続、径1~3mmの花崗岩質の岩片と径5~10mmの粘土化した花崗岩質の岩片を多く含む。にぶい黄褐色を呈する。幅20~40mm。 92.55~92.60m: 粘土混じり岩片状部 (H) 上端60°で透打ち、下端30°で不明な傾向で連続、径1~3mmの花崗岩質の岩片と径5~10mmの粘土化した花崗岩質の岩片を多く含む。にぶい黄褐色を呈する。幅20~40mm。 92.60~92.65m: 粘土混じり岩片状部 (H) 上端60°で透打ち、下端30°で不明な傾向で連続、径1~3mmの花崗岩質の岩片と径5~10mmの粘土化した花崗岩質の岩片を多く含む。にぶい黄褐色を呈する。幅20~40mm。 92.65~92.70m: 粘土混じり岩片状部 (H) 上端60°で透打ち、下端30°で不明な傾向で連続、径1~3mmの花崗岩質の岩片と径5~10mmの粘土化した花崗岩質の岩片を多く含む。にぶい黄褐色を呈する。幅20~40mm。 92.70~92.75m: 粘土混じり岩片状部 (H) 上端60°で透打ち、下端30°で不明な傾向で連続、径1~3mmの花崗岩質の岩片と径5~10mmの粘土化した花崗岩質の岩片を多く含む。にぶい黄褐色を呈する。幅20~40mm。 92.75~92.80m: 粘土混じり岩片状部 (H) 上端60°で透打ち、下端30°で不明な傾向で連続、径1~3mmの花崗岩質の岩片と径5~10mmの粘土化した花崗岩質の岩片を多く含む。にぶい黄褐色を呈する。幅20~40mm。 92.80~92.85m: 粘土混じり岩片状部 (H) 上端60°で透打ち、下端30°で不明な傾向で連続、径1~3mmの花崗岩質の岩片と径5~10mmの粘土化した花崗岩質の岩片を多く含む。にぶい黄褐色を呈する。幅20~40mm。 92.85~92.90m: 粘土混じり岩片状部 (H) 上端60°で透打ち、下端30°で不明な傾向で連続、径1~3mmの花崗岩質の岩片と径5~10mmの粘土化した花崗岩質の岩片を多く含む。にぶい黄褐色を呈する。幅20~40mm。 92.90~92.95m: 粘土混じり岩片状部 (H) 上端60°で透打ち、下端30°で不明な傾向で連続、径1~3mmの花崗岩質の岩片と径5~10mmの粘土化した花崗岩質の岩片を多く含む。にぶい黄褐色を呈する。幅20~40mm。 92.95~93.00m: 粘土混じり岩片状部 (H) 上端60°で透打ち、下端30°で不明な傾向で連続、径1~3mmの花崗岩質の岩片と径5~10mmの粘土化した花崗岩質の岩片を多く含む。にぶい黄褐色を呈する。幅20~40mm。 | 4 | D | | | | | | | | | | | | | | | | |
| | | | | | | | | | | 92.80~92.85m: 粘土混じり岩片状部 (H) 上端60°で透打ち、下端30°で不明な傾向で連続、径1~3mmの花崗岩質の岩片と径5~10mmの粘土化した花崗岩質の岩片を多く含む。にぶい黄褐色を呈する。幅20~40mm。 | | | | | | 3 | D | | | | | | | | | | | |
| | | | | | | | | | | 92.85~92.90m: 粘土混じり岩片状部 (H) 上端60°で透打ち、下端30°で不明な傾向で連続、径1~3mmの花崗岩質の岩片と径5~10mmの粘土化した花崗岩質の岩片を多く含む。にぶい黄褐色を呈する。幅20~40mm。 | | | | | | | | | | | 3 | D | | | | | | |

第7.4.4.232図 (19) ボーリング調査結果 (2号炉原子炉建屋とD-1トレンチの間) コア柱状図 (H24-D1-1)



第7.4.4.232図 (22) ボーリング調査結果 (2号炉原子炉建屋とD-1トレンチの間) コア柱状図 (H24-D1-1孔)



第7.4.4.232図 (23) ボーリング調査結果 (2号炉原子炉建屋とD-1トレンチの間) コア柱状図 (H24-D1-1孔)



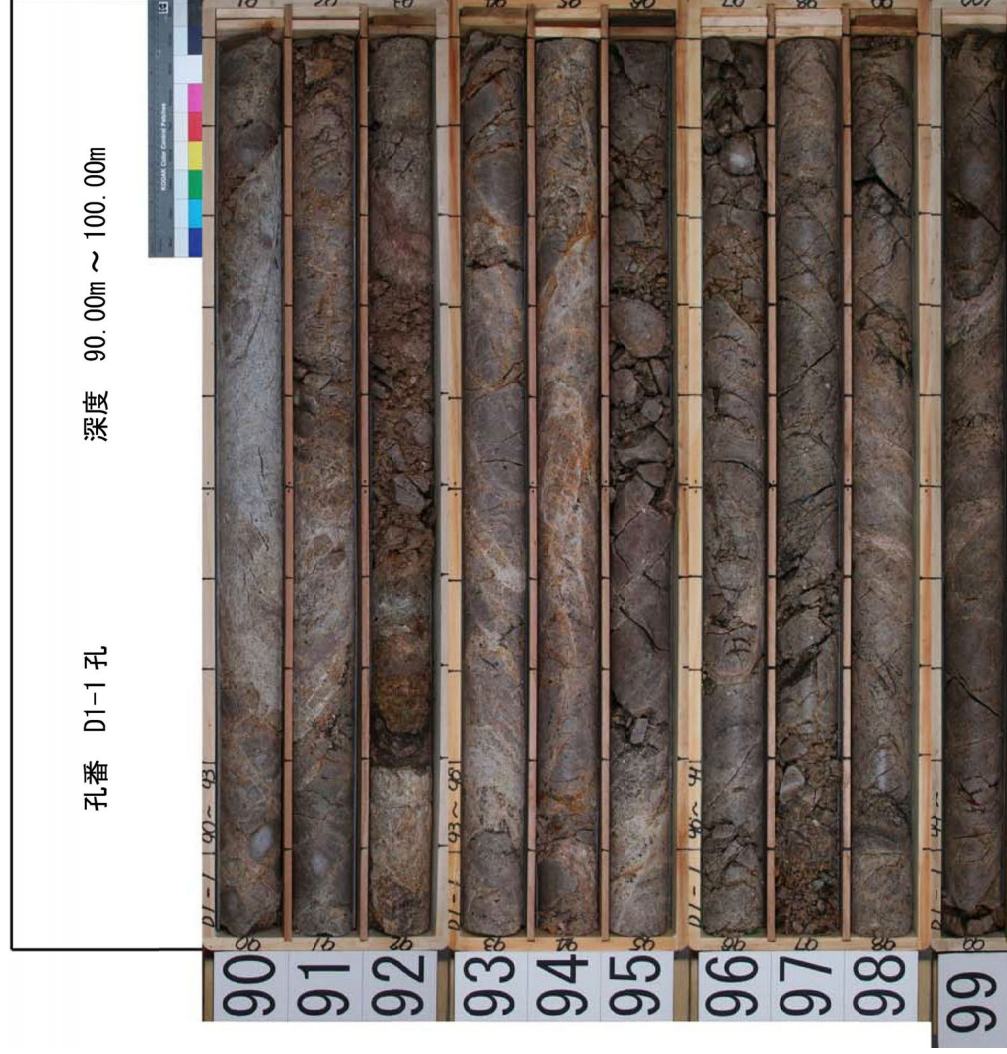
第7.4.4.232図 (24) ボーリング調査結果 (2号炉原子炉建屋とD-1トレンチの間) コア柱状図 (H24-D1-1孔)



第7.4.4.232図 (25) ボーリング調査結果 (2号炉原子炉建屋とD-1トレンチの間) コア柱状図 (H24-D1-1孔)



第7.4.4.232図 (26) ボーリング調査結果 (2号炉原子炉建屋とD-1トレンチの間) コア柱状図 (H24-D1-1孔)



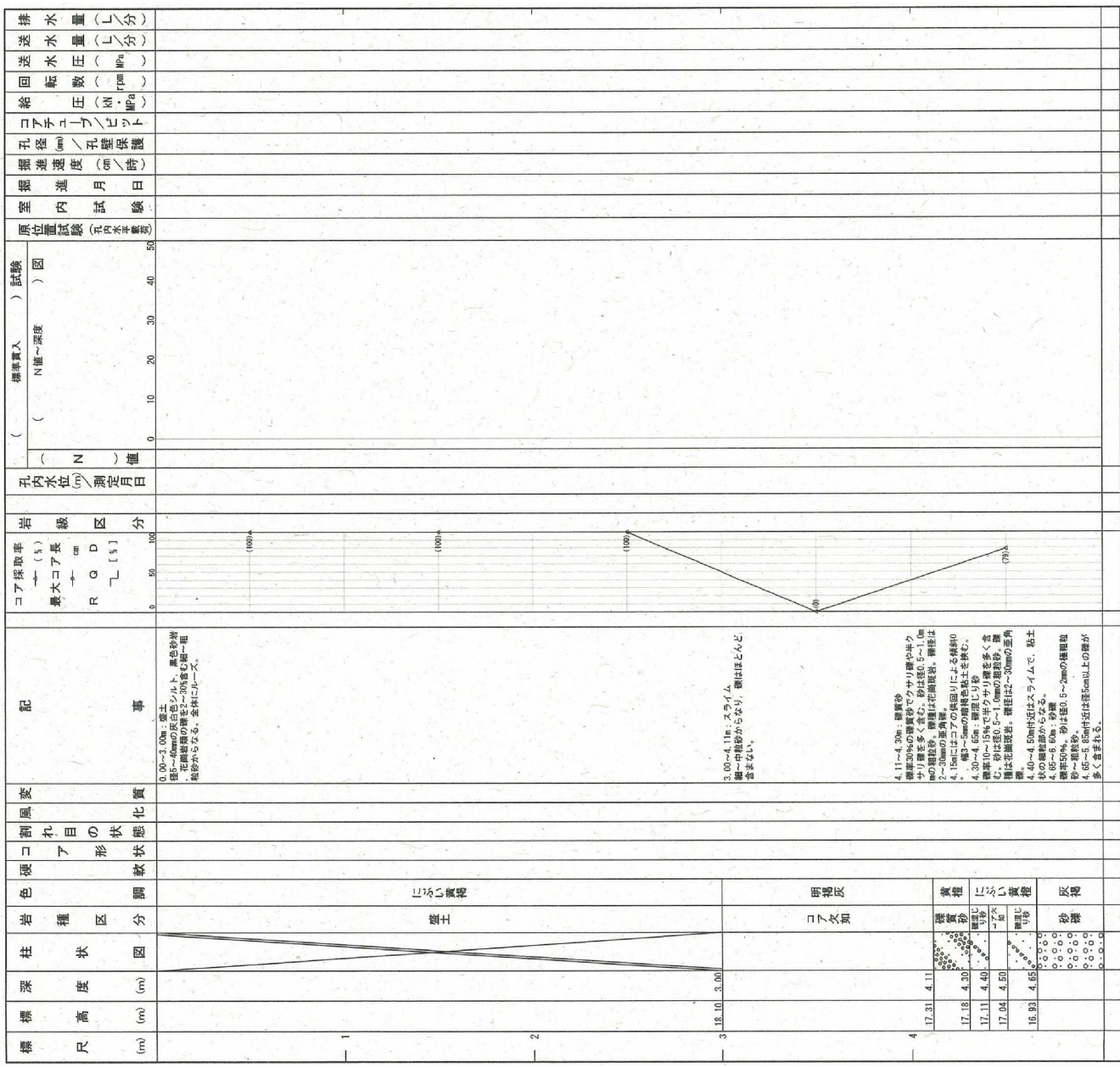
第7.4.4.232図 (27) ボーリング調査結果 (2号炉原子炉建屋とD-1トレンチの間) コア柱状図 (H24-D1-1孔)

ボーリング柱状図

| | |
|----------|---|
| ボーリングNo. | 1 |
|----------|---|

調査名
事業・工事名

| | | | | | |
|---------|-------------|------|-----------------------|-------|----------------|
| ボーリング名 | H27-B-1 | 調査位置 | K:338.353, Y:1103.283 | 北緯 | 35° 45' 19.30" |
| 発注機関 | 日本原子力発電株式会社 | 調査期間 | 2015年5月23日～2015年8月11日 | 東経 | 136° 1' 1.43" |
| 調査業者名 | | 調査場所 | 調査代理人 | ボーリング | |
| ボーリング深 | 20.22 m | 主任技師 | 現場代理人 | コ定者 | |
| ボーリング口径 | 140.00 mm | 方位 | 使用機械 | ハンマー | |
| | | 方位角 | 使用機器 | 落下用真 | |
| | | 方位角 | エンジン | ポンプ | |



第7.4.4.233図 (1) ボーリング調査結果 (2号炉原子炉建屋とD-1トレンチの間) コア柱状図 (H27-B-1孔)

| 標尺 (m) | 標高 (m) | 深度 (m) | 柱状図 | 岩種区分 | 色調 | 硬度 | コア形状 | 割れ目の状態 | 風変質 | 記事 | コア採取率 (%) | 岩級区分 | 孔内水位 (m) 測定日 | 標準貫入 (N値~深度) | 試験 (N値) | 原位試験 (孔内圧電圧) | 室内試験 | 掘進月日 | 掘進速度 (cm/時) | 孔径 (mm) / 孔壁保護 | コアチップ / ビット | 給圧 (MPa) | 回転数 (rpm) | 送水圧 (MPa) | 送水量 (L/分) | 排水量 (L/分) |
|--------|--------|--------|-----|-------|----------|----|------|--------|-----|--|-----------|------|--------------|--------------|---------|--------------|------|------|-------------|----------------|-------------|----------|-----------|-----------|-----------|-----------|
| 16 | | | | | Dg Og | | | δ γ | | 15.27~15.44m: 硬さの硬質断片が残留している。 16.00~17.60m: 割れ目周辺に硬さ「E」が部分的に分布する。 16.75~16.84m: 径50~40mmの硬さ「C」の硬質断片が断片に分布。 | 11 11 | | | | | | | | | | | | | | | |
| 17 | | | | にんごう岩 | Ug | Vs | | δ | | 17.44m: 傾斜15°の割れ目沿いに幅1~4mmの砂状化する。 | 8 30 | | | | | | | | | | | | | | | |
| 18 | | | | にんごう岩 | Ug | | | | | 18.10~22.10m: 上下に比べ割れ目少なくなる(コアの形状17)。 18.31m: 傾斜10°で幅10mmマンガン鉱床が断片に分布。黒褐色化する。 | 10 10 | | | | | | | | | | | | | | | |
| 19 | | | | にんごう岩 | | | | | | 19.60m: 傾斜12°の割れ目沿いに幅10mm砂状化する。 | 4 9 | | | | | | | | | | | | | | | |

第7.4.4.233図(4) ボーリング調査結果(2号炉原子炉建屋とD-1トレンチの間) コア柱状図(H27-B-1孔)

| 標尺 (m) | 標高 (m) | 深度 (m) | 柱状図 | 岩種区分 | 色調 | 硬軟 | 割れ目の形状 | 風化 | 記 | コア採取率 (%) 最大コア長 cm R Q D [%] | 岩級区分 | 孔内水位 (m) / 測定日 | 試験 | | 原位置試験 (穴内圧巻) | 空内試験 | 掘進月日 | 掘進速度 (m/時) | 掘進度 (m) | 孔徑 (mm) / 孔塞保護 | コアチップ / ビット | 給圧 (KN MPa) | 回転数 (rpm) | 送水圧 (MPa) | 送水量 (L/分) | 排水量 (L/分) | |
|--------|--------|--------|-----|--------------|----|----|--------|----|---|------------------------------------|------|----------------|------|--------------|--------------|------|------|------------|---------|----------------|-------------|-------------|-----------|-----------|-----------|-----------|--|
| | | | | | | | | | | | | | (N値) | (標準貫入 N値~深度) | | | | | | | | | | | | | |
| | | | | 花崗岩 | | | | | 20.37~20.42m: 傾斜10°の割れ目沿いに幅2~10mmで暗褐色の塊状深部結晶を伴む。一部は不規則な割れ目に入入る。 | 14 14 | | | | | | | | | | | | | | | | | |
| | | 21 | | | | Dg | IVz | | 21.16~22.01m: 割れ目沿いに幅10~30mmで砂状化する部分がある。 | 7 0 | | | | | | | | | | | | | | | | | |
| | | 22 | | にんじょう 花崗岩 | | Dg | cg δ | | 22.01~22.10m: 硬さ「C」の硬質部が狭帯。 | 14 14 | | | | | | | | | | | | | | | | | |
| | | 23 | | | | Dg | Vz | | 23.05~23.20m: 20~30°と70~80°の割れ目が交差し一部で交差部周辺で厚10mm程度に割れ目。割れ目面はマシオン米岩が認められる。割れ目沿いに幅12°の割れ目沿いに幅15mmで褐色化する。 | 3 0 | | | | | | | | | | | | | | | | | |
| | | 24 | | | | Eg | cg ε | | 24.16m以下では硬さ「E」も含む。全体に細かい岩片多い。 | 5 0 | | | | | | | | | | | | | | | | | |
| | | | | | | Dg | IVz | | 24.44~24.71m: D帯に砂状を呈する。岩組織や割れ目にはほぼ閉塞している。 | | | | | | | | | | | | | | | | | | |
| | | | | | | Dg | cg δ | | 24.71~25.62m: CL帯に砂状化する。割れ目沿いに幅10~20°の割れ目が主体で割れ目沿いの一部は砂状化する。 | | | | | | | | | | | | | | | | | | |

第7.4.4.233図 (5) ボーリング調査結果 (2号炉原子炉建屋とD-1トレンチの間) コア柱状図 (H27-B-1孔)

| 標尺 (m) | 標高 (m) | 柱状図 | 岩種区分 | 色調 | 硬軟 | 割れ目の形状 | 変質 | 記 | コア採取率 (%) | 岩級区分 | 孔内水位 (m) 測定月日 | (N) 値 | (N 値 ~ 深度) 図 | 試験 | 室内試験 (圧入 重量) | 室内試験 月日 | 掘進速度 (cm/時) | 掘進月日 | 孔径 (mm) / 孔壁保護 | コアチップビット | 給圧 (kgf/cm ²) | 回転数 (rpm) | 送水圧 (MPa) | 送水量 (L/分) | 排水量 (L/分) | | |
|--------|--------|-----------|------|-------|-------|--------|----|---|----------------|------|---------------|---------|----------------|----|----------------|---------|-------------|------|----------------|----------|---------------------------|-----------|-----------|-----------|-----------|--|--|
| 26 | -26 | [Pattern] | 花崗閃岩 | にんじいろ | Dg VE | δ 3 | | 25.00m: 傾斜18°の割れ目沿いに幅7mmの石英脈、マンガン脈を伴う。層別は黄褐色化する。 26.65~27.60m: D 27.60m以上では割れ目沿いの砂状化が更に進む。 28.65~29.60m: D 29.60m以上では割れ目沿いの砂状化が更に進む。 27.00~27.10m: コア欠如。 | 0 50 100 | D' | | | | | | | | | | | | | | | | | |
| | | | | | | | | | | | | | | | | | | | | | | | | | | | |
| 27 | -27 | [Pattern] | 花崗閃岩 | にんじいろ | Dg VE | δ 3 | | 28.19~28.60m: D 28.60m以上では割れ目沿いの砂状化が更に進む。 28.61~28.65m: D 28.65m以上では割れ目沿いの砂状化が更に進む。 28.84~30.74m: D 30.74m以上では割れ目沿いの砂状化が更に進む。 29.00~29.60m: コア欠如。 | 0 50 100 | D' | | | | | | | | | | | | | | | | | |
| | | | | | | | | | | | | | | | | | | | | | | | | | | | |
| 28 | -28 | [Pattern] | 花崗閃岩 | 明褐色 | Dg VE | δ 3 | | 28.00~28.10m: コア欠如。 28.19~28.60m: D 28.60m以上では割れ目沿いの一部で砂状化する部分も進む。 28.61~28.65m: D 28.65m以上では割れ目沿いで砂状化する。 28.84~30.74m: D 30.74m以上では割れ目沿いの砂状化を呈する。深10~30mm程度の隙き(D) 岩片が隙間に挟った状態で分布し砂状化を呈する。 29.00~29.60m: コア欠如。 | 0 50 100 | D' | | | | | | | | | | | | | | | | | |
| | | | | | | | | | | | | | | | | | | | | | | | | | | | |
| 29 | -29 | [Pattern] | 花崗閃岩 | 明褐色 | Dg VE | δ 3 | | 29.00~29.60m: コア欠如。 | 0 50 100 | D' | | | | | | | | | | | | | | | | | |
| | | | | | | | | | | | | | | | | | | | | | | | | | | | |

第7.4.4.233図 (6) ボーリング調査結果 (2号炉原子炉建屋とD-1トレンチの間) コア柱状図 (H27-B-1孔)

| 標尺 (m) | 標高 (m) | 深度 (m) | 柱状図 | 岩種区分 | 色調 | 硬軟 | 割れ目の形状 | 風化 | 変質 | 記 | コア採取率 (%) | 最大コア長 cm | R Q D [%] | 岩級区分 | 孔内水位 (m) 測定月日 | () 標準貫入 () 試験 | 原位置試験 (内水基準) | 室内試験 | 観進月日 | 観進速度 (cm/時) | 孔径 (mm) / 孔壁保護 | コアユニットピット | 給圧 (MPa) | 回転数 (rpm) | 送水圧 (MPa) | 送水量 (L/分) | 排水量 (L/分) | | | | | | | | | | |
|--------|--------|--------|-----|------|-----|----|--------|----|----|--|----------------|----------------|---------------------------------|------|---------------|-----------------|--------------|------|------|-------------|----------------|-----------|----------|-----------|-----------|-----------|-----------|--|--|--|--|--|--|--|--|--|--|
| 31 | | | | 花崗斑岩 | 明褐色 | Eg | | | | 30.17~30.50m: マンガン鉱染付。 30.30~30.53m: 石灰多く晶出(一部は鉄質による2次石灰と推定される)。 30.38m: 傾斜5°で幅1~2mmの石灰脈を不連続に挟む。 30.74~32.48m: CL 硬さ(DI)上は傾斜30°から30m間は部分的に硬さ(圧縮強度)が異なる。硬さは部分的に硬さ(圧縮強度)が異なる。硬さは部分的に硬さ(圧縮強度)が異なる。 31.05~31.23m: 熱水変質による粘土化変質。粘土変質が強く、前者では白石灰粘土。後者では石灰分脈状~晶洞状に晶出している。また、マンガン現象と酸化汚染も併い存在として黄褐色の美しい色調を呈する。 31.47m: 傾斜35°で幅5~8mmの灰褐色の砂走しリソライトを挟む。 31.70~32.20m: 割れ目沿いの砂状化が僅か。「砂走しり岩片状」を呈する。岩片は長さ10~30mm程度の硬さ(DI)で残存するが全体にやる上下に比べ顕著になる。 32.48~32.70m: D 原岩組織と割れ目はほぼ残存している。 32.70~34.54m: CL 割れ目沿いに厚さ1~2mm程度で薄く砂状化部を伴む。一部で砂状化が進行する部分もある。同質化した石灰石部で70~80°割れ目と交差。 33.17m: 15°割れ目と75°割れ目が5°割れ目で止まっている。15°割れ目には傾斜部が認められる。割れ目周辺の岩質には原岩組織が認められ、割れ目沿いに局部的な割れ目も存在し、厚さ10mm程度の砂状化。 33.40m: 15°割れ目沿いに厚さ20mm砂状化。 33.76m: 5°割れ目沿いに厚さ10mm砂状化。 34.00m以深: 岩質の硬い塊状割れ目も大きく見られる。傾斜5°で厚さ10mm程度の砂状化が認められる。また、割れ目も浸透しかかっている。 34.03m: 40°傾斜2~3mm石灰脈、密着して連続。 34.54~34.55m: 破砕部 34.56~34.58m: 粘土走しり岩片状部(厚) 上傾10~40°で大きく弯曲。下層11°で傾斜的に連続。径5mmの花崗斑岩岩片主体で岩片間は粘土状~砂状を呈する。にぶい黄褐色を呈する。幅40~50mm、傾斜じり粘土体部(厚2~10mm)を伴う。下層部11°で局部的に連続。径10mmの石灰脈を10の程度含む。灰黄褐色を呈する。幅3~4mm。 34.59~35.27m: CL 細片化し黒い砂岩割れ目が多い。10~30°と50~70°の割れ目がみられる。 | 0 50 100 | 0 50 100 | 0 10 20 30 40 50 | | | | | | | | | | | | | | | | | | | | | | | | |
| 32 | | | | 花崗斑岩 | 明褐色 | Eg | | | | | | | | | | | | | | | | | | | | | | | | | | | | | | | |
| 33 | | | | 花崗斑岩 | 明褐色 | Dg | | | | | | | | | | | | | | | | | | | | | | | | | | | | | | | |
| 34 | | | | 花崗斑岩 | 明褐色 | Dg | | | | | | | | | | | | | | | | | | | | | | | | | | | | | | | |

第7.4.4.233図(7) ボーリング調査結果(2号炉原子炉建屋とD-1トレンチの間) コア柱状図(H27-B-1孔)

| 標尺 (m) | 標高 (m) | 深度 (m) | 柱状図 | 岩種区分 | 色調 | 硬軟 | コア形状 | 割れ目の状態 | 風化 | 記 事 | コア採取率 (%) | 最大コア長 R Q D [cm] | 岩 級 区 分 | 孔内水位 (m) 測定月日 | () 値 | () 試験 | 室 内 試 験 | 掘進進度 (m/時) | 掘進月 日 | 給 圧 (KN MPa) | 給 圧 (MPa) | 送 水 量 (L/分) | 送 水 量 (L/分) | 排 水 量 (L/分) | | | |
|--------|--------|--------|-----|------------|----|----------|-------------------|--------|----|-----|---|------------------|----------------|---------------|-------|--------|---------|------------|-------|--------------|-----------|-------------|-------------|-------------|--|--|--|
| | | 36 | | | | Dg Eg | | | | | 35.37~37.15m: D 数化著しく硬さ「E」主体であるが硬 岩組織や割れ目ほぼ残留している。 部分的に硬質岩片を中石的に含む。 | 4 10 | Q _L | | | | | | | | | | | | | | |
| | | | | | | Dg Eg | | | | | 36.09~36.20m: 36.65~36.62m 硬 さ「C」の硬質部が残留する。 | 3 10 | D ₁ | | | | | | | | | | | | | | |
| | | 37 | | 明礬層 基岩層 | | Dg Eg | V ₈ CG | | | | 36.70m以上で径10~20mmの硬さ「D」 ないし「C」の岩片が種々に残留する。 37.15~42.00m: Q _L 0~30°割れ目主体で、割れ目沿いの 一部で砂状化する部分も含む。 | 7 30 | Q _L | | | | | | | | | | | | | | |
| | | 38 | | | | Dg | | | | | 37.80m: 5°割れ目沿い径10~20mm砂 状化。微細な白雲母が検出している。 | 5 10 | Q _L | | | | | | | | | | | | | | |
| | | 39 | | | | Dg | | | | | 38.56~38.74m: 径20~30mmの硬さ「 C」岩片が残留する。 38.26~38.70m: 硬さ「C」の径30~5 0mm岩片が多く残留する。 | 4 10 | Q _L | | | | | | | | | | | | | | |

第7.4.4.233図(8) ボーリング調査結果(2号炉原子炉建屋とD-1トレンチの間) コア柱状図(H27-B-1孔)

| 標尺 (m) | 標高 (m) | 柱状図 | 岩種区分 | 色調 | 硬軟 | コア形状 | 割目の状態 | 変質 | 記 | コア採取率 (%) | 最大コア長 cm | R Q D 区分 | 岩級 | 孔内水位 (cm) 測定日 | () 値 | () 標準貫入 (N値~深度) | () 試験 | 原位試験 (孔内圧測定) | 室内試験 | 掘進速度 (cm/時) | 掘進日 | 回転数 (rpm) | 送水水量 (L/分) | 送水圧 (MPa) | 送水水量 (L/分) | 排水量 (L/分) | | | | | |
|--------|--------|-----|------|------|----|------|-------|----|--|-----------|----------|----------|----|---------------|-------|------------------|--------|--------------|------|-------------|-----|-----------|------------|-----------|------------|-----------|--|--|--|--|--|
| | | | | にぶい層 | Og | | δ 3 | | 50.12~50.15m: 傾斜50° 程度、幅10~20mmで岩片化した赤褐色節を伴う。 | | | | | | | | | | | | | | | | | | | | | | |
| 51 | | | | | Dg | | | | 51.06~51.94m: 割れ目や層理度が低い層を割れ目が多い。薄層割れ目も褐色化している。 51.24~51.60m: 割れ目状岩物は殆んど分厚い。割れ目が細かい。割れ目状岩物は、割れ目状岩物と互に層理した岩質。層々に幅0.6~1mmで露出した石英脈が分布。 | | | | | | | | | | | | | | | | | | | | | | |
| | | | | | | | | | 51.62~15° 割れ目強い厚さ10mmが砂状化。 | | | | | | | | | | | | | | | | | | | | | | |
| 52 | | | 花崗岩 | 灰褐色 | Eg | | | 3 | 51.94~52.72m: D 著しく軟化するが原岩組織と割れ目は残存している。 52.16m: 23° 厚さ2mmの軟褐色粘土を伴む。上端にマンガンを伴う。 52.32~52.50m: 硬さ DJ が主珠。 | | | | | | | | | | | | | | | | | | | | | | |
| 53 | | | | | | | | | ●52.72~52.81m: 破砕部 52.72~52.80m: 粘土産じり岩片状部 用片 上層部: 垂直的に、下層部: 水平に産じり岩片状部 (硬さ DJ) 主珠と岩片間の幅1~2mm脈状~脈2~5mm脈状粘土部からなる。明褐色を呈する。幅40~90mm。 52.80~52.81m: 産じり岩片状部 (幅2~4) で波打って、下層部: 垂直に産じり岩片状部 (硬さ DJ) 主珠と岩片間の幅1~2mm脈状~脈2~5mm脈状粘土部からなる。明褐色を呈する。幅7~10mm。 52.81~53.17m: D 変質し、軟質化している。30~50° 程度の割れ目が見られる。 53.17m: 産じり岩片状部 (幅2) 上下層部で層理的に産出。軟質で、色を呈する。幅2mm。 53.17~53.22m: 粘土産じり岩片状部 (幅2) 上下層部で層理的に産出。軟質で、色を呈する。幅2mm。 53.22~53.45m: Q1 53.45~53.46m: Q1 53.46~53.47m: Q1 53.47~53.48m: Q1 53.48~53.49m: Q1 53.49~53.50m: Q1 53.50~53.51m: Q1 53.51~53.52m: Q1 53.52~53.53m: Q1 53.53~53.54m: Q1 53.54~53.55m: Q1 53.55~53.56m: Q1 53.56~53.57m: Q1 53.57~53.58m: Q1 53.58~53.59m: Q1 53.59~53.60m: Q1 53.60~53.61m: Q1 53.61~53.62m: Q1 53.62~53.63m: Q1 53.63~53.64m: Q1 53.64~53.65m: Q1 53.65~53.66m: Q1 53.66~53.67m: Q1 53.67~53.68m: Q1 53.68~53.69m: Q1 53.69~53.70m: Q1 53.70~53.71m: Q1 53.71~53.72m: Q1 53.72~53.73m: Q1 53.73~53.74m: Q1 53.74~53.75m: Q1 53.75~53.76m: Q1 53.76~53.77m: Q1 53.77~53.78m: Q1 53.78~53.79m: Q1 53.79~53.80m: Q1 53.80~53.81m: Q1 53.81~53.82m: Q1 53.82~53.83m: Q1 53.83~53.84m: Q1 53.84~53.85m: Q1 53.85~53.86m: Q1 53.86~53.87m: Q1 53.87~53.88m: Q1 53.88~53.89m: Q1 53.89~53.90m: Q1 53.90~53.91m: Q1 53.91~53.92m: Q1 53.92~53.93m: Q1 53.93~53.94m: Q1 53.94~53.95m: Q1 53.95~53.96m: Q1 53.96~53.97m: Q1 53.97~53.98m: Q1 53.98~53.99m: Q1 53.99~54.00m: Q1 | | | | | | | | | | | | | | | | | | | | | | |
| 54 | | | | にぶい層 | | | | | 53.83~54.00m: 産出でレンズ状の石英も分布する。 54.00~54.60m: 石英脈ないし割れ目状に砂状化し、全体がやや脆くなる。また同区間ではマンガン脈も伴い黒褐色を帯びる。 54.82m: 傾斜50° で幅2mm以下の黄褐色粘土を伴む。層理は一部褐色化する。 | | | | | | | | | | | | | | | | | | | | | | |

第7.4.4.233図 (11) ボーリング調査結果 (2号原子炉建屋とD-1トレンチの間) コア柱状図 (H27-B-1孔)

| 標尺 (m) | 深度 (m) | 柱状図 | 岩種区分 | 色調軟状 | 硬軟状 | 割れ目の形状 | 変質 | 記 | コア採取率 最大コア長 R Q D L [%] | 岩級区分 | 孔内水位 (m) 測定月日 | 標準貫入 (N値~深度) 試験 | | 室内進月日 | 掘進速度 (cm/時) | 孔径 (mm) / 孔壁保護 | 回転数 (rpm) | 送水量 (L/分) | 排水量 (L/分) | | |
|--------|--------|--------|------|------|-----|--------|----|--|----------------------------------|------|---------------|-----------------|---|-------|-------------|----------------|-----------|-----------|-----------|--|--|
| | | | | | | | | | | | | (N) | 値 | | | | | | | | |
| 56 | | [Grid] | 花崗岩類 | Dg | Ve | Eg | | 55.00m 傾斜60°で幅2mmのマンガンを採む。 55.25m 55°のシャワーで直線的な割れ目を露とし、55.25~56.60mは硬さ「C」で硬質となる。ただし、割れ目沿いの一部では風化で砂状化を伴う。粘土を採んでいるところが多い。 | 7 0 | | | | | | | | | | | | |
| | | | | | | | | | | | | | | | | | | | | | |
| 57 | | [Grid] | 花崗岩類 | Eg | Ve | Eg | | 56.49~56.47m: 35~40°割れ目沿いに軟化し、硬さ「D」を呈する。 56.66~56.84m: D 風化で割った砂状化を呈する。径10~20mmの硬さ「D」の岩片が散在して露する。 56.84~58.77m: Qd 58.84~57.50m: 硬さ「D」岩片主体で、一部に硬さ「E」が露する。 | 9 0 | | | | | | | | | | | | |
| | | | | | | | | | | | | | | | | | | | | | |
| 58 | | [Grid] | 花崗岩類 | Eg | Ve | Eg | 3 | 57.30m以降では、割れ目沿いに風化・砂状化が認め、 57.75~57.90m: コアシャワー引上げ時に連続コア化したものを推定される。 57.90~58.34m: 硬さ「C」岩片主体。 57.90m及び58.05mにそれぞれ45°・50°の割れ目沿いに連続して分布する。57.90mの割れ目は軟質でマンガンを採受する。 58.20m: 割れ目直交部周辺で砂状化。 58.26~58.77m: 硬さ「D」岩片主体。一部割れ目沿いで砂状化が認め、割れ目が消滅しかかっているものがある。 | 9 0 | | | | | | | | | | | | |
| | | | | | | | | | | | | | | | | | | | | | |
| 59 | | [Grid] | 花崗岩類 | Eg | Ve | Eg | | 58.77~59.82m: D 風化で割し軟化した砂状化部が主体。所々粗面や割れ目ば露出し、粘土や灰白色の粘土脈を採んでいる。 59.18m: 20°、厚さ5mmの軟質な灰白色粘土脈。 59.28~59.48m: コアの採取により割れ目が消滅している。 | 2 0 | | | | | | | | | | | | |
| | | | | | | | | | | | | | | | | | | | | | |
| | | [Grid] | 花崗岩類 | Dg | Ve | Eg | 3 | 59.60~59.65m: 3本のほぼ平行な割れ目が55°前後で分布。砂や灰白色の粘土脈露(厚0.5~1mm)採む。 ●59.82~59.85m: 粘弾性 (Dc1) ●59.82~59.85m: 粘土産じり岩片状部上露22°。一部不明瞭で採行って、下露28°で直線的に露れ。径2~5mmの石英、径5~10mm粘土岩片と粘土化した岩片層からなる。にぶい褐色を呈する。幅30mm程度。 ●59.82~59.85m: 下露28° (Dc-1)。 ●59.82~59.85m: 下露28° (Dc-1)をわずかに (5%以下) 含む。灰褐色~灰白色を呈し、縞状構造がみられる。幅5~7mm。 59.85~60.99m: Qd | | | | | | | | | | | | | |
| | | | | | | | | | | | | | | | | | | | | | |

第7.4.4.233図 (12) ボーリング調査結果 (2号原子炉建屋とD-1トレンチの間) コア柱状図 (H27-B-1孔)

| 標尺 (m) | 深度 (m) | 柱状図 | 岩種区分 | 色調 | 硬軟 | 割れ目の形状 | 変質 | 記 | コア採取層 (%) | 岩級区分 | 孔内水位測定方法 | 試験値 (N) | 標準貫入 (N値~深さ) | 試験図 | 室内試験 (圧入係数) | 掘進速度 (cm/時) | 掘進月日 | 孔径 (mm) / 孔壁保護 | 子ユニット | 給圧 (kN・MPa) | 回転数 (rpm) | 送水水量 (L/分) | 送水圧 (MPa) | 排水量 (L/分) | | | | | | | |
|--------|--------|-------------|-----------------------|----------|------|--------|---|------------------------|------------------------|------------------------|--|----------------------|---------------------------------|----------------------|---|----------------|----------------|---------------------------------|----------------|----------------|---------------------------------|------------|-----------|-----------|--|--|--|--|--|--|--|
| 61 | | 花崗岩 にふい種 | Dg Vε CG δ 3 | Dg CG | IIIε | Y 2 | 60.54m付近は割れ目沿いに風化が進み、塊さ「E」も含まれている。 60.54m以深は塊砂となり塊さ「C」が主体である。脈帯では、割れ目沿いにマンガン脈状を伴う。 60.32~60.46m間は黄色味を帯びる。 60.99~61.39m : GH 堅硬。割れ目に球状物含まない。 | 2 [3] | 0 50 100 | 0 50 100 | 0 50 100 | 0 50 100 | 0 10 20 30 40 50 | | | | | | | | | | | | | | | | | | |
| 62 | | | | | | | | Bg IVε | Bg IVε | Bg IVε | 62.55~62.57m : 互いに直交する割れ目交差部で一部細片化するが、砂状化や粘土化による劣化は伴わない。 62.82~63.61m : 岩片状固いが塊さ「E」も、割れ目沿いに細さ10mm程度砂状~塊状も伴体化する。粘土化部や粘土層は残まない。 | 10 [10] | 0 50 100 | 0 50 100 | 0 50 100 | 0 50 100 | 0 50 100 | 0 10 20 30 40 50 | | | | | | | | | | | | | |
| 63 | | | | | | | | | | | | Eg VIε CG ε | Eg VIε CG ε | Eg VIε CG ε | 63.61~64.00m : D 割れ目沿いの風化が著しく進み砂状化する。径10~60mm塊さ「D」「C」葉片が露出し、「砂塵状」層する。一部で割れ目が露出している。 63.90~63.94m : 50° 層1~2mm片状脈帯が 64.00~64.33m : GJ 64.33~65.07m : CM 割れ目の多くは割れ目沿いに薄く砂状化する。 | 10 [10] | 0 50 100 | 0 50 100 | 0 50 100 | 0 50 100 | 0 10 20 30 40 50 | | | | | | | | | | |
| 64 | | | | | | | | Bg IVε CG δ 2 | Bg IVε CG δ 2 | Bg IVε CG δ 2 | 64.33~65.07m : CM 割れ目の多くは割れ目沿いに薄く砂状化する。 | | | | | 16 [16] | 0 50 100 | 0 50 100 | 0 50 100 | 0 50 100 | 0 10 20 30 40 50 | | | | | | | | | | |

第7.4.4.233図 (13) ボーリング調査結果 (2号炉原子炉建屋とD-1トレンチの間) コア柱状図 (H27-B-1孔)

| 標尺 (m) | 標高 (m) | 柱状図 | 岩種区分 | 色調 | 硬軟 | コア形状 | 割目形状 | 変質 | 記 | コア採取率 (%) | 最大コア長 cm | R Q D [%] | 孔内水位 (m) 測定日 | () 値 | () 試験 | 室内試験 | 掘進速度 (cm/時) | 掘進日 | 孔径 (mm) / 孔壁保護 | コアチップ / ビット | 給圧 (kN / 層a) | 回転数 (rpm) | 送水水量 (L/分) | 排水水量 (L/分) | 排水量 (L/分) | | | | |
|--------|--------|-----|------|------------------|--------|------|------|----|---|---|----------|-----------|--------------|-------|--------|------|-------------|-----|----------------|-------------|--------------|-----------|------------|------------|-----------|--|--|--|--|
| 66 | | | 粘板岩 | に 六 色 煙 | Bg IVε | δ | 2 | | 65.22~65.50m: 40° と 70° 割れ目が交差し、径10~20mmと風化砂状部が拡大している。また、わずかながら白色粘土や繊維状の黄鉄鉱、セリサイトも伴っている。 | 10 | 100 | | | | | | | | | | | | | | | | | | |
| 66 | | | | | Og Vε | γ | | | | 65.90m: 径20mmと大型な石英斑晶が露出。 66.07~66.50m: Q1 風化した砂岩割れ目や密着度の低い割れ目が多く、ハンマーの敲打で細片化する。 | 9 | 100 | | | | | | | | | | | | | | | | | |
| 67 | | | | | Bg IVε | δ | | | | 66.60~67.14m: D 66.5~20mmの砂岩片と風化による砂状部からなり、砂岩状を呈する。 66.85m以下では膠着組織や割れ目の一部も露出する。また、部分的に灰白~茶褐色粘土も点在する。 66.97m: 径約55° で幅1~5mmの黄灰色粘土を伴む。 67.14~67.27m: Q1 50° 割れ目沿いに軟化が進む。 67.27~67.80m: QM 割れ目沿いに軟化するものが多い。 67.40~67.47m: 径5°~10mmに砕片角を伴う。 68.15~68.50m: QM 割れ目に粘土物は分布しない。 | 9 | 100 | | | | | | | | | | | | | | | | | |
| 68 | | | 粘板岩 | に 六 色 煙 | Eg Vε | ε | 3 | | 67.80~67.93m: D 50~60° 割れ目沿いに砂状化し、径10mm程度薄片を含む砂岩状を呈する。 67.93~68.15m: Q1 45° 割れ目沿いに薄い砂状化部を伴う。 68.15~68.50m: QM 割れ目に粘土物は分布しない。 | 12 | 100 | | | | | | | | | | | | | | | | | | |
| 68 | | | | | Og Vε | δ | | | | 68.46~68.49m: コアチップ引き上げ時に、粘板岩の割れ目沿いに砂状化しているが、粘土は含まれない。 68.60~68.65m: D 軟化著しい塊さ「F」であるが、膠着組織や割れ目は明確に露出している。 68.60~68.65m: コアチップ引き上げ時の深部で砂状化している。 68.96~68.98mmは硬さの検査部を伴む。 68.96~69.00m: 風化が著しく明黄色の色を呈する。 69.05~69.50m: Q1 30~50° 割れ目主体、密着度の低い滑り割れ目も多く含む。割れ目沿いに多量に細粒と塊を伴う砂状化することになる。 69.07~69.10m: 径20mmでマンガンが露出する。 69.56~69.70m: D 少量の白色粘土層を伴う。 | 12 | 100 | | | | | | | | | | | | | | | | | |
| 69 | | | | | Bg IVε | γ | 2 | | | 69.70~69.73m: 粘板岩の下部に、他は粘板岩の塊状で、主に黄色色を呈する。径10mm、(H) 69.70~69.73m: 粘土層しり岩片状部(H) | 9 | 100 | | | | | | | | | | | | | | | | | |
| 69 | | | 粘板岩 | に 六 色 煙 | Eg Vε | ε | 3 | | 69.70~69.73m: 粘板岩の下部に、他は粘板岩の塊状で、主に黄色色を呈する。径10mm、(H) 69.70~69.73m: 粘土層しり岩片状部(H) | 9 | 100 | | | | | | | | | | | | | | | | | | |
| 69 | | | | | Og Vε | δ | | | | 上層55° で、下層57° 以上は互層構造的に露出。径3~10mm程度と(粘土層)の存在が表面の一部に認められる。径10mm、(H) 69.73~74.10m: Q1 塊さ「D」と塊さ「C」の区間が交互に出露する。塊さ「D」では割れ目に出露する。塊さ「D」では割れ目に砂などの状在物が分布するが、塊さ「C」区間では状在物はほとんど分布しない。 | 9 | 100 | | | | | | | | | | | | | | | | | |
| 69 | | | | | Bg IVε | γ | 2 | | | | | | | | | | | | | | | | | | | | | | |

第7.4.4.233図 (14) ボーリング調査結果 (2号原子炉建屋とD-1トレンチの間) コア柱状図 (H27-B-1孔)

| 標尺 (m) | 深度 (m) | 柱状図 | 岩種区分 | 色調 | 硬さ | コア硬さ | 割れ目の形状 | 風化 | 記 | コア採取率 (%) | | 岩級区分 | 孔内水位 (m) / 測定日 | 試験 (標準貫入) | | 室内試験 (孔内圧) | 掘進月日 | 掘進速度 (cm/時) | 孔径 (mm) / 孔壁保護 | 回転数 (rpm) | 送水水量 (L/分) | 排水水量 (L/分) | | | | | | | | | | | | | | | | | | | | | |
|--------|--------|-----------|------|--|----|------|--------|----|-----------------------------------|------------|-----------|------|----------------|-----------|---------|------------|------|-------------|----------------|-----------|------------|------------|----|----|----|--|----|---|----|-----|--|--|--|--|--|--|--|--|--|--|--|--|--|
| | | | | | | | | | | 最大コア長 (cm) | R G D [%] | | | (N値) | (N値~深度) | | | | | | | | | | | | | | | | | | | | | | | | | | | | |
| 71 | | [Pattern] | 柱状図 | に淡い緑 | Dg | Vx | bg | δ | 70.06~70.59m: 45° 割れ目沿いに風化で砂状化する。 | 10 | 100 | D | | | | | | | | | | | | | | | | | | | | | | | | | | | | | | | |
| | | | | | | | | | | | | | | | | | | | | | | | | Dg | Vx | bg | γ | 70.43~71.27m: 長さ「C」のみで、70.49~70.59mでは径5mmの白変化した長石が多い。70.59m以上では少ない。 | 10 | 100 | | | | | | | | | | | | | |
| | | | | | | | | | | | | | | | | | | | | | | | | | | | | | | | | | | | | | | | | | | | |
| Dg | Vx | bg | γ | 71.60~71.88m: 長さ「C」の下部には礫が豊富に分布している。 | 10 | 100 | | | | | | | | | | | | | | | | | | | | | | | | | | | | | | | | | | | | | |
| | | | | | | | | | | | | | | | | | | | | | | Dg | Vx | bg | γ | 71.88m: 0~10° 径1mm石英脈が豊富して連続。 | 10 | 100 | | | | | | | | | | | | | | | |
| Dg | Vx | bg | γ | 72.10~72.74m: 長さ「C」区間では礫が豊富に分布している。長石の一部は白濁化する。 | 10 | 100 | | | | | | | | | | | | | | | | | | | | | | | | | | | | | | | | | | | | | |
| | | | | | | | | | | | | | | | | | | | | | | Dg | Vx | bg | γ | 72.74~74.10m: 長さ「D」主体だが、長さ「C」の岩片も含まれている。割れ目沿いに風化、砂状化している。 | 10 | 100 | | | | | | | | | | | | | | | |
| Dg | Vx | bg | γ | 73.35~73.99m: 長さ25~40mmで碎つた砂状化を呈する。変質している。原岩相態は豊富している。 | 10 | 100 | | | | | | | | | | | | | | | | | | | | | | | | | | | | | | | | | | | | | |
| | | | | | | | | | | | | | | | | | | | | | | Dg | Vx | bg | γ | 73.99~74.36m: 30°と60°の割れ目が交差し、径10~50mmの岩片状コアを呈する。 | 10 | 100 | | | | | | | | | | | | | | | |
| Dg | Vx | bg | γ | 74.36~74.59m: 硬砂層 | 10 | 100 | | | | | | | | | | | | | | | | | | | | | | | | | | | | | | | | | | | | | |
| | | | | | | | | | | | | | | | | | | | | | | Dg | Vx | bg | γ | 74.59~74.96m: 硬砂層 (H) 上層27°で層状的に、下層30°で不明瞭に層曲して連続。軟質で、径2~3mm石英粒、粘土化した径5mm岩片を粉10%含む。にふい黄褐色を呈する。 | 10 | 100 | | | | | | | | | | | | | | | |
| Dg | Vx | bg | γ | 74.96~75.33m: 41m: 粘土状層 (Hc-1) 上層30°で、径1mm石英粒をわずかに(5%以下)含む。灰褐色を呈する。幅7mm。 | 10 | 100 | | | | | | | | | | | | | | | | | | | | | | | | | | | | | | | | | | | | | |
| | | | | | | | | | | | | | | | | | | | | | | Dg | Vx | bg | γ | 75.33~75.99m: 硬砂層 (H) 上層30°で、径1mm石英粒をわずかに(5%以下)含む。灰褐色を呈する。幅7mm。 | 10 | 100 | | | | | | | | | | | | | | | |
| Dg | Vx | bg | γ | 75.99~76.59m: D | 10 | 100 | | | | | | | | | | | | | | | | | | | | | | | | | | | | | | | | | | | | | |
| | | | | | | | | | | | | | | | | | | | | | | Dg | Vx | bg | γ | 76.59~77.00m: コア上部引上げ上(径50mm)コアで採取され、割れ目状など不明。 | 10 | 100 | | | | | | | | | | | | | | | |

第7.4.4.233図 (15) ボーリング調査結果 (2号炉原子炉建屋とD-1トレンチの間) コア柱状図 (H27-B-1孔)

| 標尺 (m) | 深度 (m) | 柱状図 | 岩種区分 | 色調 | 硬軟 | 割れ目形状 | 風化状態 | 変質 | 記 | コア採取率 (%) | | 岩級区分 | 孔内水位 (m) 測定月日 | 原位置試験 (孔内圧載) | 室内試験 | 掘進速度 (cm/時) | 掘進月日 | 細進速度 (cm/時) | 孔径 (mm) / 孔壁保護 | コアチップ / ビット | 給圧 (MPa) | 回転数 (rpm) | 送水量 (L/分) | 排水量 (L/分) | | |
|--------|--------|-----|-------|-----|----|-------|------|----|---|------------|-------------|------|---------------|--------------|------|-------------|------|-------------|----------------|-------------|----------|-----------|-----------|-----------|--|--|
| | | | | | | | | | | 最大コア長 (cm) | R Q D [%] | | | | | | | | | | | | | | | |
| 76 | | | 花崗閃長岩 | 灰褐色 | Eg | Vf | δ | 3 | 75.00~75.5m: 原岩組織は整理しているが、多くの割れ目は消滅している。 75.57~76.00m: 破砕部 76.00~76.1m: 粘土混じり岩片状部 (H) 76.11~76.72m: 細粒じり粘土状部 (H) 76.73~76.83m: 硬質粘土状部 (H) 76.84~76.94m: 硬質粘土状部 (H) 76.95~77.00m: 硬質粘土状部 (H) 77.01~77.10m: 硬質粘土状部 (H) 77.11~77.20m: 硬質粘土状部 (H) 77.21~77.30m: 硬質粘土状部 (H) 77.31~77.40m: 硬質粘土状部 (H) 77.41~77.50m: 硬質粘土状部 (H) 77.51~77.60m: 硬質粘土状部 (H) 77.61~77.70m: 硬質粘土状部 (H) 77.71~77.80m: 硬質粘土状部 (H) 77.81~77.90m: 硬質粘土状部 (H) 77.91~78.00m: 硬質粘土状部 (H) | 3 0 | 100 | D | | | | | | | | | | | | | | |
| | | | | | | | | | | | | | | | | | | | | | | | | | | |
| 77 | | | 花崗閃長岩 | 灰褐色 | Eg | Vf | δ | 3 | 75.00~75.5m: 原岩組織は整理しているが、多くの割れ目は消滅している。 75.57~76.00m: 破砕部 76.00~76.1m: 粘土混じり岩片状部 (H) 76.11~76.72m: 細粒じり粘土状部 (H) 76.73~76.83m: 硬質粘土状部 (H) 76.84~76.94m: 硬質粘土状部 (H) 76.95~77.00m: 硬質粘土状部 (H) 77.01~77.10m: 硬質粘土状部 (H) 77.11~77.20m: 硬質粘土状部 (H) 77.21~77.30m: 硬質粘土状部 (H) 77.31~77.40m: 硬質粘土状部 (H) 77.41~77.50m: 硬質粘土状部 (H) 77.51~77.60m: 硬質粘土状部 (H) 77.61~77.70m: 硬質粘土状部 (H) 77.71~77.80m: 硬質粘土状部 (H) 77.81~77.90m: 硬質粘土状部 (H) 77.91~78.00m: 硬質粘土状部 (H) | 3 0 | 100 | D | | | | | | | | | | | | | | |
| | | | | | | | | | | | | | | | | | | | | | | | | | | |
| 78 | | | 花崗閃長岩 | 灰褐色 | Eg | Vf | δ | 3 | 75.00~75.5m: 原岩組織は整理しているが、多くの割れ目は消滅している。 75.57~76.00m: 破砕部 76.00~76.1m: 粘土混じり岩片状部 (H) 76.11~76.72m: 細粒じり粘土状部 (H) 76.73~76.83m: 硬質粘土状部 (H) 76.84~76.94m: 硬質粘土状部 (H) 76.95~77.00m: 硬質粘土状部 (H) 77.01~77.10m: 硬質粘土状部 (H) 77.11~77.20m: 硬質粘土状部 (H) 77.21~77.30m: 硬質粘土状部 (H) 77.31~77.40m: 硬質粘土状部 (H) 77.41~77.50m: 硬質粘土状部 (H) 77.51~77.60m: 硬質粘土状部 (H) 77.61~77.70m: 硬質粘土状部 (H) 77.71~77.80m: 硬質粘土状部 (H) 77.81~77.90m: 硬質粘土状部 (H) 77.91~78.00m: 硬質粘土状部 (H) | 3 0 | 100 | D | | | | | | | | | | | | | | |
| | | | | | | | | | | | | | | | | | | | | | | | | | | |
| 79 | | | 花崗閃長岩 | 灰褐色 | Eg | Vf | δ | 3 | 75.00~75.5m: 原岩組織は整理しているが、多くの割れ目は消滅している。 75.57~76.00m: 破砕部 76.00~76.1m: 粘土混じり岩片状部 (H) 76.11~76.72m: 細粒じり粘土状部 (H) 76.73~76.83m: 硬質粘土状部 (H) 76.84~76.94m: 硬質粘土状部 (H) 76.95~77.00m: 硬質粘土状部 (H) 77.01~77.10m: 硬質粘土状部 (H) 77.11~77.20m: 硬質粘土状部 (H) 77.21~77.30m: 硬質粘土状部 (H) 77.31~77.40m: 硬質粘土状部 (H) 77.41~77.50m: 硬質粘土状部 (H) 77.51~77.60m: 硬質粘土状部 (H) 77.61~77.70m: 硬質粘土状部 (H) 77.71~77.80m: 硬質粘土状部 (H) 77.81~77.90m: 硬質粘土状部 (H) 77.91~78.00m: 硬質粘土状部 (H) | 3 0 | 100 | D | | | | | | | | | | | | | | |
| | | | | | | | | | | | | | | | | | | | | | | | | | | |

第7.4.4.233図 (16) ボーリング調査結果 (2号原子炉建屋とD-1トレンチの間) コア柱状図 (H27-B-1孔)

| 標尺 (m) | 標高 (m) | 柱状図 | 岩種区分 | 色調軟化質 | コア形状 | 割れ目の状態 | 風化 | 記 | コア採取率 (%) | 岩級区分 | 孔内水位 (m) 測定月日 | () 値 | () 標準貫入 (N値~深度) | () 試験 | 原位試験 (孔壁保護) | 室内試験 | 掘進月日 | 掘進速度 (m/時) | 孔径 (mm) / 孔壁保護 | コアチップ/ビット | 給送圧 (MPa) | 回転数 (rpm) | 送水圧 (MPa) | 送水量 (L/分) | 排水量 (L/分) | | | |
|--------|--------|-----|------|-------|------|--------|----|--|-----------|------|---------------|-------|------------------|--------|-------------|------|------|------------|----------------|-----------|-----------|-----------|-----------|-----------|-----------|--|--|--|
| 81 | | | 砂岩 | Dg | VE | γ | | 80.30~80.40m: 割れ目沿いに砂状化が進む。 80.30~80.35m: コアチューブ引上げ時に発生した角礫状コア。 80.66~81.0m: 長さ「D」中に長さ「G」の82~50mm厚の断片的に分布。80°前後の高角度割れ目が多い。 | 6 100 | | | | | | | | | | | | | | | | | | | |
| 82 | | | 砂岩 | Dg | VE | δ | 3 | 81.17m: 55°割れ目に長さ10~15cmで砂と褐色粘土状の塊状物と割れ目沿いに厚0.5cm以下の暗褐色白土母伴う。周辺は厚1cm程度緑色化している。 81.82~81.97m: コアチューブ引上げ部で締った砂層状とする。 81.87~82.5m: 割れ目沿いに砂状化する部分も含まれる。10~30°と50~70°程度の割れ目がみられる。 | 5 100 | | | | | | | | | | | | | | | | | | | |
| 83 | | | 砂岩 | Eg | VE | ε | | 82.51~82.65m: D層に緑化粘土、細砂と褐色粘土、細砂と褐色粘土が層状に分布する。 82.62~82.94m: CL。割れ目沿いに砂状化進む。一部で幅1~2mm白色粘土層状もみられる。 82.94~84.05m: CL。ゆるぎ割れ目や密着度の低い割れ目が多く含まれている。割れ目の傾斜は少ない。30~50°と70~90°の割れ目が0~100mm間隔で分布する。 | 6 100 | | | | | | | | | | | | | | | | | | | |
| 84 | | | 砂岩 | Bg | VE | γ | 2 | 84.07~84.09m: 上層45°、下層65°割れ目で囲まれ、砂状化~層状化する。厚さ1~10mmで厚さ3mmレンズ体の灰黄色軟質粘土とマンガン結晶。 84.09~84.92m: CH。60~80°の高角度の「ゆるぎ割れ目」を伴うが、密着度は高くハンマーの打撃でも分離しない。 84.50m: 36°割れ目。コアチューブ引き上げ時の震動により割れ目交差部で一部は粘土コア、岩片自身は密着で硬化や粘土付着は行わない。 84.92~85.38m: CL。下部軟弱部の厚さ約5cm厚のせん断方向の50~60°割れ目やゆるぎ割れ目が多い。 | 16 100 | | | | | | | | | | | | | | | | | | | |

第7.4.4.233図 (17) ボーリング調査結果 (2号原子炉建屋とD-1トレンチの間) コア柱状図 (H27-B-1孔)

| 標尺 (m) | 標高 (m) | 柱状図 | 岩種区分 | 色調 | 硬軟 | コア形状 | 割れ目の状態 | 風化管 | 家 | 記 | コア採取率 (%) | 最大コア長 cm | R Q D [%] | 岩級区分 | 孔内水位 (m) 測定月日 | (N) 値 | (N 値 ~ 深度) 図 | 試験 | 原位試験 (孔内圧縮) | 室内試験 | 締め進捗月日 | 締め進捗度 (cm/時) | 孔径 (mm) / 孔壁保護 | コアチップ / ヒット | 給圧 (MPa) | 回転数 (rpm) | 送水圧 (MPa) | 送水量 (L/分) | 排水量 (L/分) | | | |
|--------|--------|-----|-------|-------|----|------|----------|-----|---|---|-----------|----------|-------------|------|---------------|---------|----------------|----|---------------|------|--------|--------------|----------------|-------------|----------|-----------|-----------|-----------|-----------|--|--|--|
| 96 | 96.00 | | アフライト | 灰褐色 | Bg | Vz | 0 3 | | | 95.22~95.25m: 割れ目沿いに砂状化・マンガン伴う。 95.30~95.45m: 緑色帯びる。 95.85~96.55m: CM 深さ (R) と深いが、密着度の低い割れ目が多く、一部で細片化する。傾斜10~20°とそれと直交する50°の割れ目がみられる。 96.00~96.10m: 割れ目沿いに幅1~2mm砂状化し、灰白色土層も挟む。 | 0 | 100 | CL | | | | | | | | | | | | | | | | | | | |
| 97 | 97.00 | | アフライト | 灰褐色 | Bg | Vz | eg 7 2 | | | 96.58~97.11m: CL 傾斜50°程度の割れ目が多く、一部に傾1mmの灰白色粘土や砂状化した部分を挟む。 96.71~96.76m: 傾斜50°の割れ目が密集し細片化する。コアは軟質である。 97.00~97.10m: 花崗岩塊状の粗粒な塊状構造を呈している。所々、アフライトを挟む。 | 0 | 100 | CL | | | | | | | | | | | | | | | | | | | |
| 98 | 98.00 | | 花崗斑岩 | にんじいろ | Bg | Vz | ε 4 | | | 97.57~101.85m: アフライトを挟む。花崗斑岩との境界は上層45°の割れ目、下層90°で付着している。 97.57~97.88m: D 層部であるが、全体の傾向は傾斜50°の50°の傾斜を呈する。花崗斑岩が分布全体にマンガン脈を挟み、97.71~97.85m間は大きく割れ目が密着する。 97.88~100.51m: CM 傾斜50°程度の割れ目が多く、一部に傾1mmの灰白色粘土や砂状化した部分を挟む。0.5cm以上の割れ目が多く、10cm以上の柱状コアはごくわずか。割れ目縁はほとんど認められない。 97.88~101.00m: 割れ目沿いに砂化・マンガン汚染がみられる。 | 0 | 100 | CL | | | | | | | | | | | | | | | | | | | |
| 99 | 99.00 | | アフライト | 灰褐色 | Bg | Vz | Bg 12ε 2 | | | 99.03m: 35°割れ目に軟質な黄鉄鉱が偏出している。 | 0 | 100 | CL | | | | | | | | | | | | | | | | | | | |

第7.4.4.233図 (20) ボーリング調査結果 (2号炉原子炉建屋とD-1トレンチの間) コア柱状図 (H27-B-1孔)

| 標尺 (m) | 標高 (m) | 深度 (m) | 柱状図 | 岩種区分 | 色調 | 硬軟 | 割れ目の形状 | 風変質 | 記 | コア採取率 (%) | 岩級区分 | 孔内水位 (cm) 測定日 | () 標準貫入 (N値~深度) 図 | 原位試験 (室内圧縮) | 室内試験 | 掘進月日 | 掘進速度 (cm/時) | 孔径 (mm) / 孔壁保護 | コアチップ | 給圧 (MPa) | 回転数 (rpm) | 送水水量 (L/分) | 排水水量 (L/分) | |
|--------|--------|--------|------|------|----------------|-----------------|----------------|-----|---|-----------|------|---------------|----------------------|---------------|------|------|-------------|----------------|-------|----------|-----------|------------|------------|---|
| 106 | -56.90 | 106.54 | [77] | 花崗岩 | B _g | IV _E | B _g | 2 | 106.52~106.75m: 65° 割れ目は幅1.5mmの褐色粘土割れ目。割れ目は伴わない。 106.72m: 傾斜60°で幅1mmの緑灰色粘土を挟む。 | 100 | CH | | | | | | | | | | | | | |
| | | | | | | | | | | | | | | | | | | | | | | | | 106.52~106.75m: 65° 割れ目は幅1.5mmの褐色粘土割れ目。割れ目は伴わない。 106.72m: 傾斜60°で幅1mmの緑灰色粘土を挟む。 |
| 107 | -56.90 | 107.64 | [77] | 花崗岩 | B _g | IV _E | B _g | 2 | 106.52~106.75m: 所々、長石の結晶化が認められる。割れ目は幅5mmが細片化する。粘土は伴わない。 107.40~107.83m: CH 107.52~107.55m: 各々40°、53° 割れ目に面まれ層片化~砂状化する。粘土は伴わない。 107.52~107.74m: CH 風化で割れ目沿いに軟化が進む。 | 100 | CH | | | | | | | | | | | | | |
| | | | | | | | | | | | | | | | | | | | | | | | | |
| 108 | -56.88 | 108.76 | [77] | 花崗岩 | B _g | IV _E | B _g | 2 | 108.20m: 50° 割れ目と周辺の割れ目はマンガン結晶を受ける。 108.24~108.38m: CH 硬質であるが、砂割れ目や軟弱度が増える。割れ目は幅5mmの層片化の割れ目が多い。割れ目には粘土がほとんど分布しない。 108.64~108.76m: アブライト新巻鉄心土層。本層とも50°程度で露脊は明確で伴っている。 | 100 | CH | | | | | | | | | | | | | |
| | | | | | | | | | | | | | | | | | | | | | | | | |
| 109 | -56.88 | 109.60 | [77] | 花崗岩 | B _g | IV _E | B _g | 2 | 109.00~109.14mと109.41~109.60m間は割れ目が密集し、長さ10~30mm主体の塊状層片化している。 | 100 | CH | | | | | | | | | | | | | |
| | | | | | | | | | | | | | | | | | | | | | | | | 109.00~109.14mと109.41~109.60m間は割れ目が密集し、長さ10~30mm主体の塊状層片化している。 |

第7.4.4.233図 (22) ボーリング調査結果 (2号炉原子炉建屋とD-1トレンチの間) コア柱状図 (H27-B-1孔)

| 標尺 (m) | 標高 (m) | 深度 (m) | 柱状図 | 岩種区分 | 色調 | 硬軟 | コア形状 | 風割れ目 | 変質 | 記 | コア採取率 (%) | 岩級区分 | 孔内水位 (m) / 測定月日 | 試験 (標準貫入) 図 | 原位試験 (圧入機等) | 室内試験 | 掘進月日 | 掘進速度 (cm/時) | 孔径 (mm) / 孔壁保護 | コナチュウ / ビット | 給圧 (MPa) | 回転数 (rpm) | 送水圧 (MPa) | 送水量 (L/分) | 排水量 (L/分) | | | | | | | |
|--------|--------|--------|-----------|------|-----|----|------|------|----|---|-----------|------|-----------------|-------------|-------------|------|------|-------------|----------------|-------------|----------|-----------|-----------|-----------|-----------|--|--|--|--|--|--|--|
| -58.07 | 110.72 | 110.72 | [Pattern] | 花崗閃岩 | 褐灰 | Bg | Bg | Bg | | 110.42~112.04m: CM 堅硬で割れ目に挟在物はほとんど分布しない。 110.72~111.54m: アブライト脈を挟む。上層15°で微細割れ、下層45°で放射し。境界は明確で一部分滑し 111.13~111.37mは緑泥石化で暗緑色を呈する。 111.37~111.54mは最大径2mmの石英から成るアブライト。面質は粗く密着し、磁鉄や雲母は含まない。 112.04~112.85m: DL と外に直交。斜交する50~30%の割れ目分布する。一部では磁鉄化する。112.04mは深部は砂状化部分の割れ目自体は風化で薄く砂状化する。粘土化や粘土層は分布しない。全体にマンガン結晶を放射に帯け、割れ目の周辺には薄く磁鉄化する。高角割れ目が発達している。 112.85~113.50m: DL 割れ目沿いに砂状化が進むことが多い。 113.00~113.30m: 消滅したり、消滅しなくなる。割れ目分布が弱くなる。113.30~113.50m: コーナチュウが上層に乱れ、深部コア化している。全体に灰白~灰黄色の粘土層を伴う。 113.51~113.60m: 磁鉄部 ●113.51~113.50m: 粘土層じり岩片状中層部。下層65°でいずれも波打って連続。深部~10mm厚の岩片で、岩片間は薄く粘土化~砂状化する。灰褐色を呈する。層20~35mm。 113.56m: 粘土状部 (Hc-1) 上層65°、下層65°。いずれも小さく波打って連続。深部で層間の粘土層が5mm厚程度。灰褐色を呈する。層1~2mm。 113.56~113.60m: 粘土層じり岩片状部 (H) 上層65°で小さく波打ち、下層65°。層間以下に5mm程度の重層的な軟質粘土層として連続。深部~10mm厚の岩片の間隙に粘土化を呈する。層15~20mm。 113.60~113.70m: D 層2~20mmの重層部を30%程度含む暗褐色砂状部。下層部は2層の層間を元としている。やや磁鉄部を呈する。 113.70~114.00m: 傾斜45°程度の2系割れ目が分布し、一部は砂状化を呈する。 114.00~114.75m: DL 層厚80°と急角度20°の割れ目が交差し層間部以下に岩片を連続させる。一部は層間部に粘土化したものを帯む。 114.75~115.52m: D 風化著しく扁平が砂状化し、砂状化を呈する。一部は層間部に岩片化したものを帯む。 | 0 | 50 | 100 | D' | | | | | | | | | | | | | | | | | | |
| | | | | | | | | | | | | | | | | | | | | | | | | | | | | | | | | |
| -58.07 | 111.54 | 111.54 | [Pattern] | 花崗閃岩 | 明褐灰 | Dg | Dg | Dg | | 112.04~112.85m: DL と外に直交。斜交する50~30%の割れ目分布する。一部では磁鉄化する。112.04mは深部は砂状化部分の割れ目自体は風化で薄く砂状化する。粘土化や粘土層は分布しない。全体にマンガン結晶を放射に帯け、割れ目の周辺には薄く磁鉄化する。高角割れ目が発達している。 112.85~113.50m: DL 割れ目沿いに砂状化が進むことが多い。 113.00~113.30m: 消滅したり、消滅しなくなる。割れ目分布が弱くなる。113.30~113.50m: コーナチュウが上層に乱れ、深部コア化している。全体に灰白~灰黄色の粘土層を伴う。 113.51~113.60m: 磁鉄部 ●113.51~113.50m: 粘土層じり岩片状中層部。下層65°でいずれも波打って連続。深部~10mm厚の岩片で、岩片間は薄く粘土化~砂状化する。灰褐色を呈する。層20~35mm。 113.56m: 粘土状部 (Hc-1) 上層65°、下層65°。いずれも小さく波打って連続。深部で層間の粘土層が5mm厚程度。灰褐色を呈する。層1~2mm。 113.56~113.60m: 粘土層じり岩片状部 (H) 上層65°で小さく波打ち、下層65°。層間以下に5mm程度の重層的な軟質粘土層として連続。深部~10mm厚の岩片の間隙に粘土化を呈する。層15~20mm。 113.60~113.70m: D 層2~20mmの重層部を30%程度含む暗褐色砂状部。下層部は2層の層間を元としている。やや磁鉄部を呈する。 113.70~114.00m: 傾斜45°程度の2系割れ目が分布し、一部は砂状化を呈する。 114.00~114.75m: DL 層厚80°と急角度20°の割れ目が交差し層間部以下に岩片を連続させる。一部は層間部に粘土化したものを帯む。 114.75~115.52m: D 風化著しく扁平が砂状化し、砂状化を呈する。一部は層間部に岩片化したものを帯む。 | 0 | 50 | 100 | D' | | | | | | | | | | | | | | | | | | |
| | | | | | | | | | | | | | | | | | | | | | | | | | | | | | | | | |

第7.4.4.233図 (23) ボーリング調査結果 (2号原子炉建屋とD-1トレンチの間) コア柱状図 (H27-B-1孔)

| 標尺 (m) | 標高 (m) | 深度 (m) | 柱状図 | 岩種区分 | 色調 | 硬さ | 割れ目の形状 | 風変 | 記 | コア採取率 (%) 最大コア長 cm R Q D [%] | 岩級区分 | 孔内水位 (m) / 測定月日 | () 値 () N () N値~深度 | 試験 () 図 | 原位試験 () 内水圧電位 | 室内試験 | 掘進月日 | 掘進速度 (cm / 時) | 細孔径 (mm) / 孔壁保護 | コアチップ / ヒット | 給圧 (MPa) | 回転数 (rpm) | 送水圧 (MPa) | 排水量 (L / 分) | | | |
|--------|--------|--------|-----|------|----|-----|--------|----|---|--------------------------------------|------|-----------------|-----------------------------|----------|----------------|------|------|---------------|-----------------|-------------|----------|-----------|-----------|-------------|--|--|--|
| | | | | | | | | | | | | | | | | | | | | | | | | | | | |
| 121 | | | | | | IVε | | | 120.78~122.00m: GH | | | | | | | | | | | | | | | | | | |
| 122 | | | | | | Bε | | | 121.09~121.16m: アブライト脈を挟む。上層20°で屈曲した明確な境界をもち、面はゆるぎしている。 122.00~122.06m: GH 掘削面の凹凸に開口部が自ずから形成され、掘削面の面はほぼ新鮮で水風化。 122.36m: 傾斜52°、幅5~10mm程度で暗緑色を呈する。 | | | | | | | | | | | | | | | | | | |
| 123 | | | | | | IVε | | | 123.39m: 割れ目の差部で幅2~3mm細片状化するが、風化砂状部や粘土化部は認めない。 | | | | | | | | | | | | | | | | | | |
| 124 | | | | | | | | | 124.54m: 55° 割れ目面に厚さ0.5mm程度の緑色粘土がフィルム状に付着する。 | | | | | | | | | | | | | | | | | | |

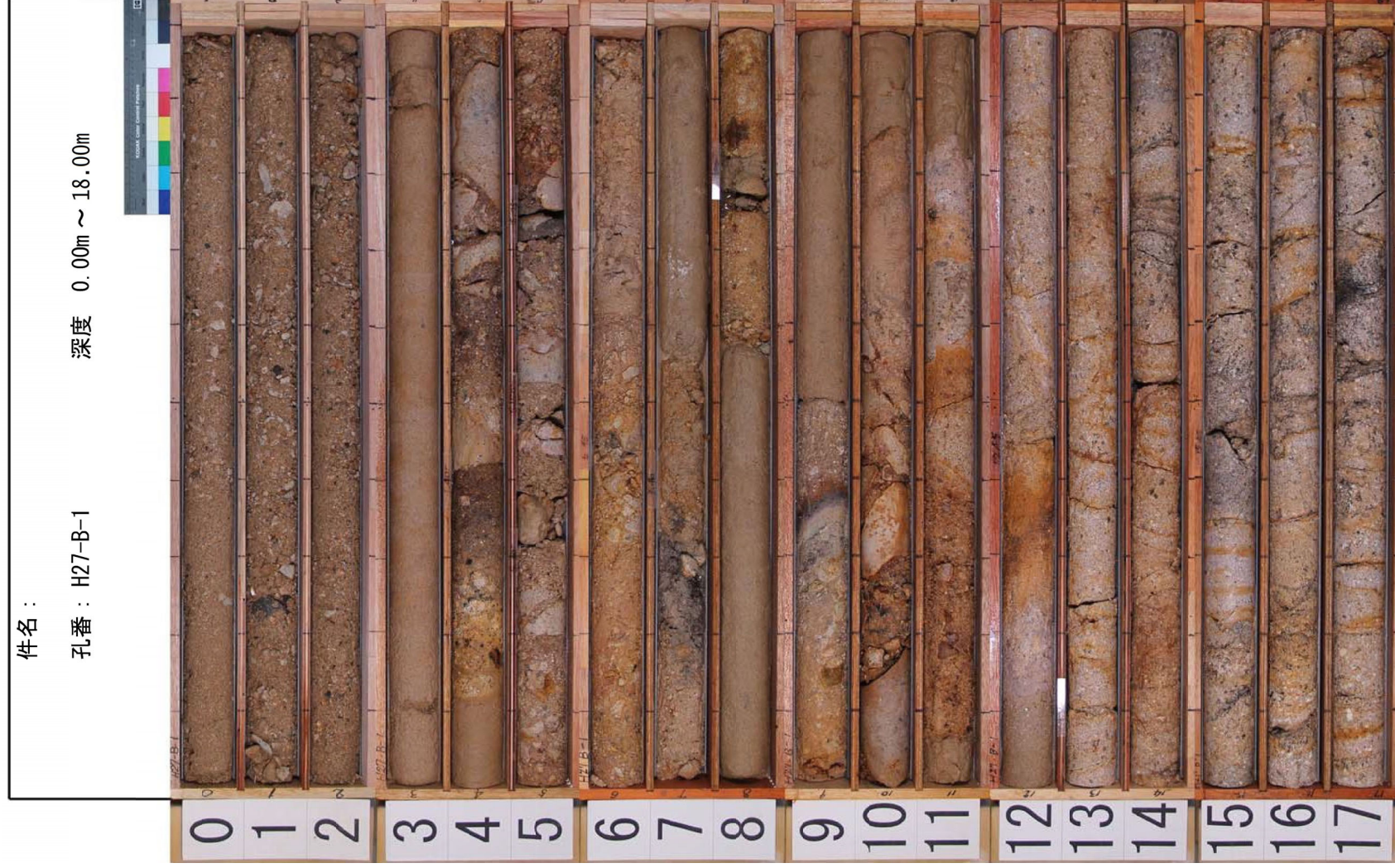
第7.4.4.233図 (25) ボーリング調査結果 (2号炉原子炉建屋とD-1トレンチの間) コア柱状図 (H27-B-1孔)

| 標尺 (m) | 標高 (m) | 柱状図 | 岩種区分 | 色調 | 硬軟 | コア形状 | 割れ目の状態 | 風変質 | 記 | コア採取率 (%) | 岩級区分 | 孔内水位 (m) 測定月日 | (N) 値 | (標準貫入) 試験 (N値~深度) 図 | 原位試験 (圧入係数) | 室内試験 | 掘進月日 | 掘進速度 (cm/時) | 孔径 (mm) / 孔壁保護 | コネクティブ | 給圧 (kN・MPa) | 回転数 (rpm) | 送水圧 (MPa) | 送水量 (L/分) | 排水量 (L/分) |
|--------|--------|-----|------|-------------|----------------|-------------------------------------|----------------|-----|--|-------------------------------|----------------|---------------|-------|---------------------|-------------|------|------|-------------|----------------|--------|-------------|-----------|-----------|-----------|-----------|
| 126 | | | 花崗閃岩 | 褐灰 | B _g | IV _E VE | B _E | β | <p>125.00~125.20m: Q_L 砂著れ目なるから分層・細片化している。砂や粘土は挟まない。</p> <p>125.20~127.00m: O_H 粘り強い。割れ目多量である。砂や粘土の塊状目多量である。ハンマーの打撃で一部は分層・細片化する。ごく一部 (下段127.16~127.25m間) でごく強く風化する以外はほぼ新鮮。未風化。</p> | <p>0</p> <p>50</p> <p>100</p> | O _H | 0 | | | | | | | | | | | | | |
| | | | | | | | | | | | | | | | | | | | | | | | | | |
| 127 | | | 花崗閃岩 | に 小 塊 | B _g | IV _E VE | δ | γ 2 | <p>127.16~127.25m: 径10mm前後で角張化している。下層のO_H・割れ目間に細く10mmで細粒状化し、風化で深褐色化する。</p> <p>127.25~128.00m: O_H 粘り強い。割れ目多量である。砂や粘土の塊状目多量である。ハンマーの打撃で一部は分層・細片化する。ごく一部 (下段128.00~128.04m) で強く風化する以外はほぼ新鮮。未風化。</p> <p>128.04~128.80m: O_H 粘り強い。割れ目多量である。砂や粘土の塊状目多量である。ハンマーの打撃で一部は分層・細片化する。ごく一部 (下段128.80~129.81m) で強く風化する以外はほぼ新鮮。未風化。</p> | <p>0</p> <p>50</p> <p>100</p> | O _H | 0 | | | | | | | | | | | | | |
| | | | | | | | | | | | | | | | | | | | | | | | | | |
| 128 | | | 花崗閃岩 | 灰 質 褐 | B _g | IV _E VE | δ | γ | <p>128.80~129.81m: O_H 粘り強い。割れ目多量である。砂や粘土の塊状目多量である。ハンマーの打撃で一部は分層・細片化する。ごく一部 (下段129.81~131.80m) で強く風化する以外はほぼ新鮮。未風化。</p> | <p>0</p> <p>50</p> <p>100</p> | O _H | 0 | | | | | | | | | | | | | |
| | | | | | | | | | | | | | | | | | | | | | | | | | |
| 129 | | | 花崗閃岩 | 褐灰 | B _g | IV _E III _E | β | β | <p>129.81~131.80m: O_H 粘り強い。割れ目多量である。砂や粘土の塊状目多量である。ハンマーの打撃で一部は分層・細片化する。ごく一部 (下段131.80~133.80m) で強く風化する以外はほぼ新鮮。未風化。</p> | <p>0</p> <p>50</p> <p>100</p> | O _H | 0 | | | | | | | | | | | | | |
| | | | | | | | | | | | | | | | | | | | | | | | | | |

第7.4.4.233図 (26) ボーリング調査結果 (2号原子炉建屋とD-1トレンチの間) コア柱状図 (H27-B-1孔)

| 標尺 (m) | 標高 (m) | 深度 (m) | 柱状図 | 岩種区分 | 色調 | 硬軟 | 割れ目の形状 | 風化 | 記 | コア採取率 (%) | 岩級区分 | 孔内水位 (m) / 測定月日 | (標準貫入) 試験 (N値~深度) | 原位置試験 (孔内圧電圧) | 室内試験 | 掘進月日 | 掘進速度 (cm/時) | 孔径 (mm) / 孔壁保護 | コアチップ / ビット | 給圧 (KN / MPa) | 回転数 (rpm) | 送水圧 (MPa) | 送水量 (L / 分) | 排水量 (L / 分) | | | |
|--------|--------|--------|-----|------|----|----|--------|----|--|-----------|------|-----------------|-------------------|---------------|------|------|-------------|----------------|-------------|---------------|-----------|-----------|-------------|-------------|--|--|--|
| | | | | | | | | | 130.00~140.00m 砂岩層が約10mm間隔で分布。 | | | | | | | | | | | | | | | | | | |
| -131 | | | | | | | | | 131.40~131.52m 径20~30mmに角礫状化しているが、これはロッド引上時に生じた人為的な現象と推定される。 | | | | | | | | | | | | | | | | | | |
| -132 | | | | 花崗斑岩 | 褐色 | Bg | β 2 | | 131.93~138.07m CM 砂岩層れ目や密着後の低い割れ目を多く含んでいる。割れ目の一部は風化で無く砂状部を挟むことがあるが、砂状部がないものも存在する。風化は割れ目面に沿って付着するものが多い。結晶な黄鉄鉱も伴う。同区間は注貫である。 132.18~132.33m アブライト断を採む。上層はコアチップ引き上げ部で本別。下層は10°で明確な塊状をもち、面は砂質している。 | | | | | | | | | | | | | | | | | | |
| -133 | | | | | | | | | 132.20~132.25m アブライト断を採む。上層で割とも傾斜5°で明確な塊状をもち、面は砂質している。 132.40~134.00m 砂岩層れ目状に開口化し、径10mm前後に幅かく狭れている。 | | | | | | | | | | | | | | | | | | |
| -134 | | | | | | | | | 133.82m 60° 割れ目沿い幅20mmが径3~5mmの塊状化しているが、風化に起因する砂や粘土は採んでいない。 134.78m 傾斜35°で幅2mm以下の石英断を採り、一部に白色の塊状を伴う。 134.87~134.91m 傾斜56° 幅25mmで砂化している。 | | | | | | | | | | | | | | | | | | |

第7.4.4.233図 (27) ボーリング調査結果 (2号炉原子炉建屋とD-1トレンチの間) コア柱状図 (H27-B-1孔)



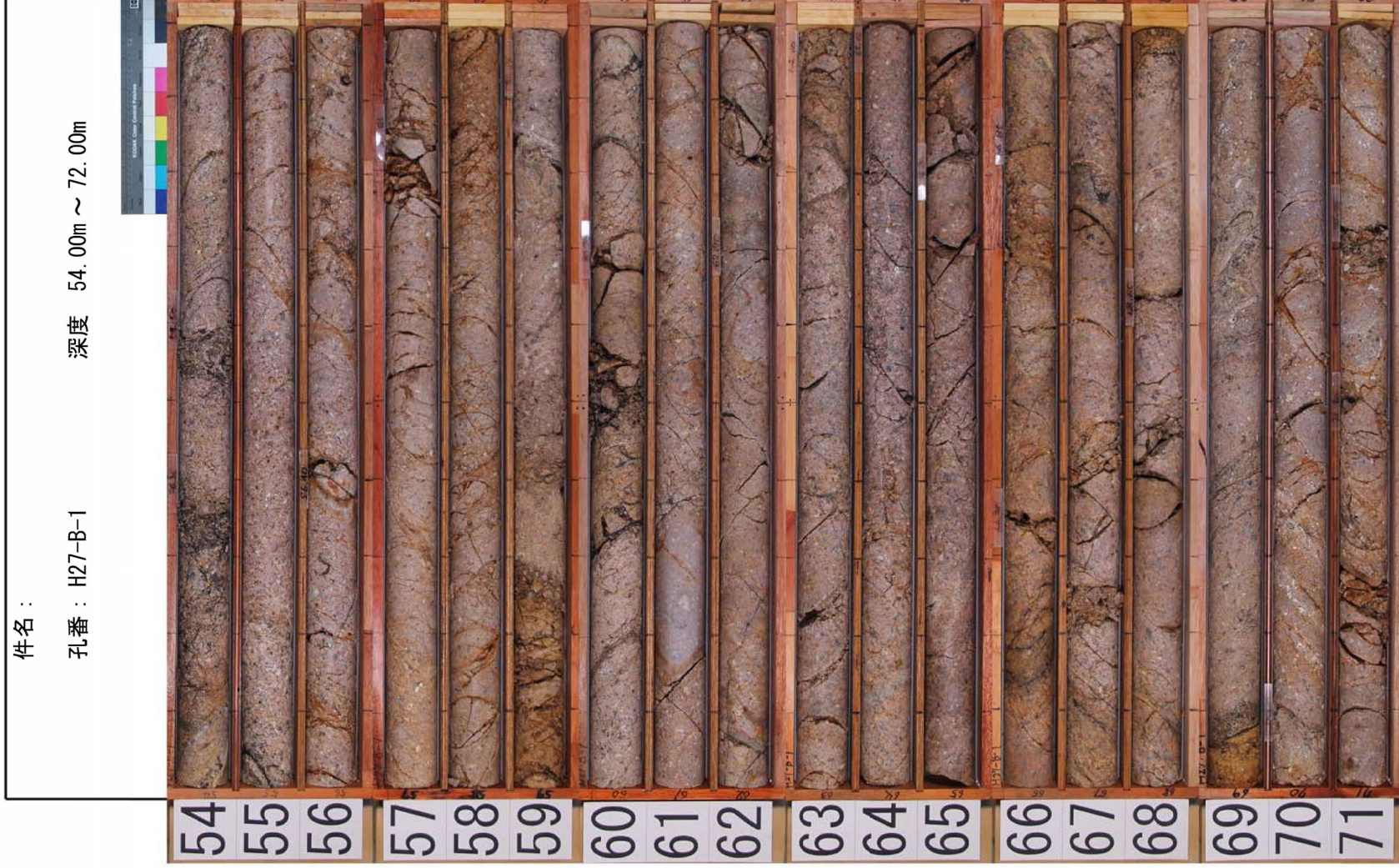
第7.4.4.233図 (29) ボーリング調査結果 (2号炉原子炉建屋とD-1トレンチの間) コア柱状図 (H27-B-1孔)



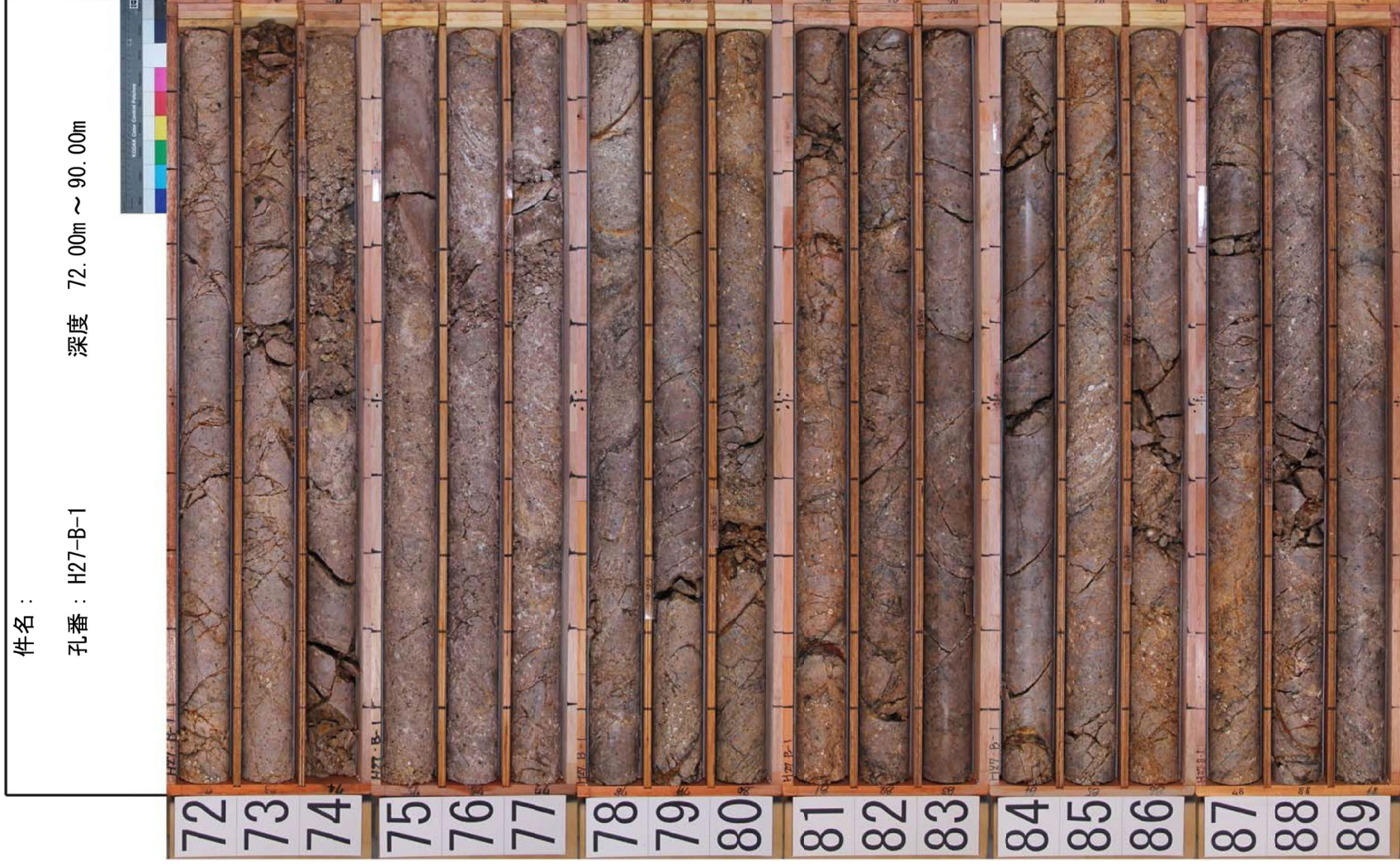
第7.4.4.233図 (30) ボーリング調査結果 (2号炉原子炉建屋とD-1トレンチの間) コア柱状図 (H27-B-1孔)



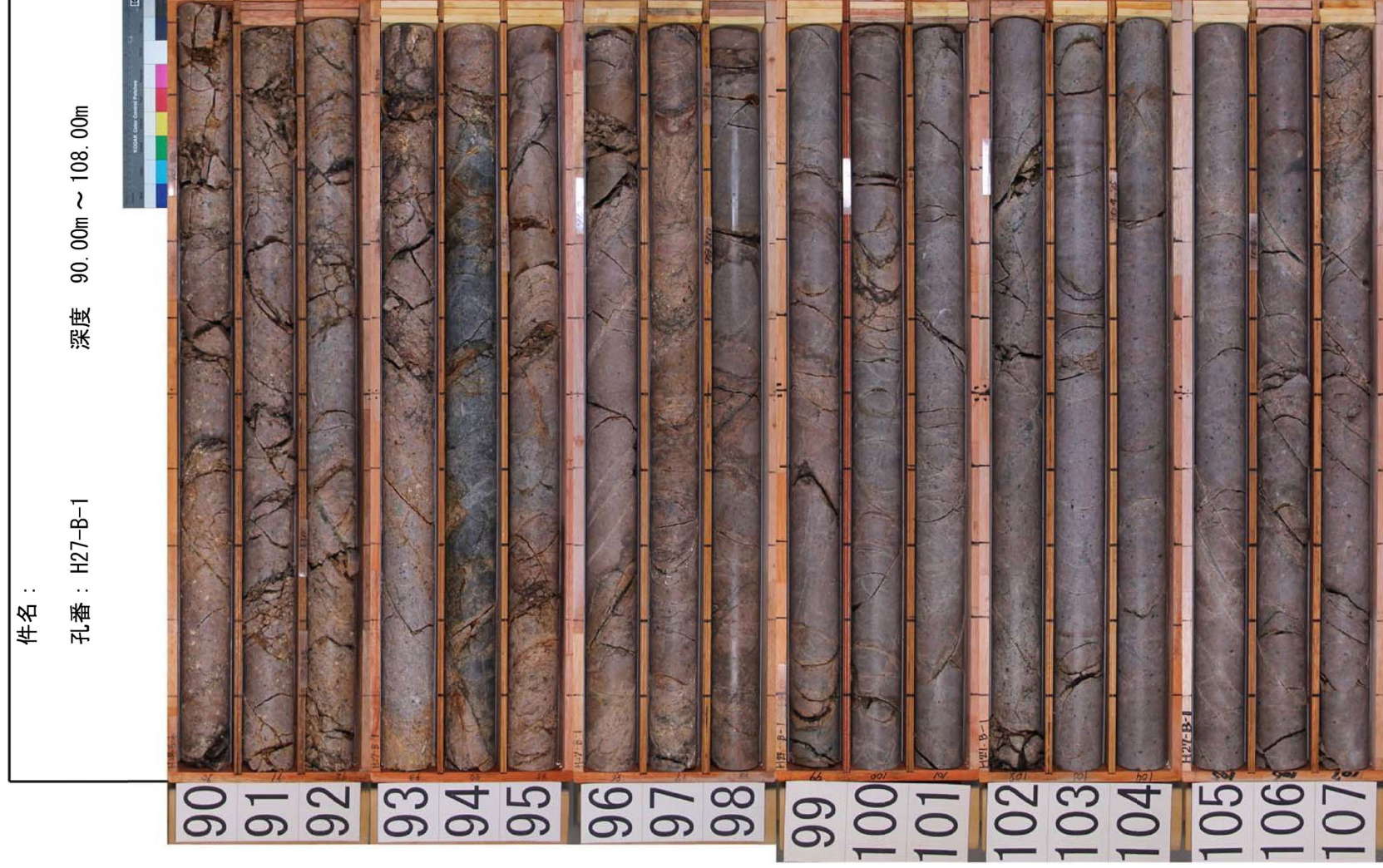
第7.4.4.233図 (31) ボーリング調査結果 (2号炉原子炉建屋とD-1トレンチの間) コア柱状図 (H27-B-1孔)



第7.4.4.233図 (32) ボーリング調査結果 (2号炉原子炉建屋とD-1トレンチの間) コア柱状図 (H27-B-1孔)



第7.4.4.233図 (33) ボーリング調査結果 (2号炉原子炉建屋とD-1トレンチの間) コア柱状図 (H27-B-1孔)



第7.4.4.233図 (34) ボーリング調査結果(2号炉原子炉建屋とD-1トレンチの間) コア柱状図 (H27-B-1孔)



第7.4.4.233図 (35) ボーリング調査結果 (2号炉原子炉建屋とD-1トレンチの間) コア柱状図 (H27-B-1孔)



第7.4.4.233図 (36) ボーリング調査結果 (2号炉原子炉建屋とD-1トレンチの間) コア柱状図 (H27-B-1孔)

| 標尺 (m) | 標高 (m) | 深度 (m) | 柱状図 | 岩種区分 | 色調 | 硬軟 | コア形状 | 割れ目の状態 | 風化 | 記 | コア採取率 (%) | 最大コア長 (cm) | R Q D (%) | 岩級区分 | 孔内水位 (m) / 測定月日 | (N) 値 | (標準貫入) 試験 (N値~深度) 図 | 原位置試験 (孔内貫入) | 室内試験 | 掘進月日 | 掘進速度 (cm/時) | 孔径 (mm) / 孔壁保護 | コアチップ / ヒット | 給圧 (KN/MPa) | 回転数 (rpm) | 送水圧 (MPa) | 送水量 (L/分) | 排水量 (L/分) | | |
|--------|--------|--------|-----|------|-----------|----|------|--------|----|---|-----------|------------|-----------|------|-----------------|---------|-------------------------|----------------|------|------|-------------|----------------|-------------|-------------|-----------|-----------|-----------|-----------|--|--|
| 15.99 | 5.93 | | | コア欠如 | にぶい黄褐色 | | | | | 5.80~7.00m : 砂混じりシルト・凝結砂主体で、6.80~7.00mは細質粗粒砂からなる。 | | | | | | | | | | | | | | | | | | | | |
| 15.04 | 7.17 | | | 壁土 | にぶい黄 灰 | | | | | 7.00~7.12m : 各層が分布する。 7.12~7.17m : 径8cmの花崗斑岩の角片を含む。m、スライム、砂混じりシルトからなる。軟質。 7.41~8.53m : スライム、径10cm以下の花崗岩類の亜角~角状からなる。コアの形状をなしていない。凝結部は露出している。 | | | | | | | | | | | | | | | | | | | | |
| | | | | コア欠如 | にぶい褐色 灰褐色 | | | | | 8.11~8.20m : スライム、ルーミスなシルト質層からなる。 8.53~9.70m : スライム、砂・凝結しりシルトからなる。軟質。下部は凝結物片が混じる。 | | | | | | | | | | | | | | | | | | | | |
| | | | | | 褐色 | | | | | 9.70~9.80m : スライム、径8cmの花崗斑岩の塊からなる。 9.80~10.42m : スライム、砂・凝結しりシルト・凝結しり砂からなる。軟質。凝結物片混じる。塊は径3cm以下の花崗岩類の角塊からなる。 | | | | | | | | | | | | | | | | | | | | |

第7.4.4.234図 (2) ボーリング調査結果 (2号炉原子炉建屋とD-1トレンチの間) コア柱状図 (H27-B-2孔)

| 標尺 (m) | 標高 (m) | 深度 (m) | 柱状図 | 岩種区分 | 色調 | 硬軟 | コア形状 | 割れ目の状態 | 風変 | 記 | コア採取率 (%) | 最大コア長 cm | R Q D [%] | 岩級区分 | 孔内水位 (m) / 測定月日 | 室内試験 | 掘進月日 | 掘進速度 (cm / 時) | 孔徑 (mm) / 孔壁保護 | コアチップ / ビット | 給圧 (MPa) | 回転数 (rpm) | 送水圧 (MPa) | 送水量 (L / 分) | 排水量 (L / 分) | |
|--------|--------|--------|-----------|------|-----|----|------|--------|----|--|-------------|----------|-------------|------|-----------------|------|------|---------------|----------------|-------------|----------|-----------|-----------|-------------|-------------|--|
| 9.44 | 15.00 | 15.00 | コア系に詳しい説明 | 明礬灰 | 明礬灰 | VE | VE | | | 15.82~19.89m: 所々、割れ目に沿ったマンガン濃縮部が見られる。 | 3 | 0 | | | | | | | | | | | | | | |
| -16 | | | | 花崗岩 | 明礬灰 | DE | DE | δ | | 16.50~16.5m: 25° の割れ目に沿って緑泥石が分布する。 | 4 | 0 | | | | | | | | | | | | | | |
| -17 | | | | 花崗岩 | 明礬灰 | DE | DE | δ | | 17.16m以深は上位に比べ割れ目がやや少なくなる。 17.57~17.64m: 35~40° の割れ目に沿って緑泥石が分布する。 | 4 | 0 | | | | | | | | | | | | | | |
| -18 | | | | 花崗岩 | 明礬灰 | DE | DE | δ | | 18.20~18.35m: 20° の割れ目に沿って黄褐色酸化が見られる。 | 10 | 100 | | | | | | | | | | | | | | |
| -19 | | | | 明礬灰 | 明礬灰 | VE | VE | δ | | 18.59m: 10° の割れ目に順1cm程度の褐色の砂状部を含む。 19.59~19.89m: 10mm程度の距離で割れ目が分布し、マンガンと石膏を伴う。 19.70m以深は酸化が進み軟化する。 | 10 | 100 | | | | | | | | | | | | | | |

第7.4.4.234図(4) ボーリング調査結果(2号炉原子炉建屋とD-1トレンチの間) コア柱状図(H27-B-2孔)

| 標尺 (m) | 標高 (m) | 深度 (m) | 柱状図 | 岩種区分 | 色調 | 硬軟 | コア形状 | 割れ目の状態 | 風変 | 記 事 | コア採取率 (%) | 岩 級 区 分 | 孔内水位 (m) / 測定月日 | (N 値) | (標準貫入) 試験 (N 値 ~ 深度) 図 | 原位置試験 (孔内圧電) | 室内試験 | 掘進月日 | 掘進速度 (cm/時) | 孔径 (mm) / 孔壁保護 | コアチップ / ビット | 給 圧 (kN / MPa) | 回転数 (rpm) | 送水水量 (L/分) | 排水水量 (L/分) | | | | | |
|--------|--------|--------|-----|------|----|------------|---------|--------|----|--|-----------|---------|-----------------|---------|----------------------------|--------------|------|------|-------------|----------------|-------------|----------------|-----------|------------|------------|--|--|--|--|--|
| 21 | | | | 花崗岩 | Dk | Dk | IVk | | | 20.25m ~ 30° の割れ目に幅1~5mmの黄灰色が状部を挟む。 20.90m ~ 5° の割れ目沿いに幅約10mm 砂状化を呈する。 | 12 127 | | | | | | | | | | | | | | | | | | | |
| 22 | | | | 明燧灰 | Cg | Bk, Cg, Dg | IVk, Vg | δ | | 21.67m ~ 0° の割れ目に幅1mmの燧灰色粘土を挟む。上部部の幅10mmは深黄褐色を呈する。 21.79 ~ 22.02m: 長さ「C」が主体であるが、長さ「D」も多少混入が交互にみられる。 21.90m: 厚10mmの石灰質層が90° の割れ目で横断される。80° の割れ目は1条ではなく、分岐しており、分岐したそれぞれの割れ目には連続が必要。高角度割れ目には隔壁部が認められる。高角度割れ目周辺の隙間に黄褐色の塊状物も認められる。 22.10 ~ 22.50m: 長さ「B」で観察。 | 8 9 | | | | | | | | | | | | | | | | | | | |
| 23 | | | | 明燧灰 | Dg | Dg | Vk | | | 22.27m ~ 10° の割れ目に幅5mmで黄灰色のやや硬質の砂を挟む。 23.52m ~ 30° と 23.82m ~ 20° の割れ目に幅1mmのやや硬質な灰褐色粘土断を挟む。 | 15 127 | | | | | | | | | | | | | | | | | | | |
| 24 | | | | 明燧灰 | Cg | Cg | IVk | γ | | 23.99m ~ 25° の割れ目に幅5mmの黒灰色シルト質砂を挟む。 | 7 10 | | | | | | | | | | | | | | | | | | | |

第7.4.4.234図 (5) ボーリング調査結果 (2号炉原子炉建屋とD-1 トレンチの間) コア柱状図 (H27-B-2孔)

| 標尺 (m) | 標高 (m) | 深度 (m) | 柱状図 | 岩種区分 | 色調 | 硬軟 | コアの形状 | 割れ目の状態 | 風化 | 変質 | 記 事 | コア採取率 (%) → 最大コア長 cm R Q D [%] | 岩 級 区 分 | 孔内水位 (m) / 測定月日 | (N 値) | (標準貫入) 試験 (N 値 ~ 深度) 図 | 原位置試験 (孔内圧電圧) | 室内試験 | 掘進月日 | 掘進速度 (cm / 時) | 孔径 (mm) / 孔底保護 | コアチップ / ヒット | 給 圧 (MPa) | 回転数 (rpm) | 送水水量 (L / 分) | 送水圧 (MPa) | 排水水量 (L / 分) | | | | | | |
|--------|--------|--------|-----|------|-----|-----------------|-----------------|--------|----|----|---|--|---------|-----------------|---------|-------------------------------|-----------------|------|------|---------------|----------------|-------------|-----------|-----------|--------------|-----------|--------------|--|--|--|--|--|--|
| 26 | | | | | | IV _E | IV _E | γ | | | 25.4m: 20° 割れ目(角)に径0.5~1mmと微細な雲母(セリサイト)が混入している。 26.0m: 20° の割れ目は長さ約2.5~10cmの割れ目となる。一部は断片が認められる。割れ目には硬質部が認められる。割れ目周辺の岩盤には断片が認められる。高角度の割れ目と系統的な割れ目も存在しない。25.30mの高角度割れ目と交差する低角度割れ目には、ずれは認められない。 | 11 (11) | | | | | | | | | | | | | | | | | | | | | |
| 27 | | | | 花崗岩 | 明褐色 | IV _E | IV _E | δ | | | 26.82m以深は硬さ「D」が主体となる。 27.04~27.90m: 割れ目面にマンガンが析出する。 | 7 (7) | | | | | | | | | | | | | | | | | | | | | |
| 28 | | | | | | IV _E | IV _E | δ | | | 27.91m: 20° で幅1mmの石英脈が交差する。割れ目には雲母が認められる。27.82mの割れ目は長さ約2.5~10cmの割れ目となる。一部は断片が認められる。割れ目には硬質部が認められる。割れ目周辺の岩盤には断片が認められる。高角度の割れ目と系統的な割れ目も存在しない。28.02m以深、10m間隔の風化した割れ目が発達し、片状~塊状化している。割れ目(角)に径0.5~1mmと微細な雲母(セリサイト)が混入している。28.24~28.64m: 割れ目に沿った風化した雲母が認められる。 28.55m: 25° の割れ目に幅10mmの硬質な黄灰色シルト質砂を挟む。 | 9 (9) | | | | | | | | | | | | | | | | | | | | | |
| 29 | | | | | | IV _E | IV _E | δ | | | 29.19m: 50° の割れ目に幅2mmの灰白色粘土を挟む。 | 3 (3) | | | | | | | | | | | | | | | | | | | | | |

第7.4.4.234図 (6) ボーリング調査結果 (2号炉原子炉建屋とD-1トレンチの間) コア柱状図 (H27-B-2孔)

| 標尺 (m) | 深度 (m) | 柱状図 | 岩種区分 | 色調 | 硬軟 | コア形状 | 割れ目の状態 | 風化 | 記 事 | コア採取率 (%) | | 岩 級 区 分 | 孔内水位 (m) / 測定日 | 原位置試験 (室内圧縮) | 室内試験 | 掘進速度 (cm/時) | 掘進月 日 | 細径 (mm) / 孔塞保護 | コアチップ / ビット | 給 圧 (kN MPa) | 回 転 数 (rpm) | 送 水 量 (L/分) | 排 水 量 (L/分) | | |
|--------|--------|-----|------|-----|----|------|--------|----|---|------------|-------------|---------|----------------|--------------|------|-------------|-------|----------------|-------------|--------------|-------------|-------------|-------------|--|--|
| | | | | | | | | | | 最大コア長 (cm) | R Q D [%] | | | | | | | | | | | | | | |
| 41 | | + | 花崗岩類 | 暗褐色 | 硬 | Et | | | 40.23~41.00m: OL 20~40° 割れ目が主体。一部の割れ目は消滅しかかっているものもある。割れ目には薄く砂、粘土、マンガンを挟むことが多い。 40.30~40.80m: 高角度割れ目沿いにマンガンの産露が見られる。 | 0 | 100 | D | | | | | | | | | | | | | |
| | | | | | | | | | | 2 | 100 | | | | | | | | | | | | | | |
| 42 | | + | 花崗岩類 | 暗褐色 | 硬 | Et | | | 41.70~41.80m: コアチップ引上げ時の風化で、径5~10mmに球状化する。 41.90~43.94m: D 風化により割れ目沿いの砂状化が拡大。揮散状砂状部と塊状「D」の定着。10~20mmの岩片からなる砂状部を呈する部分が主体。原岩組織や割れ目の一部は残留している。部分的に粘土化やマンガンの産露も伴う。この割れ目に径10mmの灰色土を挟む。 | 0 | 100 | D | | | | | | | | | | | | | |
| | | | | | | | | | | 3 | 100 | | | | | | | | | | | | | | |
| 43 | | + | 花崗岩類 | 暗褐色 | 硬 | Et | | | 43.09~43.90m: 径43.50~43.71m: 塊状「D」が石的に残留している。 43.46~43.55m: 割れ目沿いのマンガンの産露が著しい。黒褐色化を呈する。 | 0 | 100 | D | | | | | | | | | | | | | |
| | | | | | | | | | | 2 | 100 | | | | | | | | | | | | | | |
| 44 | | + | 花崗岩類 | 暗褐色 | 硬 | Et | | | 43.94~45.90m: OL 割れ目沿いに風化で砂状化が顕著な部分も存在。一部の岩片は塊状「D」として残留する。 46.75~46.85m: 割れ目沿いに径20~25mmの球状砂状部により風化砂状化を呈する。 | 0 | 100 | D | | | | | | | | | | | | | |
| | | | | | | | | | | 3 | 100 | | | | | | | | | | | | | | |

第7.4.4.234図 (9) ボーリング調査結果 (2号炉原子炉建屋とD-1トレンチの間) コア柱状図 (H27-B-2孔)

| 標尺 (m) | 深度 (m) | 柱状図 | 岩種区分 | 色調 | コア硬軟形状 | | | | 割れ目の状態 | 風変 | 記 | コア採取率 | | | | 岩級区分 | 孔内水位 (m) 測定月日 | (N) 値 | (N 値 ~ 深度) 図 | 試験 | 原位試験 (気圧・温度) | 室内試験 | 掘進月日 | 掘進速度 (cm/時) | 孔径 (mm) / 孔壁保護 | コプテリウム / ビット | 給圧 (kN / MPa) | 回転数 (rpm) | 送水圧 (MPa) | 送水量 (L / 分) | 排水量 (L / 分) | | | | | | |
|--------|--------|-----|------|-----|--------|----|----|----|--------|----|---|-------|-----|----|----|------|---------------|---------|----------------|----|----------------|------|------|-------------|----------------|--------------|---------------|-----------|-----------|-------------|-------------|----------|---|---|---|-------|--|
| | | | | | Dg | Bg | Dg | Vg | | | | Dg | Bg | Dg | Vg | | | | | | | | | | | | | | | | | 最大コア長 cm | R | Q | D | L [%] | |
| | | | 花崗岩 | にぶい | Dg | Vg | | | | | 50.44~50.67m: 硬ま「B」で堅硬。上下層は砂状化している。 | 10 | 100 | | | | | | | | | | | | | | | | | | | | | | | | |
| 51 | | | 花崗岩 | にぶい | Dg | Vg | | | | | 51.15~51.59m: 上下位より粗石帯層が5~15mmと大型化する(上下位側は径5mm前後主体)。 | 9 | 100 | | | | | | | | | | | | | | | | | | | | | | | | |
| 52 | | | 花崗岩 | にぶい | Dg | Vg | | | | | 51.5m以深は風化が進み、割れ目沿いの砂状化が広がり、径10~30mmの粗石帯層を多く含む「砂層状」を呈する部分もある。 | 11 | 100 | | | | | | | | | | | | | | | | | | | | | | | | |
| 53 | | | 花崗岩 | にぶい | Dg | Vg | | | | | 52.18~52.22m: コプテリウム引き上げ部で、細砂混じり粗粒砂状を呈する。 | 4 | 100 | | | | | | | | | | | | | | | | | | | | | | | | |
| 54 | | | 花崗岩 | 明褐色 | Eg | Vg | | | | | 52.42~52.89m: CM 53.20~53.65m: D 52.42~52.89m: CM 岩片は硬質であるが、一部に軟弱な低い割れ目を含んでいる。割れ目は幅2~3mmで砂状化することが多い。 | 4 | 100 | | | | | | | | | | | | | | | | | | | | | | | | |
| | | | 花崗岩 | 明褐色 | Dg | Vg | | | | | 52.99~53.20m: CL 割れ目沿いに砂状化が進む。削減しかなかったりしている割れ目が多い。 | | | | | | | | | | | | | | | | | | | | | | | | | | |
| | | | 花崗岩 | 明褐色 | Eg | Vg | | | | | 53.20~53.65m: D 原岩組織は残存するが、割れ目は消滅するか、しかかっているものが多い。硬ま「D」の径10mm程度の岩片が散在している。 | | | | | | | | | | | | | | | | | | | | | | | | | | |
| | | | 花崗岩 | 明褐色 | Dg | Vg | | | | | 53.55~54.10m: CL 一部に硬ま「C」岩片も込み全体が不均質。原石は大半が白濁化する。 | | | | | | | | | | | | | | | | | | | | | | | | | | |
| | | | 花崗岩 | 明褐色 | Eg | Vg | | | | | 54.10~54.72m: D 風化で砂状化が著しい。 | | | | | | | | | | | | | | | | | | | | | | | | | | |
| | | | 花崗岩 | 明褐色 | Dg | Vg | | | | | 54.37~54.46m: 硬ま「D」の岩片が残留する。 | | | | | | | | | | | | | | | | | | | | | | | | | | |
| | | | 花崗岩 | 明褐色 | Eg | Vg | | | | | 54.60m以深は粘土化が進む。 | | | | | | | | | | | | | | | | | | | | | | | | | | |
| | | | 花崗岩 | 明褐色 | Dg | Vg | | | | | ●54.72~54.77m: 破砕部 54.72~54.77m: 粘土質凝状部 (Hc) 上層部で波打ち、下部39°で直線的に延伸。径5~8mmの石英粒と粘土質の砂層を交互に含む。砂層は厚さ10~20mm程度。砂層は厚さ10~20mm程度。砂層は厚さ10~20mm程度。 | | | | | | | | | | | | | | | | | | | | | | | | | | |
| | | | 花崗岩 | 明褐色 | Eg | Vg | | | | | 54.77m: 粘土凝部 (Hc-1) 線状39°で上下層とも直線的に延伸。石英粒、岩片はほとんど含まない(5%以下)。軟質。灰褐色を呈する。層3 | | | | | | | | | | | | | | | | | | | | | | | | | | |
| | | | 花崗岩 | 明褐色 | Dg | Vg | | | | | 54.77~55.24m: D 全体に粘土化が進む。 | | | | | | | | | | | | | | | | | | | | | | | | | | |

第7.4.4.234図 (11) ボーリング調査結果 (2号炉原子炉建屋とD-1トレンチの間) コア柱状図 (H27-B-2孔)

| 標尺 (m) | 深度 (m) | 柱状図 | 岩種区分 | 色調 | 硬さ | コア形状 | 風割れ目 | 状態 | 酸化 | 記 | コア採取率 (%) | 最大コア長 (cm) | R Q D [%] | 岩級区分 | 孔内水位 (m) / 測定月日 | () 標準貫入 () 試験 | | | | | 原位置試験 (孔内圧電圧) | 室内試験 | 観進月日 | 観進速度 (cm/時) | 孔径 (mm) / 孔壁保護 | コパチュラ / ビット | 給圧 (MPa) | 回転数 (rpm) | 送水水量 (L/分) | 送水圧 (MPa) | 排水水量 (L/分) | | | | | |
|--------|--------|-----|-------|-------|----|------|------|----|----|--|-----------|------------|-------------|------|-----------------|-----------------|---------|---------|---------|---------|---------------|------|------|-------------|----------------|-------------|----------|-----------|------------|-----------|------------|---|---|---|---|---|
| | | | | | | | | | | | | | | | | () N 値 | () N 値 | () N 値 | () N 値 | () N 値 | | | | | | | | | | | | | | | | |
| 56 | | + | 普通凝灰岩 | 明褐色 | Dg | Vg | Dg | Dg | 4 | 55.00m以深は薄片やマンガン結核部を新状に含む。55.00m以深は白色粘土化部や赤灰色粘土層状を多く含む。 57.00m以深は、赤れ目沿いに浸透した、赤れ目沿いに風化が進む部分では種々「E」や塊状な砂状部も分布する。赤れ目沿いにマンガン黒線を要け、赤れ目面とその周辺は黒褐色化することが多い。 | 0 | 3 | 0 | 0 | 0 | 0 | 0 | 0 | 0 | 0 | 0 | 0 | 0 | 0 | 0 | 0 | 0 | 0 | 0 | 0 | 0 | 0 | 0 | | | |
| 57 | | | | | | | | | | 56.83~57.00m: 赤れ目沿いの風化が進み、砂状化する。確認する層は「D」の厚5~10mmの薄片とともに砂状状を呈する。 57.00~57.45m: 密着度の低い赤れ目が密集し、径10mm程度に細薄片化する。種々「C」の薄片も多く含む。 | 0 | 2 | 0 | 0 | 0 | 0 | 0 | 0 | 0 | 0 | 0 | 0 | 0 | 0 | 0 | 0 | 0 | 0 | 0 | 0 | 0 | 0 | 0 | 0 | 0 | 0 |
| 58 | | + | 普通凝灰岩 | にぶい褐色 | Cg | Dg | Dg | Dg | 4 | 57.45~57.70m: 赤れ目沿いに砂状化が進み、全体に上位より軟化が認められる。 57.70~57.99m: D 58.28~58.73m: C 原岩組織と赤れ目は確認するが、全体に風化による砂状化部が拡大し、一部は膠質な砂状部となる。 57.99~58.28m: D 薄片は多いが、20~30°の赤れ目が10mm程度で同方向に発達、マンガン結核も伴う。 58.28~58.73m: C マンガン結核で赤れ目は黒褐色化するが、砂や粘土などの充填物は分布しない。 | 0 | 9 | 0 | 0 | 0 | 0 | 0 | 0 | 0 | 0 | 0 | 0 | 0 | 0 | 0 | 0 | 0 | 0 | 0 | 0 | 0 | 0 | 0 | 0 | 0 | 0 |
| 59 | | | | | | | | | | 58.73~59.71m: D 赤れ目沿いに砂状化し、密着度の低い赤れ目も多い。全体として脆い。 59.35~59.54m: 種々「C」主体。 59.71~60.00m: D 浸透したで浸透した砂状部主体。径10mm前後の薄片が確認し、砂状状を呈する。 | 0 | 3 | 0 | 0 | 0 | 0 | 0 | 0 | 0 | 0 | 0 | 0 | 0 | 0 | 0 | 0 | 0 | 0 | 0 | 0 | 0 | 0 | 0 | 0 | 0 | 0 |

第7.4.4.234図 (12) ボーリング調査結果 (2号炉原子炉建屋とD-1トレンチの間) コア柱状図 (H27-B-2孔)

| 標尺 (m) | 標高 (m) | 柱状図 | 岩種区分 | 色調 | 硬軟 | コア形状 | 割れ目の状態 | 変質 | 記号 | コア採取率 (%) | 岩級区分 | 孔内水位 (m) / 測定月日 | 原位置試験 (孔壁摩擦) | 空内試験 | 掘進月日 | 掘進速度 (cm/時) | 孔径 (mm) / 孔壁保護 | コアチップ / ヒット | 給圧 (kN / MPa) | 回転数 (rpm) | 送水圧 (MPa) | 送水量 (L/分) | 排水量 (L/分) | |
|--------|--------|-----|-------------|----|----|--------|--------|----|---|-----------|---------|-----------------|--------------|------|------|-------------|----------------|-------------|---------------|-----------|-----------|-----------|-----------|--|
| 71 | | | <p>本層硬岩</p> | Bg | Bg | Bg β 2 | | | 71.05~71.85m : QL 30°と60~75°の割れ目が交差し、一部は割れ目による砂状化が認められる。粘土化部も点在するが分りやすい。 | 10 (37) | 11 (11) | | | | | | | | | | | | | |
| 72 | | | | | | | | | 71.88~76.11m : QM 一部で風化による砂状化を認め、20mmで採むが、採取物を伴わない割れ目が多い。 | 12 (23) | | | | | | | | | | | | | | |
| 73 | | | <p>本層硬岩</p> | Bg | Bg | Bg β 2 | | | 73.20~75.00m : 20~30°と60~70°の割れ目が交差し、交差部の一部で砂状化が認められるが、砂状部や粘土化部は少ない。 | 18 (18) | | | | | | | | | | | | | | |
| 74 | | | | | | | | | 74.05~75.00m : 割れ目沿いにマンガン結核を認める。 | 19 (19) | | | | | | | | | | | | | | |

第7.4.4.234図 (15) ボーリング調査結果 (2号炉原子炉建屋とD-1トレンチの間) コア柱状図 (H27-B-2孔)

| 標尺 (m) | 標高 (m) | 柱状図 | 岩種区分 | 色調 | 硬軟 | コア形状 | 割れ目の状態 | 風変質 | 記 | コア採取率 (%) | 岩級区分 | 孔内水位 (m) 測定月日 | () 値 | () 試験 | 原位置試験 (元不擾乱) | 室内試験 | 掘進月日 | 掘進速度 (cm/時) | 掘進距離 (m) | 孔徑 (mm) / 孔壁保護 | チップ / ビット | 給圧 (MPa) | 回転数 (rpm) | 送水圧 (MPa) | 送水量 (L/分) | 排水量 (L/分) | | | |
|--------|--------|-----|------|----|----|---------|--------|-----|--|----------------|------|---------------|-------|--------|--------------|------|------|-------------|----------|----------------|-----------|----------|-----------|-----------|-----------|-----------|--|--|--|
| | 76 | | | | | VE Bg β | | | 75.65~75.92m: 内側に砂層割れ目や密着度の低い割れ目を伴わない長さ27cmのコア。 76.11~77.02m: CL 割れ目が交差し、径10~30mmに片状~角状化する。岩片自体は硬質で劣化が認められ、割れ目には0.5mm以下の砂粒に埋り込んでおられるが、砂や粘土は伴わない。全体に長石の白変色が目立つ。 77.05~79.47m: CM 全区層硬質であるが、77.49~78.00m間では密着度の低い割れ目が多く、ハンマーの打撃で径30mm前後に分離・細片化し易い。また、同区間では割れ目沿いにマンガン染染を伴い、割れ目直の一部分は黒褐色化する。77.72m: 交差する2本の割れ目の一部は、互いに直交するが、90度部分は割れ目全体に連続しない。 | 0 50 100 | | | | | | | | | | | | | | | | | | | |
| | 77 | | 花崗岩 | | Bg | | | | 78.00m以深は長さ10cm前後のコアが主体となるが、一部では密着度の低い割れ目が分布する。 78.40m: 割れ目沿いにマンガン染染を伴う。 79.00m以深では長石球晶の白濁化が多い。 79.13m: 40°の割れ目沿いに幅10~15mmが淡緑色化し、面沿いに径0.5mm以下の砂粒な葉母 (セリサイト) が露出する。 79.47~80.19m: CL 30~50°と70°の割れ目が交差し、交差部の一部分は径10mm程度に片状化する。70°の割れ目の一部に幅2~3mmの淡黄~褐色土脈を挟む。 79.82~79.99m: 割れ目沿いに砂状~粘土状の割れ目状化が認め、少量の粘土も伴う。 | 0 50 100 | | | | | | | | | | | | | | | | | | | |
| | 78 | | | | | VE Bg β | | | | | | | | | | | | | | | | | | | | | | | |
| | 79 | | | | | Bg | | | | | | | | | | | | | | | | | | | | | | | |

第7.4.4.234図 (16) ボーリング調査結果 (2号炉原子炉建屋とD-1トレンチの間) コア柱状図 (H27-B-2孔)

| 標尺 (m) | 深度 (m) | 柱状図 | 岩種区分 | 色調 | 硬軟 | コア形状 | 割れ目の状態 | 風変質 | 記 | コア採取率 (%) | | 岩級区分 | 孔内水位 (m) 測定月日 | 試験 | | 室内試験 (元内水書) | 掘進進度 (m/時) | 掘進進度 (m/日) | 孔径 (mm) / 孔壁保護 | コナユリ / ビット | 給圧 (MPa) | 回転数 (rpm) | 送水圧 (MPa) | 送水量 (L/分) | 排水量 (L/分) | |
|--------|--------|-----------|------|-----|----|------|--------|-----|--|------------|---------|------|---------------|-------|------------------|-------------|------------|------------|----------------|------------|----------|-----------|-----------|-----------|-----------|--|
| | | | | | | | | | | 最大コア長 (cm) | RGL [%] | | | (N) 値 | (標準貫入) 図 (N値~深度) | | | | | | | | | | | |
| 101 | | [Pattern] | 花崗岩類 | 緑灰 | Bz | Vz | β | β 2 | 100.52~101.32m: 割れ目沿いの風化、砂状化が進む。岩片も軟質化し、硬さ「D」主体で部分的に硬さ「E」が残る。長石は白濁化する。 100.84~100.89m, 101.23~101.32m: 割れ目沿いは砂状化が盛大。径5~10mmの岩片と共に砂層状を重なる。 | 4 | 100 | Cl | | | | | | | | | | | | | | |
| | | | | | | | | | | 0 | 0 | | | | | | | | | | | | | | | |
| 102 | | [Pattern] | 花崗岩類 | 緑灰 | Cg | cg | β | β 2 | 102.05~104.65m: Cl 102.94~103.17m, 20~30°の割れ目沿いに風化・砂状化が広がっている。岩片自身も硬さ「D」で軟質化する。 103.17~103.70m: 割れ目沿いの砂状化や碎在物は認められないが、一部で密着度の低い層が認められる。 103.70~104.65m: 風化が進み、岩片も含め、全体が軟質化している。所々に径5~2mmの軟質を白色粘土を帯びに含む。 | 4 | 100 | Cl | | | | | | | | | | | | | | |
| | | | | | | | | | | 0 | 0 | | | | | | | | | | | | | | | |
| 103 | | [Pattern] | 花崗岩類 | 灰褐色 | Bz | Vz | β | β 2 | 104.65~107.15m: Cl 105.14~105.19m間を除き、硬質で碎在物はほとんど分布しない。 | 6 | 100 | Cl | | | | | | | | | | | | | | |
| | | | | | | | | | | 0 | 0 | | | | | | | | | | | | | | | |
| 104 | | [Pattern] | 明礬灰 | 明礬灰 | Dg | cg | γ | γ 3 | | 6 | 100 | Cl | | | | | | | | | | | | | | |
| | | | | | | | | | | 0 | 0 | | | | | | | | | | | | | | | |

第7.4.4.234図 (21) ボーリング調査結果 (2号炉原子炉建屋とD-1トレンチの間) コア柱状図 (H27-B-2孔)

| 標尺 (m) | 深度 (m) | 柱状図 | 岩種区分 | 色調軟状 | 硬軟形状 | 割れ目の形状 | 風化質 | 変質 | 記 | コア採取率 (%) | 岩級区分 | 孔内水位 (m) 測定月日 | () 試験 () 図 () 標貫入 () N () 値 () 深 () 度 () 測 () 定 () 日 | 室内試験 () 行 () 内 () 試 () 験 () 電 () 圧 () 測 () 定 () 日 | 掘進速度 (cm/時) | 掘進月日 | 孔径 (mm) / 孔壁保護 | コアチップ / ビット | 給圧 (MPa) | 回転数 (rpm) | 送水圧 (MPa) | 送水量 (L/分) | 排水量 (L/分) |
|--------|--------|-------------------|-------|----------------|-----------------|-----------------|-----------------|----|--|-----------|----------------|---------------|--|--|-------------|------|----------------|-------------|----------|-----------|-----------|-----------|-----------|
| 106 | | [Hatched pattern] | 花崗閃石岩 | B ₂ | IV ₂ | IV ₂ | IV ₂ | | 105.14~105.19m: 上下端とも40°の割れ目に囲まれて、硬質な砂状~砂2~3mmに鱗片化する。下端面に白色粘土がフィルム状に付着。区間内全体に径0.5mm以下の微細な貫筋が点在する。 | 0 | Q ₁ | | 0 | | | | | | | | | | |
| | | | | | | | | | 105.14 | 105.19 | | 100 | | | | | | | | | | | |
| 107 | | [Hatched pattern] | 花崗閃石岩 | B ₂ | IV ₂ | IV ₂ | IV ₂ | | 106.70~106.83m: 106.69~106.72m 割れ目が交差し、径10~30mmの片状をもち、割れ目には鉄燐が付着してはいない。ほぼ垂直な面をもつ。 | 0 | Q ₁ | | 0 | | | | | | | | | | |
| | | | | | | | | | 106.70 | 106.83 | | 100 | | | | | | | | | | | |
| 108 | | [Hatched pattern] | 花崗閃石岩 | B ₂ | IV ₂ | IV ₂ | IV ₂ | | 107.15~107.62m: Q ₁ 割れ目沿いに径3~5mmに鱗片化する部分があるが、割れ目に砂状~粘土状の存在物は分布せず。ほぼ垂直な面をもつ。底の一部は輝石石化変質により赤褐色化するが、岩石は伴わない。 | 0 | Q ₁ | | 0 | | | | | | | | | | |
| | | | | | | | | | 107.15 | 107.62 | | 100 | | | | | | | | | | | |
| 109 | | [Hatched pattern] | 花崗閃石岩 | B ₂ | IV ₂ | IV ₂ | IV ₂ | | 107.62~115.99m: Q ₁ 割れ目は多いが、割れ目が110.10~114.05m間は10~30mm程度の間隔で密着度の低い薄層に割れ目も含んでいいる。ほぼ垂直で、割れ目に粘土物は殆んど分布しない。108.00~110.00mは割れ目沿いに鉄燐が付着している。一部は交差して割れ目をなす。 | 0 | Q ₁ | | 0 | | | | | | | | | | |
| | | | | | | | | | 107.62 | 115.99 | | 100 | | | | | | | | | | | |

第7.4.4.234図 (22) ボーリング調査結果 (2号炉原子炉建屋とD-1トレンチの間) コア柱状図 (H27-B-2孔)

| 標尺 (m) | 標高 (m) | 深度 (m) | 柱状図 | 岩種区分 | 色調 | 硬軟 | コア形状 | 割れ目の状態 | 風変質 | 記 事 | コア採取率 (%) | 最大コア長 cm | R Q D [%] | 岩 級 区 分 | 孔内水位 (m) 測定層目 | (N) 値 | ((N 値 ~ 深度)) 試験 | 原位置試験 (孔内各層目) | 室内試験 | 掘進月日 | 掘進速度 (cm/時) | 孔径 (mm) / 孔壁保護 | コアチップ | 給圧 (MN / ㎡) | 回転数 (rpm) | 送水圧 (MPa) | 送水量 (L/分) | 排水量 (L/分) | | |
|--------|--------|--------|-----|------|-----|----|------|--------|-----|---|-----------|----------|-----------|---------|---------------|---------|---------------------|-----------------|------|------|-------------|----------------|-------|-------------|-----------|-----------|-----------|-----------|--|--|
| —111 | | | | 花崗閃石 | 灰褐色 | 硬 | コア形状 | 割れ目の状態 | 風変質 | <p>110.40~110.51m: 白色化した砂岩割れ目状に分離し、開口割れ目化している。</p> <p>111.37m: 75~80°の割れ目状の1部で幅1~2mmの砂岩。これに交差する砂岩の割れ目は認められている。また、砂岩の割れ目状の砂岩に、黄緑色に着色した砂岩の割れ目状の砂岩が見られる。</p> | 9 | 100 | 11 | | | | | | | | | | | | | | | | | |
| —112 | | | | | | | | | | <p>112.41~112.44m: 5°前後の割れ目状に片状化するが、岩片は軟質化しない。</p> | 4 | 100 | | | | | | | | | | | | | | | | | | |
| —113 | | | | 花崗閃石 | 灰褐色 | 硬 | コア形状 | 割れ目の状態 | 風変質 | <p>113.55~113.60m: 傾斜25°、幅4cmの割れ目を伴った、花崗閃石と砂岩との境界部で認められている。また、砂岩の割れ目状の砂岩に、黄緑色に着色した砂岩の割れ目状の砂岩が見られる。</p> | 9 | 100 | | | | | | | | | | | | | | | | | | |
| —114 | | | | | | | | | | <p>114.37~115.70m: 緑色化している。</p> | 9 | 100 | | | | | | | | | | | | | | | | | | |
| | | | | 花崗閃石 | 灰褐色 | 硬 | コア形状 | 割れ目の状態 | 風変質 | <p>114.55m: 80~85°の割れ目の一部に砂岩と幅0.5mm以下の傾斜を伴ったワイルドな割れ目に付着。割れ目は薄層状に凹凸しているが、割れ目の向きは異なる。割れ目の向きは砂岩と砂岩の境界部で異なる。また、砂岩の割れ目状の砂岩に、黄緑色に着色した砂岩の割れ目状の砂岩が見られる。</p> | 9 | 100 | | | | | | | | | | | | | | | | | | |
| | | | | | | | | | | <p>114.55m: 80~85°の割れ目の一部に砂岩と幅0.5mm以下の傾斜を伴ったワイルドな割れ目に付着。割れ目は薄層状に凹凸しているが、割れ目の向きは異なる。割れ目の向きは砂岩と砂岩の境界部で異なる。また、砂岩の割れ目状の砂岩に、黄緑色に着色した砂岩の割れ目状の砂岩が見られる。</p> | 9 | 100 | | | | | | | | | | | | | | | | | | |

第7.4.4.234図 (23) ボーリング調査結果 (2号炉原子炉建屋とD-1トレンチの間) コア柱状図 (H27-B-2孔)

| 標尺 (m) | 深度 (m) | 柱状図 | 岩種区分 | 色調 | 硬軟 | 割れ目の形状 | 風化質 | 記事 | コア採取率 (%) | 岩級区分 | 孔内水位測定日 | () 試験 () 図 () 値 | 標準貫入 (N値~深度) | 空内試験 | 掘進速度 (cm/時) | 掘進月日 | 孔径 (mm) / 孔底保護 | コナユツビット | 給圧 (kN・MPa) | 回転数 (rpm) | 送水圧 (MPa) | 送水量 (L/分) | 排水量 (L/分) | |
|--------|---------------|-----|------|-----|------------|--------|---|---|---------------------------------|---------------------------------|---------------------------------|---------------------------------|--------------|------|-------------|------|----------------|---------|-------------|-----------|-----------|-----------|-----------|--|
| 126 | 126.50~127.00 | 花崗岩 | 花崗岩 | 灰褐色 | Bg, Vz, Cg | Bg, β | 125.00~125.50m: 白い結核の砂岩割れ目が多いが、周囲と同化し、ハンマーの痕打でも分離しない。 125.30~125.70m: QL 125.80~126.50m: 50°の割れ目が多いが幅10mmで深3~5mmの線状割れ目状を呈する。 126.50~126.70m: 結土や砂は伴わない。 126.70~126.95m: 一部で密度が低い割れ目や砂割れ目を含む。割れ目に粘土物は分布しない。 | 50 100 150 200 250 300 350 400 450 500 | 0 10 20 30 40 50 | 0 10 20 30 40 50 | 0 10 20 30 40 50 | 0 10 20 30 40 50 | | | | | | | | | | | | |
| 127 | 127.00~127.50 | 花崗岩 | 花崗岩 | 灰褐色 | Bg, Vz, Cg | Bg, β | 126.25~127.41m: QL 一部で50~60°の割れ目沿いに深5mm前後で細片化~砂状化する。また、幅1~2mmの線状~灰白色の軟質粘土を伴う。割れ目には灰白色の軟質粘土が充填されている。割れ目には緑色の、全体では後者の色調が主体。127.00m以下は粘土物は分布しない。 | 50 100 150 200 250 300 350 400 450 500 | 0 10 20 30 40 50 | 0 10 20 30 40 50 | 0 10 20 30 40 50 | | | | | | | | | | | | | |
| 128 | 128.00~128.50 | 花崗岩 | 花崗岩 | 灰褐色 | Bg, Vz, Cg | Bg, β | 127.41~127.48m: 凝結部 127.41m: 粘土凝結部 (軟5°) 凝結部50°で上下端とも連続的に凝結。石灰質。岩片を含まない。軟質。灰白色を呈する。幅0.5~1mm。 127.41~127.48m: 粘土混じり凝結部 (軟10°) で連続的。下端0.5~0.6°で上部0.5~0.6°の割れ目沿いに深1~2mmの線状割れ目状を呈する。岩片は幅1~2mmの軟質粘土が充填に分布。岩片は硬さ「D」主体で硬さ「E」も少量含む。127.41m以上位のD-Eの粘土と同方向のせん断面沿いにマンガン鉱物を伴う。に少し黄褐色を呈する。幅40~41m。 127.48~128.82m: QL 127.48~128.82m: QL 40~60°の割れ目が主体で、一部では狭くない。 | 50 100 150 200 250 300 350 400 450 500 | 0 10 20 30 40 50 | 0 10 20 30 40 50 | 0 10 20 30 40 50 | | | | | | | | | | | | | |
| 129 | 129.00~129.50 | 花崗岩 | 花崗岩 | 灰褐色 | Bg, Vz, Cg | Bg, β | 128.82~128.97m: 凝結部 128.82~128.97m: 凝結部 128.97~129.05m: 凝結部 129.05~129.20m: 凝結部 129.20~129.50m: 凝結部 129.50~129.95m: 凝結部 129.95~130.20m: 凝結部 130.20~130.50m: 凝結部 130.50~130.80m: 凝結部 130.80~131.00m: 凝結部 131.00~131.50m: 凝結部 131.50~132.00m: 凝結部 132.00~132.50m: 凝結部 132.50~133.00m: 凝結部 133.00~133.50m: 凝結部 133.50~134.00m: 凝結部 134.00~134.50m: 凝結部 134.50~135.00m: 凝結部 135.00~135.50m: 凝結部 135.50~136.00m: 凝結部 136.00~136.50m: 凝結部 136.50~137.00m: 凝結部 137.00~137.50m: 凝結部 137.50~138.00m: 凝結部 138.00~138.50m: 凝結部 138.50~139.00m: 凝結部 139.00~139.50m: 凝結部 139.50~140.00m: 凝結部 140.00~140.50m: 凝結部 140.50~141.00m: 凝結部 141.00~141.50m: 凝結部 141.50~142.00m: 凝結部 142.00~142.50m: 凝結部 142.50~143.00m: 凝結部 143.00~143.50m: 凝結部 143.50~144.00m: 凝結部 144.00~144.50m: 凝結部 144.50~145.00m: 凝結部 145.00~145.50m: 凝結部 145.50~146.00m: 凝結部 146.00~146.50m: 凝結部 146.50~147.00m: 凝結部 147.00~147.50m: 凝結部 147.50~148.00m: 凝結部 148.00~148.50m: 凝結部 148.50~149.00m: 凝結部 149.00~149.50m: 凝結部 149.50~150.00m: 凝結部 150.00~150.50m: 凝結部 150.50~151.00m: 凝結部 151.00~151.50m: 凝結部 151.50~152.00m: 凝結部 152.00~152.50m: 凝結部 152.50~153.00m: 凝結部 153.00~153.50m: 凝結部 153.50~154.00m: 凝結部 154.00~154.50m: 凝結部 154.50~155.00m: 凝結部 155.00~155.50m: 凝結部 155.50~156.00m: 凝結部 156.00~156.50m: 凝結部 156.50~157.00m: 凝結部 157.00~157.50m: 凝結部 157.50~158.00m: 凝結部 158.00~158.50m: 凝結部 158.50~159.00m: 凝結部 159.00~159.50m: 凝結部 159.50~160.00m: 凝結部 160.00~160.50m: 凝結部 160.50~161.00m: 凝結部 161.00~161.50m: 凝結部 161.50~162.00m: 凝結部 162.00~162.50m: 凝結部 162.50~163.00m: 凝結部 163.00~163.50m: 凝結部 163.50~164.00m: 凝結部 164.00~164.50m: 凝結部 164.50~165.00m: 凝結部 165.00~165.50m: 凝結部 165.50~166.00m: 凝結部 166.00~166.50m: 凝結部 166.50~167.00m: 凝結部 167.00~167.50m: 凝結部 167.50~168.00m: 凝結部 168.00~168.50m: 凝結部 168.50~169.00m: 凝結部 169.00~169.50m: 凝結部 169.50~170.00m: 凝結部 170.00~170.50m: 凝結部 170.50~171.00m: 凝結部 171.00~171.50m: 凝結部 171.50~172.00m: 凝結部 172.00~172.50m: 凝結部 172.50~173.00m: 凝結部 173.00~173.50m: 凝結部 173.50~174.00m: 凝結部 174.00~174.50m: 凝結部 174.50~175.00m: 凝結部 175.00~175.50m: 凝結部 175.50~176.00m: 凝結部 176.00~176.50m: 凝結部 176.50~177.00m: 凝結部 177.00~177.50m: 凝結部 177.50~178.00m: 凝結部 178.00~178.50m: 凝結部 178.50~179.00m: 凝結部 179.00~179.50m: 凝結部 179.50~180.00m: 凝結部 180.00~180.50m: 凝結部 180.50~181.00m: 凝結部 181.00~181.50m: 凝結部 181.50~182.00m: 凝結部 182.00~182.50m: 凝結部 182.50~183.00m: 凝結部 183.00~183.50m: 凝結部 183.50~184.00m: 凝結部 184.00~184.50m: 凝結部 184.50~185.00m: 凝結部 185.00~185.50m: 凝結部 185.50~186.00m: 凝結部 186.00~186.50m: 凝結部 186.50~187.00m: 凝結部 187.00~187.50m: 凝結部 187.50~188.00m: 凝結部 188.00~188.50m: 凝結部 188.50~189.00m: 凝結部 189.00~189.50m: 凝結部 189.50~190.00m: 凝結部 190.00~190.50m: 凝結部 190.50~191.00m: 凝結部 191.00~191.50m: 凝結部 191.50~192.00m: 凝結部 192.00~192.50m: 凝結部 192.50~193.00m: 凝結部 193.00~193.50m: 凝結部 193.50~194.00m: 凝結部 194.00~194.50m: 凝結部 194.50~195.00m: 凝結部 195.00~195.50m: 凝結部 195.50~196.00m: 凝結部 196.00~196.50m: 凝結部 196.50~197.00m: 凝結部 197.00~197.50m: 凝結部 197.50~198.00m: 凝結部 198.00~198.50m: 凝結部 198.50~199.00m: 凝結部 199.00~199.50m: 凝結部 199.50~200.00m: 凝結部 200.00~200.50m: 凝結部 200.50~201.00m: 凝結部 201.00~201.50m: 凝結部 201.50~202.00m: 凝結部 202.00~202.50m: 凝結部 202.50~203.00m: 凝結部 203.00~203.50m: 凝結部 203.50~204.00m: 凝結部 204.00~204.50m: 凝結部 204.50~205.00m: 凝結部 205.00~205.50m: 凝結部 205.50~206.00m: 凝結部 206.00~206.50m: 凝結部 206.50~207.00m: 凝結部 207.00~207.50m: 凝結部 207.50~208.00m: 凝結部 208.00~208.50m: 凝結部 208.50~209.00m: 凝結部 209.00~209.50m: 凝結部 209.50~210.00m: 凝結部 210.00~210.50m: 凝結部 210.50~211.00m: 凝結部 211.00~211.50m: 凝結部 211.50~212.00m: 凝結部 212.00~212.50m: 凝結部 212.50~213.00m: 凝結部 213.00~213.50m: 凝結部 213.50~214.00m: 凝結部 214.00~214.50m: 凝結部 214.50~215.00m: 凝結部 215.00~215.50m: 凝結部 215.50~216.00m: 凝結部 216.00~216.50m: 凝結部 216.50~217.00m: 凝結部 217.00~217.50m: 凝結部 217.50~218.00m: 凝結部 218.00~218.50m: 凝結部 218.50~219.00m: 凝結部 219.00~219.50m: 凝結部 219.50~220.00m: 凝結部 220.00~220.50m: 凝結部 220.50~221.00m: 凝結部 221.00~221.50m: 凝結部 221.50~222.00m: 凝結部 222.00~222.50m: 凝結部 222.50~223.00m: 凝結部 223.00~223.50m: 凝結部 223.50~224.00m: 凝結部 224.00~224.50m: 凝結部 224.50~225.00m: 凝結部 225.00~225.50m: 凝結部 225.50~226.00m: 凝結部 226.00~226.50m: 凝結部 226.50~227.00m: 凝結部 227.00~227.50m: 凝結部 227.50~228.00m: 凝結部 228.00~228.50m: 凝結部 228.50~229.00m: 凝結部 229.00~229.50m: 凝結部 229.50~230.00m: 凝結部 230.00~230.50m: 凝結部 230.50~231.00m: 凝結部 231.00~231.50m: 凝結部 231.50~232.00m: 凝結部 232.00~232.50m: 凝結部 232.50~233.00m: 凝結部 233.00~233.50m: 凝結部 233.50~234.00m: 凝結部 234.00~234.50m: 凝結部 234.50~235.00m: 凝結部 235.00~235.50m: 凝結部 235.50~236.00m: 凝結部 236.00~236.50m: 凝結部 236.50~237.00m: 凝結部 237.00~237.50m: 凝結部 237.50~238.00m: 凝結部 238.00~238.50m: 凝結部 238.50~239.00m: 凝結部 239.00~239.50m: 凝結部 239.50~240.00m: 凝結部 240.00~240.50m: 凝結部 240.50~241.00m: 凝結部 241.00~241.50m: 凝結部 241.50~242.00m: 凝結部 242.00~242.50m: 凝結部 242.50~243.00m: 凝結部 243.00~243.50m: 凝結部 243.50~244.00m: 凝結部 244.00~244.50m: 凝結部 244.50~245.00m: 凝結部 245.00~245.50m: 凝結部 245.50~246.00m: 凝結部 246.00~246.50m: 凝結部 246.50~247.00m: 凝結部 247.00~247.50m: 凝結部 247.50~248.00m: 凝結部 248.00~248.50m: 凝結部 248.50~249.00m: 凝結部 249.00~249.50m: 凝結部 249.50~250.00m: 凝結部 250.00~250.50m: 凝結部 250.50~251.00m: 凝結部 251.00~251.50m: 凝結部 251.50~252.00m: 凝結部 252.00~252.50m: 凝結部 252.50~253.00m: 凝結部 253.00~253.50m: 凝結部 253.50~254.00m: 凝結部 254.00~254.50m: 凝結部 254.50~255.00m: 凝結部 255.00~255.50m: 凝結部 255.50~256.00m: 凝結部 256.00~256.50m: 凝結部 256.50~257.00m: 凝結部 257.00~257.50m: 凝結部 257.50~258.00m: 凝結部 258.00~258.50m: 凝結部 258.50~259.00m: 凝結部 259.00~259.50m: 凝結部 259.50~260.00m: 凝結部 260.00~260.50m: 凝結部 260.50~261.00m: 凝結部 261.00~261.50m: 凝結部 261.50~262.00m: 凝結部 262.00~262.50m: 凝結部 262.50~263.00m: 凝結部 263.00~263.50m: 凝結部 263.50~264.00m: 凝結部 264.00~264.50m: 凝結部 264.50~265.00m: 凝結部 265.00~265.50m: 凝結部 265.50~266.00m: 凝結部 266.00~266.50m: 凝結部 266.50~267.00m: 凝結部 267.00~267.50m: 凝結部 267.50~268.00m: 凝結部 268.00~268.50m: 凝結部 268.50~269.00m: 凝結部 269.00~269.50m: 凝結部 269.50~270.00m: 凝結部 270.00~270.50m: 凝結部 270.50~271.00m: 凝結部 271.00~271.50m: 凝結部 271.50~272.00m: 凝結部 272.00~272.50m: 凝結部 272.50~273.00m: 凝結部 273.00~273.50m: 凝結部 273.50~274.00m: 凝結部 274.00~274.50m: 凝結部 274.50~275.00m: 凝結部 275.00~275.50m: 凝結部 275.50~276.00m: 凝結部 276.00~276.50m: 凝結部 276.50~277.00m: 凝結部 277.00~277.50m: 凝結部 277.50~278.00m: 凝結部 278.00~278.50m: 凝結部 278.50~279.00m: 凝結部 279.00~279.50m: 凝結部 279.50~280.00m: 凝結部 280.00~280.50m: 凝結部 280.50~281.00m: 凝結部 281.00~281.50m: 凝結部 281.50~282.00m: 凝結部 282.00~282.50m: 凝結部 282.50~283.00m: 凝結部 283.00~283.50m: 凝結部 283.50~284.00m: 凝結部 284.00~284.50m: 凝結部 284.50~285.00m: 凝結部 285.00~285.50m: 凝結部 285.50~286.00m: 凝結部 286.00~286.50m: 凝結部 286.50~287.00m: 凝結部 287.00~287.50m: 凝結部 287.50~288.00m: 凝結部 288.00~288.50m: 凝結部 288.50~289.00m: 凝結部 289.00~289.50m: 凝結部 289.50~290.00m: 凝結部 290.00~290.50m: 凝結部 290.50~291.00m: 凝結部 291.00~291.50m: 凝結部 291.50~292.00m: 凝結部 292.00~292.50m: 凝結部 292.50~293.00m: 凝結部 293.00~293.50m: 凝結部 293.50~294.00m: 凝結部 294.00~294.50m: 凝結部 294.50~295.00m: 凝結部 295.00~295.50m: 凝結部 295.50~296.00m: 凝結部 296.00~296.50m: 凝結部 296.50~297.00m: 凝結部 297.00~297.50m: 凝結部 297.50~298.00m: 凝結部 298.00~298.50m: 凝結部 298.50~299.00m: 凝結部 299.00~299.50m: 凝結部 299.50~300.00m: 凝結部 300.00~300.50m: 凝結部 300.50~301.00m: 凝結部 301.00~301.50m: 凝結部 301.50~302.00m: 凝結部 302.00~302.50m: 凝結部 302.50~303.00m: 凝結部 303.00~303.50m: 凝結部 303.50~304.00m: 凝結部 304.00~304.50m: 凝結部 304.50~305.00m: 凝結部 305.00~305.50m: 凝結部 305.50~306.00m: 凝結部 306.00~306.50m: 凝結部 306.50~307.00m: 凝結部 307.00~307.50m: 凝結部 307.50~308.00m: 凝結部 308.00~308.50m: 凝結部 308.50~309.00m: 凝結部 309.00~309.50m: 凝結部 309.50~310.00m: 凝結部 310.00~310.50m: 凝結部 310.50~311.00m: 凝結部 311.00~311.50m: 凝結部 311.50~312.00m: 凝結部 312.00~312.50m: 凝結部 312.50~313.00m: 凝結部 313.00~313.50m: 凝結部 313.50~314.00m: 凝結部 314.00~314.50m: 凝結部 314.50~315.00m: 凝結部 315.00~315.50m: 凝結部 315.50~316.00m: 凝結部 316.00~316.50m: 凝結部 316.50~317.00m: 凝結部 317.00~317.50m: 凝結部 317.50~318.00m: 凝結部 318.00~318.50m: 凝結部 318.50~319.00m: 凝結部 319.00~319.50m: 凝結部 319.50~320.00m: 凝結部 320.00~320.50m: 凝結部 320.50~321.00m: 凝結部 321.00~321.50m: 凝結部 321.50~322.00m: 凝結部 322.00~322.50m: 凝結部 322.50~323.00m: 凝結部 323.00~323.50m: 凝結部 323.50~324.00m: 凝結部 324.00~324.50m: 凝結部 324.50~325.00m: 凝結部 325.00~325.50m: 凝結部 325.50~326.00m: 凝結部 326.00~326.50m: 凝結部 326.50~327.00m: 凝結部 327.00~327.50m: 凝結部 327.50~328.00m: 凝結部 328.00~328.50m: 凝結部 328.50~329.00m: 凝結部 329.00~329.50m: 凝結部 329.50~330.00m: 凝結部 330.00~330.50m: 凝結部 330.50~331.00m: 凝結部 331.00~331.50m: 凝結部 331.50~332.00m: 凝結部 332.00~332.50m: 凝結部 332.50~333.00m: 凝結部 333.00~333.50m: 凝結部 333.50~334.00m: 凝結部 334.00~334.50m: 凝結部 334.50~335.00m: 凝結部 335.00~335.50m: 凝結部 335.50~336.00m: 凝結部 336.00~336.50m: 凝結部 336.50~337.00m: 凝結部 337.00~337.50m: 凝結部 337.50~338.00m: 凝結部 338.00~338.50m: 凝結部 338.50~339.00m: 凝結部 339.00~339.50m: 凝結部 339.50~340.00m: 凝結部 340.00~340.50m: 凝結部 340.50~341.00m: 凝結部 341.00~341.50m: 凝結部 341.50~342.00m: 凝結部 342.00~342.50m: 凝結部 342.50~343.00m: 凝結部 343.00~343.50m: 凝結部 343.50~344.00m: 凝結部 344.00~344.50m: 凝結部 344.50~345.00m: 凝結部 345.00~345.50m: 凝結部 345.50~346.00m: 凝結部 346.00~346.50m: 凝結部 346.50~347.00m: 凝結部 347.00~347.50m: 凝結部 347.50~348.00m: 凝結部 348.00~348.50m: 凝結部 348.50~349.00m: 凝結部 349.00~349.50m: 凝結部 349.50~350.00m: 凝結部 350.00~350.50m: 凝結部 350.50~351.00m: 凝結部 351.00~351.50m: 凝結部 351.50~352.00m: 凝結部 352.00~352.50m: 凝結部 352.50~353.00m: 凝結部 353.00~353.50m: 凝結部 353.50~354.00m: 凝結部 354.00~354.50m: 凝結部 354.50~355.00m: 凝結部 355.00~355.50m: 凝結部 355.50~356.00m: 凝結部 356.00~356.50m: 凝結部 356.50~357.00m: 凝結部 357.00~357.50m: 凝結部 357.50~358.00m: 凝結部 358.00~358.50m: 凝結部 358.50~359.00m: 凝結部 359.00~359.50m: 凝結部 359.50~360.00m: 凝結部 360.00~360.50m: 凝結部 360.50~361.00m: 凝結部 361.00~361.50m: 凝結部 361.50~362.00m: 凝結部 362.00~362.50m: 凝結部 362.50~363.00m: 凝結部 363.00~363.50m: 凝結部 363.50~364.00m: 凝結部 364.00~364.50m: 凝結部 364.50~365.00m: 凝結部 365.00~365.50m: 凝結部 365.50~366.00m: 凝結部 366.00~366.50m: 凝結部 366.50~367.00m: 凝結部 367.00~367.50m: 凝結部 367.50~368.00m: 凝結部 368.00~368.50m: 凝結部 368.50~369.00m: 凝結部 369.00~369.50m: 凝結部 369.50~370.00m: 凝結部 370.00~370.50m: 凝結部 370.50~371.00m: 凝結部 371.00~371.50m: 凝結部 371.50~372.00m: 凝結部 372.00~372.50m: 凝結部 372.50~373.00m: 凝結部 373.00~373.50m: 凝結部 373.50~374.00m: 凝結部 374.00~374.50m: 凝結部 374.50~375.00m: 凝結部 375.00~375.50m: 凝結部 375.50~376.00m: 凝結 | | | | | | | | | | | | | | | | | |

| 標尺 (m) | 標高 (m) | 深度 (m) | 柱状図 | 岩種区分 | 色調 | 硬軟 | 割れ目形状 | 風化質 | 記 事 | コア採取率 (%) | | 岩 級 区 分 | 孔内水位 (m) / 測定月日 | 標準貫入 (N) 値 | | | | | 原位置試験 (元内並重電) | 室内試験 | 掘進月日 | 掘進速度 (cm/時) | 孔径 (mm) / 孔壁保護 | コアチップ / ビット | 給 圧 (kN MPa) | 回転数 (rpm) | 送水水量 (L/分) | 排水水量 (L/分) | | | | | | | | | |
|--------|--------|--------|-----|------|-----|----|-------|-----|---|-----------|-------|---------|-----------------|------------|----|----|----|----|---------------|------|------|-------------|----------------|-------------|--------------|-----------|------------|------------|----|---|---|---|---|---|---|---|---|
| | | | | | | | | | | → (cm) | D (%) | | | 0 | 10 | 20 | 30 | 40 | | | | | | | | | | | 50 | | | | | | | | |
| 131 | -71.97 | 130.22 | | 花崗閃岩 | 暗褐色 | Bg | Bg | γ | 130.58m: 80° とこれと交差する40~50°の割れ目(幅約10mm)の風化砂を認め、10.4.22m: アブライトの割れ目は交差する一層の割れ目を止めている場合と判断する機会がある。割れ目周囲の岩盤には風化層が認められ、系統的な割れ目も存在しない。 10.15m: 131に風化が強く砂状化する。10.10m: 風化が多少認められる。以下に風化砂状化傾向あり。10.05m以下に風化砂状化傾向あり。10.00m以下に風化砂状化傾向あり。10.00m以下に風化砂状化傾向あり。 | 5 | 0 | 0 | 0 | 0 | 0 | 0 | 0 | 0 | 0 | 0 | 0 | 0 | 0 | 0 | 0 | 0 | 0 | 0 | 0 | 0 | 0 | 0 | | | | | |
| 132 | -73.08 | 131.79 | | 花崗閃岩 | 暗褐色 | Bg | Bg | γ | 131.79m: 55° の割れ目上端側は幅10~15mmで砂状化する。灰白色粘土層も若干。10.4.22m: アブライト上端は55°の割れ目。下端は傾斜部となっており。 131.65m~132.85m: D 風化で硬質な砂状化が拡大し、径5~20mmの岩片を含む砂状化を呈する。砂状部中には灰白色土状の粘土化部も認められる。132.72~132.41mは硬さ「D」の岩片のみ認められ、風化砂状部は掘削時に流失したものと推定される。 132.41m~132.60m: 硬さ「D」の岩片状コア。 132.89~133.24m: Q 一部の割れ目内には幅1~2mm程度で砂状化の砂を認む。 133.15m~133.24m: 一部で砂状化が拡大している。 133.24m~133.48m: D 砂状化が拡大し、硬質な砂状~砂層を呈する。変質は弱い。 133.49~133.75m: Q 133.80~133.92m: 硬さ「D」の割れ目が交差し、割れ目が多くなる。 | 3 | 0 | 0 | 0 | 0 | 0 | 0 | 0 | 0 | 0 | 0 | 0 | 0 | 0 | 0 | 0 | 0 | 0 | 0 | 0 | 0 | 0 | 0 | 0 | 0 | | | |
| 134 | -74.80 | 134.23 | | 花崗閃岩 | 暗褐色 | Bg | Bg | γ | 133.75~133.92m: 硬砂部 133.75m: 粘土状部 (Hc-1) 133.45m: 上下端とも直線的に連続。石英粗や岩片を含まない。軟質。明緑灰色を呈する。幅0.5~1mm。 133.15~133.30m: 粘土質軟砂部 (Hb) 上端55°で直線的に、下端35°で波打つ連続。粘土化した硬さ「E」や硬さ「D」の岩片を20~30%含む。やや軟質。硬さ「D」岩片中には直線的なせん断面と同方向の割れ目が分布する。緑灰色を呈する。幅30~40mm。 133.30~133.92m: 粘土混じり岩片状部 (Hc) 上端55°。下端50°でとれに波打つ連続。大半が粘土化した径5~10mmの岩片で、岩片間には幅1~2mmの灰白~緑灰色軟質粘土が断続的に分布する。上端部が緑灰色。下端部がオリーブ灰色を呈する。幅100mm。 ●134.15~134.23m: 硬砂部 (Hc-1) 傾斜55°で上下端とも直線的に連続。石英粗、岩片はほとんど含まない。軟質。下層側に径0.5mm以下の夾鉄鉱が点在する。上層部はオリーブ灰色。硬さは硬さ「D」程度。硬さ「D」の岩片は硬さ「D」程度を呈する。幅20mm。 134.19~134.23m: 粘土混じり岩片状部 (Hc) 上端55°で直線的に、下層はコアが併せているため不明 (50°の可能性あり)。径5~20mmの岩片状に砕け、明緑灰色を呈する。幅100mm以上。 134.23~134.77m: Q 割れ目はやや多いが劣化は伴わない。134.65m: 134.35m: アブライトと花崗閃岩を呈する。134.65m: 軟質土砂状~径10mmの細岩片状部が主体。 | 4 | 0 | 0 | 0 | 0 | 0 | 0 | 0 | 0 | 0 | 0 | 0 | 0 | 0 | 0 | 0 | 0 | 0 | 0 | 0 | 0 | 0 | 0 | 0 | 0 | 0 | 0 | 0 |

第7.4.4.234図 (27) ボーリング調査結果 (2号炉原子炉建屋とD-1トレンチの間) コア柱状図 (H27-B-2孔)

| 標尺 (m) | 標高 (m) | 深度 (m) | 柱状図 | 岩種区分 | 色調 | 硬軟 | コア割れの形状 | 風変 | 記 | コア採取率 (%) | 岩級区分 | 孔内水位 (m) | 測定管径 (mm) | 試験 (標準貫入 (N値~深度)) 図 | 原位置試験 (管内差圧電) | 室内試験 | 掘進月日 | 掘進速度 (cm/時) | 孔径 (mm) / 孔壁保護 | コアチップ | 給圧 (MPa) | 回転数 (rpm) | 送水量 (L/分) | 排水量 (L/分) | | | |
|--------|--------|--------|-----|-------|----------|----|----------|----|---|-----------|-------------|----------|-----------|----------------------|---------------|------|------|-------------|----------------|-------|----------|-----------|-----------|-----------|--|--|--|
| 136 | | | | 明礬灰 | Eg | | δ 3 | | 135.34~145.65m、Q1 層さ[C]を主体とした新れ目砂岩部 。層さ[B]は135.34~136.50mに小 さく分布。一部で密着性の低い層在 新れ目を含む。 136.50~136.64m、137.44~137.60m、 138.07~140.04m間位、コア長15cm間 位で、層さ[C]の粗粒部が厚さ ~10mmの岩片を含む砂礫状を呈し、 線さ[E]となる。 | 3 0 | 0' f100+ | | | | | | | | | | | | | | | | |
| 137 | | | | 花崗岩 | Eg Cg | | δ γ 2 | | 136.40mは厚さ2~3mmの暗緑灰色の 綠泥石斑点が見える。 136.54m、35°で傾斜~15mmのプラ イトが5mm前後を擱けて分布。両隣 界部も含め結晶は伴わない。 | 4 0 | f100+ | | | | | | | | | | | | | | | | |
| 138 | | | | 明礬灰 | Eg | | δ 3 | | 137.44~137.53m、径5~10mmの結核 主体。連続する層位には伴わない。 137.53~137.60m、硬質な砂状部を含 む。 68mの層はカリ長石が多く、暗色 を帯びる。 137.60mの層は綠泥石が多く、暗緑 灰色を帯びる。 137.62~137.97m、細い斑点を帯び、 やや軟質な砂~細礫状態を呈す。 138.00~138.30m、新れ目の一部は砂 状化も、層1~2cmの灰白色粘土を帯 び伴うことがある。 | 3 0 | f100+ | | | | | | | | | | | | | | | | |
| 139 | | | | アフライト | Cg | | γ 2 | | 138.40~138.20m、アフライト 上下層とも新れ目で花崗岩と層さ れる。 138.75m、80°の新れ目に層1mmの方 斜断面を含む。 | 3 0 | f100+ | | | | | | | | | | | | | | | | |
| 138 | | | | 花崗岩 | Eg | | δ 3 | | 139.67m、75°の新れ目の一部が幅5m 程度砂状化する。 139.67~140.04m、30°と80°の帯れ 目が強かく交差し、径5~10mmの粗粒 状~粗粒砂状に砕ける。粘土は殆ん ど伴わない。 | 3 0 | f100+ | | | | | | | | | | | | | | | | |

第7.4.4.234図 (28) ボーリング調査結果 (2号炉原子炉建屋とD-1トレンチの間) コア柱状図 (H27-B-2孔)

| 標尺 (m) | 標高 (m) | 柱状図 | 岩種区分 | 色調 | 硬軟 | 割れ目の形状 | 風変 | 記 | コア採取率 (%) | 岩級区分 | 孔内水位 (m) 測定月日 | () 値 () 試験 () 図 () 標準貫入 () N値 () 深度 () 試験 () 室内試験 () 元内水重量 | 室内進月日 | 掘進速度 (cm/時) | 孔径 (mm) / 孔壁保護 | コナエリビット | 給圧 (kN・MPa) | 回転数 (rpm) | 送水水量 (L/分) | 排水水量 (L/分) | |
|--------|--------|-------|-------|-----------------|-----------------|-----------------|-----------------|--|-----------|------|---------------|---|-------|-------------|----------------|---------|-------------|-----------|------------|------------|--|
| —141 | 79.84 | 花崗閃緑岩 | 花崗閃緑岩 | IV ₂ | IV ₂ | IV ₂ | IV ₂ | 140.04~145.65m: 層10cmを超える砂礫状の東北節は分布しないが、割れ目沿いに層下~5mm程度で径1~3mmに砂礫が認められる。割れ目は深部の低い断面が目立ち、開口化したものが多い。粘土を伴う割れ目はわずかである。 | 5 0 | 100 | | | | | | | | | | | |
| —141 | 79.84 | アソライト | アソライト | IV ₂ | IV ₂ | IV ₂ | IV ₂ | 141.10~141.18m: 40°の割れ目沿いに砂状化する。径5~10mmの硬質岩片 (硬さ「C」) も多く残存している。 141.35~141.98m: アソライト 上下層とも微細割れのため不明。 | 5 0 | 100 | | | | | | | | | | | |
| —142 | 80.27 | 花崗閃緑岩 | 花崗閃緑岩 | IV ₂ | IV ₂ | IV ₂ | IV ₂ | 141.98~142.23m: 互いにほぼ垂直する60°と30°の割れ目が細かく交差する。割れ目沿いに径1~3mm程度の砂礫が認められる。割れ目は深部の低い断面が目立ち、開口化したものが多い。粘土を伴わない。 142.91~144.90m: 割れ目間隔は上下位に比べやや広くなるが、密着度の低い割れ目や砂礫れ目を多く含む。 | 4 0 | 100 | | | | | | | | | | | |
| —143 | | 花崗閃緑岩 | 花崗閃緑岩 | IV ₂ | IV ₂ | IV ₂ | IV ₂ | 143.57~143.70m: 上層60°、下層70°の割れ目沿いに結晶石化が強く、硬さを呈する。粘土化は殆んど伴わないが、径0.5mm以下の微細な葉状鉄鉱石と60°で層下~10mmの石英を帯状に伴う。 | 7 30 | 100 | | | | | | | | | | | |
| —144 | | | | | | | | | 6 0 | 100 | | | | | | | | | | | |

第7.4.4.234図 (29) ボーリング調査結果 (2号炉原子炉建屋とD-1トレンチの間) コア柱状図 (H27-B-2孔)

| 標尺 (m) | 標高 (m) | 柱状図 | 柱状区分 | 色調 | 硬軟 | 割れ目の形状 | 風変質 | 記 | コア採取率 (%) | 岩級区分 | 孔内水位測定 | 試験 | 室内試験 | 掘進月日 | 掘進速度 (cm/時) | 孔径 (mm) / 孔壁保護 | コアチップ | 給圧 (MPa) | 回転数 (rpm) | 送水圧 (MPa) | 送水量 (L/分) | 排水量 (L/分) | | | | | |
|--------|--------|-----|------|----|----------------|--------|-----|--|-------------|-------------------|--------|--------------------------------|------|------|-------------|----------------|-------|----------|-----------|-----------|-----------|-----------|--|--|--|--|--|
| —146 | | | 花崗斑岩 | 褐色 | Og Eg Dg | γ 2 | γ 2 | 145.65~148.26m: D 大半が割れ目沿いに風化が拡大し、 厚膜な砂状を呈し、85~20mmで残置 する岩片も悉く、砂状化~塊状砂状 を呈す。白~暗緑灰色結 晶質岩に分布する。 146.74~148.00m: 146.91~147.50m は硬さ「D」、主体の、147.81~148.01 mは硬さ「C」のコアが中石的に分布 する。 | 0 3 0 | 100 100 100 | | (標準貫入) 試験 (N値~深度) 図 (N値) | | | | | | | | | | | | | | | |
| —147 | | | 花崗斑岩 | 褐色 | Og Eg Dg | γ 2 | γ 2 | 146.91~147.50m: 硬さ「D」の岩片 主体であるが、割れ目沿いに砂状化 が進心部分を占む。 147.50~147.82m: 上下葉55°の割れ 目の間には、一部砂状化を呈する。 147.65m: 55°の割れ目に幅1~2mmの 暗緑灰色結晶岩を挟む。砂状~シ ルト状化する。 147.81~148.01m: 硬さ「C」のコア が残置。割れ目は多いが、挟在物は 分布しない。 148.26~148.19m: DL 上端55°、下端50°のほぼ同方向の 割れ目で囲まれる。 | 0 4 0 | 100 100 100 | | | | | | | | | | | | | | | | | |
| —148 | | | 花崗斑岩 | 褐色 | Og Eg Dg | γ 2 | γ 2 | 148.08m: 50°で幅1~2mmの暗緑灰色 結晶岩を挟み、砂状化を呈し、 割れ目は20、1mmの隙間を若干イテを 少量含む。 148.84m: 深、割れ目沿いに幅1~2mm で砂状化する部分がある。 149.19~149.67m: D 割れ目沿いに風化が拡大し硬質な砂 状を呈する。岩片は径10mm前後の硬 さ「D」で残置し、砂状化を呈する。 灰白色粘土がわずかに点在する。下 葉の49°の間に幅1~2mmの暗緑色 結晶岩を挟む。割れ目は幅1~2mmの隙 間を若干イテを少量含む。 149.67~152.10m: DL 149.67~150.22m: 硬さ「C」で割れ 目の一部に砂などを挟む。 | 0 6 0 | 100 100 100 | | | | | | | | | | | | | | | | | |
| —149 | | | 花崗斑岩 | 褐色 | Og Eg Dg | γ 3 | γ 3 | 149.67~152.10m: DL 149.67~150.22m: 硬さ「C」で割れ 目の一部に砂などを挟む。 | 0 5 0 | 100 100 100 | | | | | | | | | | | | | | | | | |

第7.4.4.234図 (30) ボーリング調査結果 (2号原子炉建屋とD-1トレンチの間) コア柱状図 (H27-B-2孔)

| 標尺 (m) | 標高 (m) | 深度 (m) | 柱状図 | 岩種区分 | 色調 | 硬軟 | 割れ目の形状 | 変風 | 記 | コア採取率 (%) | 岩級区分 | 孔内水位 (m) 測定日 | (N) 値 | (N 値 ~ 深度) 図 | 試験 | 原位置試験 (孔内圧蓋) | 室内試験 | 掘進月日 | 掘進速度 (cm / 時) | 孔径 (mm) / 孔壁保護 | コアチップ / ビット | 給圧 (kN / MPa) | 回転数 (rpm) | 送水圧 (MPa) | 送水量 (L / 分) | 排水量 (L / 分) | | |
|--------|--------|-------------|-----|------|----|----|--------|----|---|-------------|------|--------------|---------|----------------|----|----------------|------|------|---------------|----------------|-------------|---------------|-----------|-----------|-------------|-------------|--|--|
| 156 | | | | 明礫灰 | | | | | 156.00~160.00m 区 割れ目状いは暗緑灰色の緑泥石化が 進む。特に、157.89~160.00mでは緑 泥石化が著しく緑灰色を呈し、幅2~ 20mmで砂~シルト状化する部分も認 められる。 | 5 00 | | | | | | | | | | | | | | | | | | |
| 157 | | | | 花崗岩 | | | | | 156.72m、75~80°で幅1~10mmの硬 質な砂状部が径1~2mmの花崗岩の 扁平状部を挟んで上下位方向に連 続する。下部は158.24mで、下端面に 砂状部が認められる。158.72mには 砂状部が認められ、同様に 硬質な砂状部の層状部は様々な方向の割 れ目を充填している。 | 2 00 | | | | | | | | | | | | | | | | | | |
| 158 | | | | 花崗岩 | | | | | 158.00~158.20m、径5~10mmの硬状 部と硬質な砂状部からなり、砂状部 を呈する。 | 3 00 | | | | | | | | | | | | | | | | | | |
| 159 | | | | 礫 | | | | | 159.06~159.33m、割れ目状いに暗緑 灰色砂状~シルト状の緑泥石化幅2~ 20mmで分布する。160.00mにかけて岩 芯まで暗緑灰色化する。 | 5 00 | | | | | | | | | | | | | | | | | | |
| | | 93.03160.00 | | | | | | | 159.78m、70~80°で幅1~10mmの方 礫石部が認めしなから連続する。 | | | | | | | | | | | | | | | | | | | |

第7.4.4.234図 (32) ボーリング調査結果 (2号炉原子炉建屋とD-1トレンチの間) コア柱状図 (H27-B-2孔)

件名：

孔番：H27-B-2

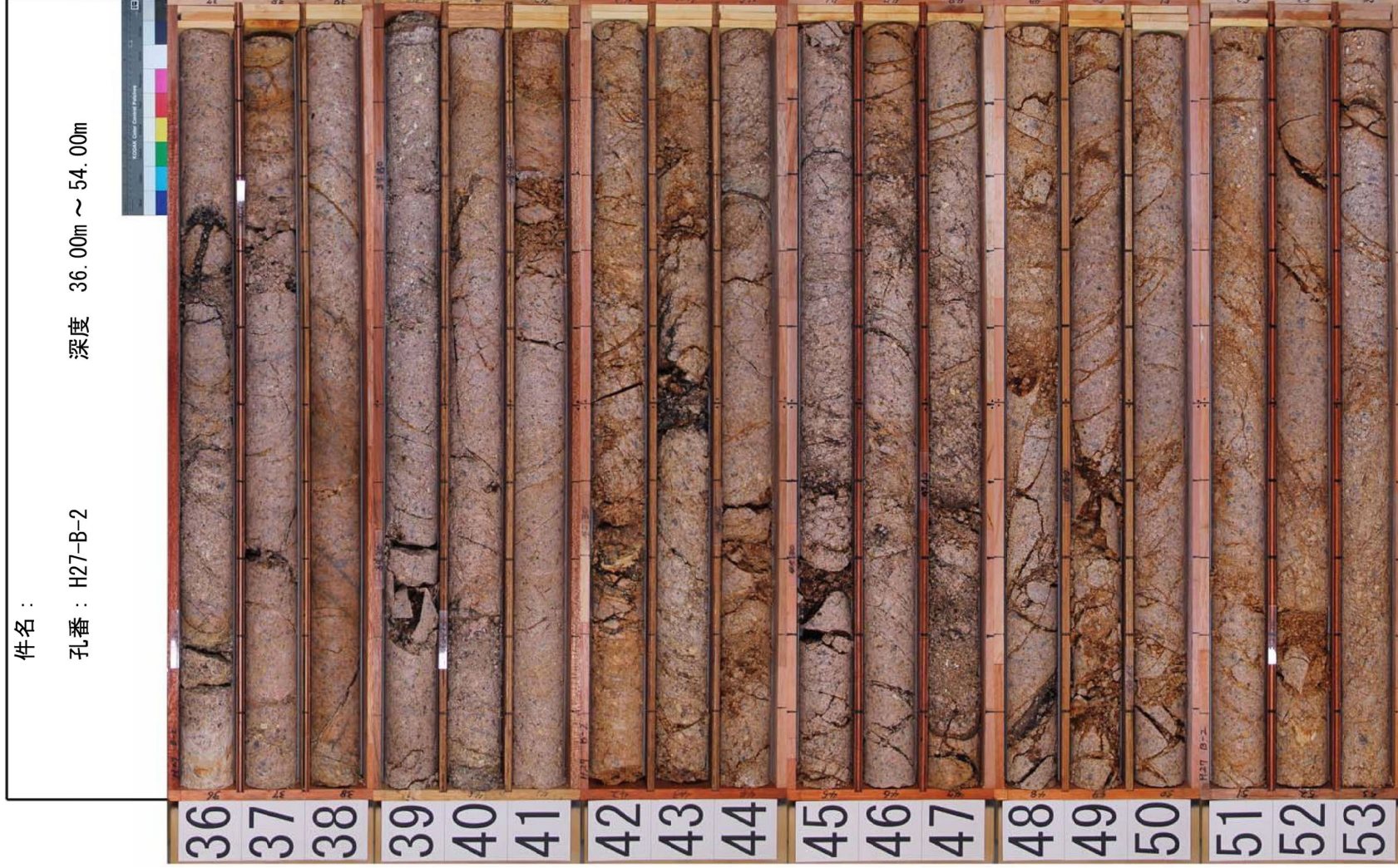
深度 0.00m ~18.00m



第7.4.4.234図 (33) ボーリング調査結果(2号炉原子炉建屋とD-1トレンチの間) コア柱状図 (H27-B-2孔)



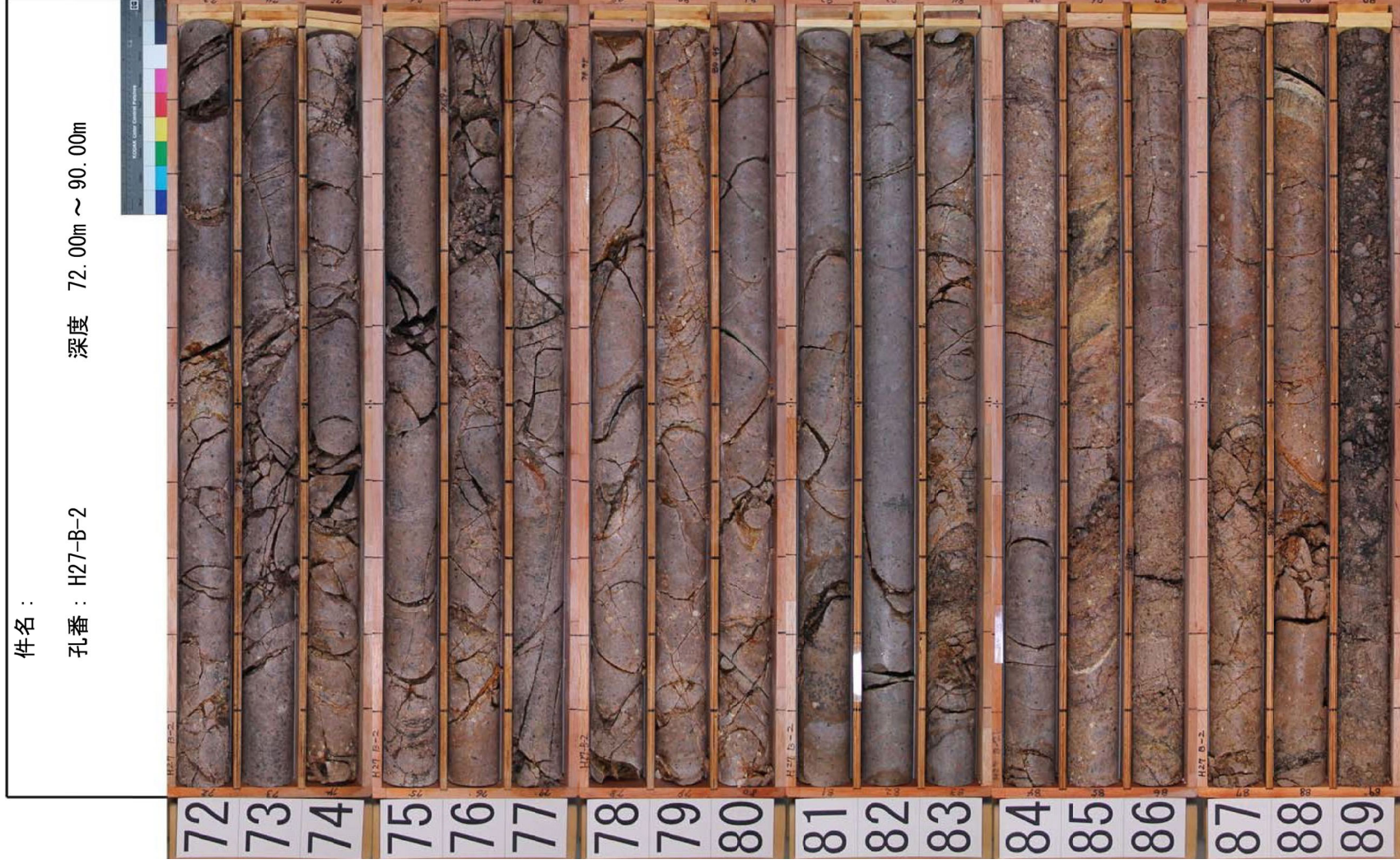
第7.4.4.234図 (34) ボーリング調査結果 (2号炉原子炉建屋とD-1トレンチの間) コア柱状図 (H27-B-2孔)



第7.4.4.234図 (35) ボーリング調査結果 (2号炉原子炉建屋とD-1トレンチの間) コア柱状図 (H27-B-2孔)



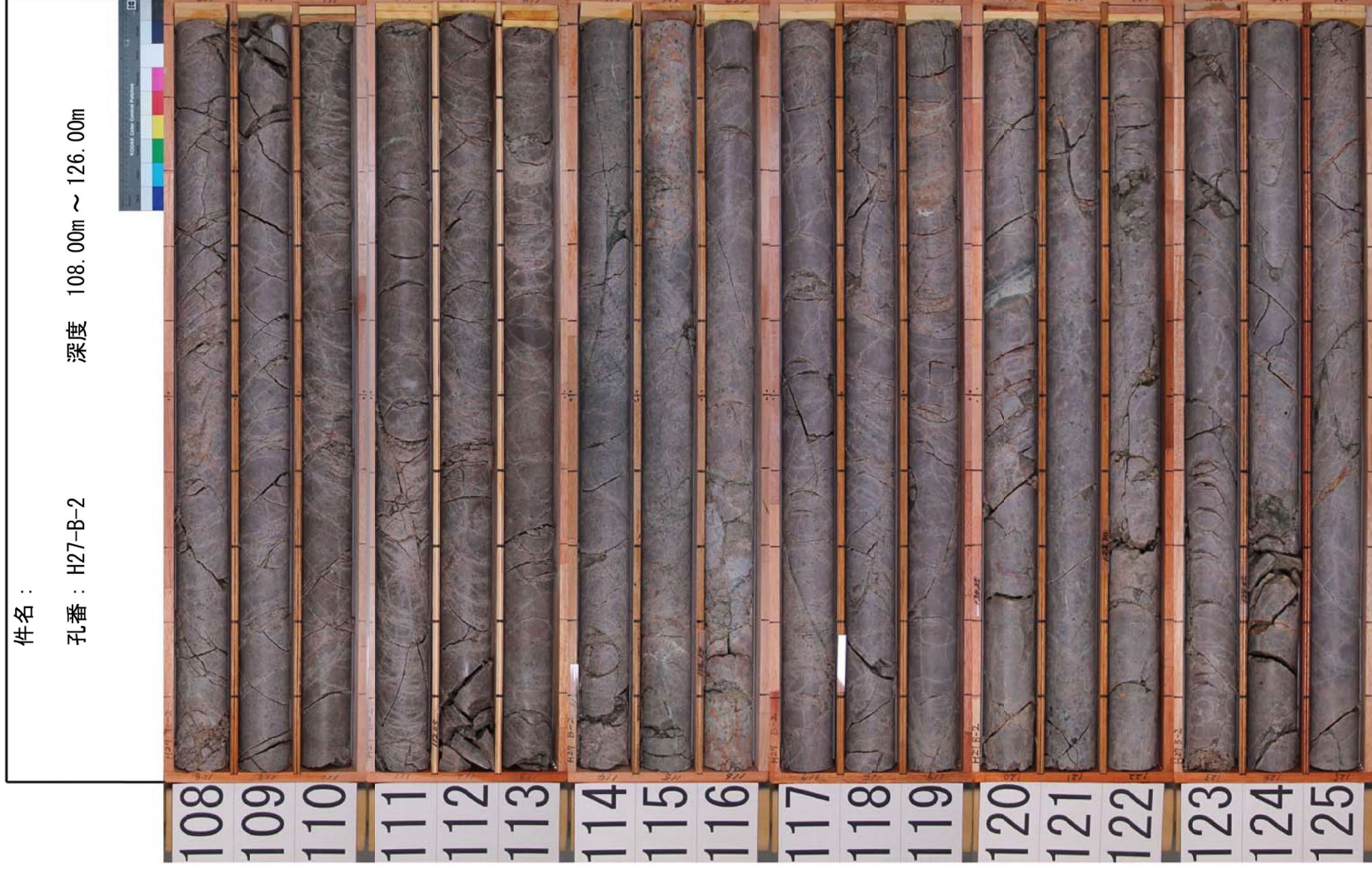
第7.4.4.234図 (36) ボーリング調査結果 (2号炉原子炉建屋とD-1トレンチの間) コア柱状図 (H27-B-2孔)



第7.4.4.234図 (37) ボーリング調査結果 (2号炉原子炉建屋とD-1トレンチの間) コア柱状図 (H27-B-2孔)



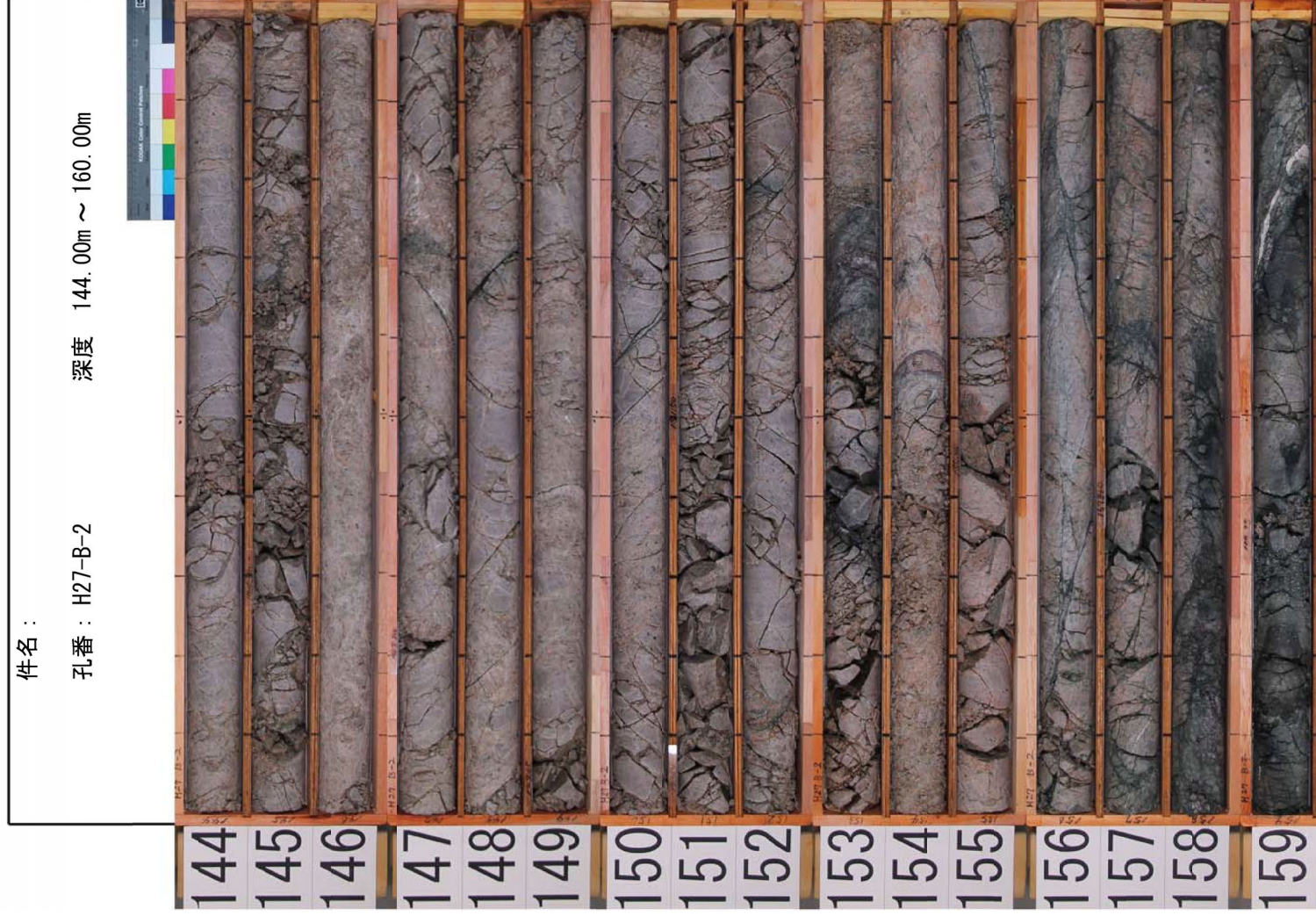
第7.4.4.234図 (38) ボーリング調査結果 (2号炉原子炉建屋とD-1トレンチの間) コア柱状図 (H27-B-2孔)



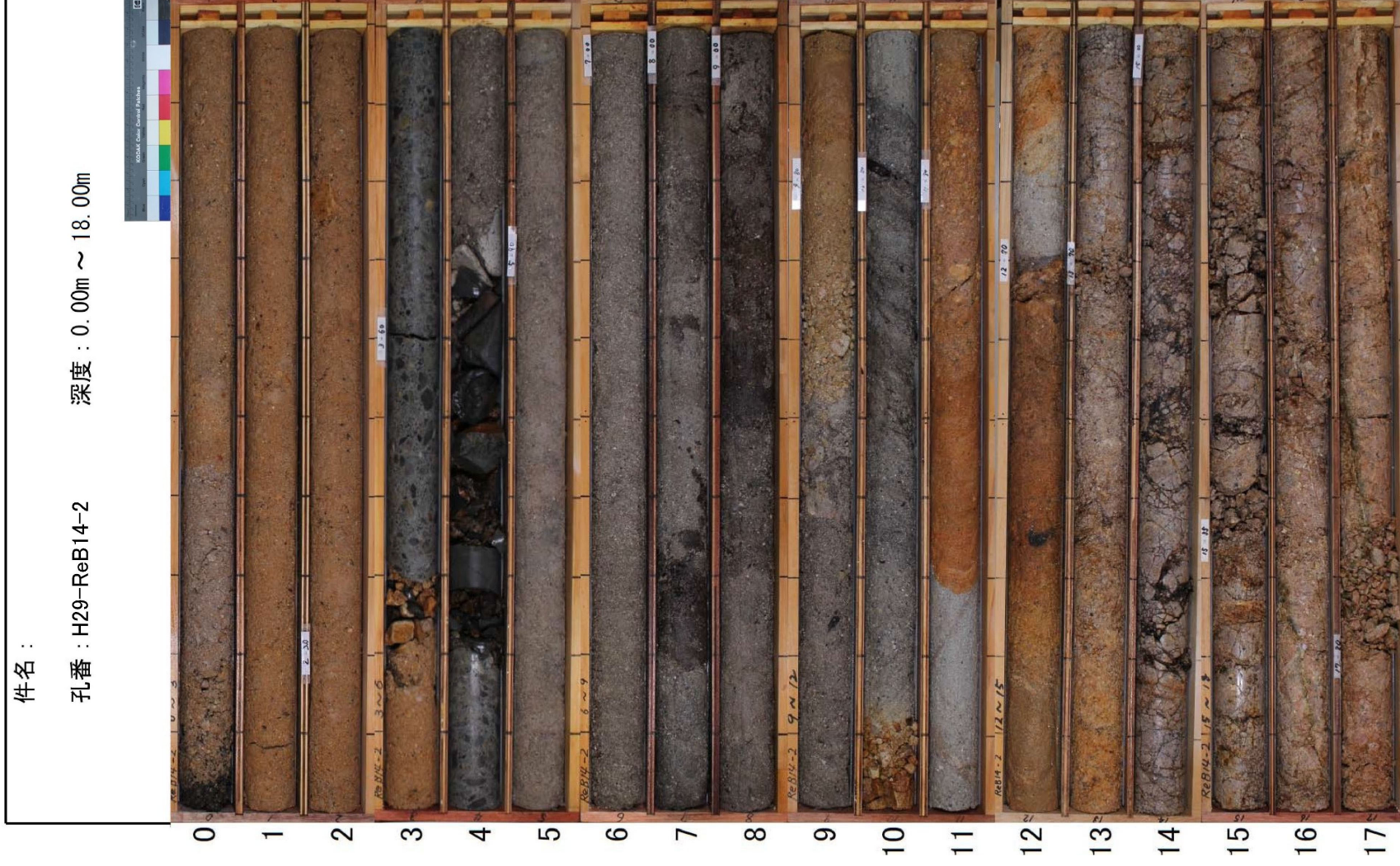
第7.4.4.234図 (39) ボーリング調査結果 (2号炉原子炉建屋とD-1トレンチの間) コア柱状図 (H27-B-2孔)



第7.4.4.234図 (40) ボーリング調査結果 (2号炉原子炉建屋とD-1トレンチの間) コア柱状図 (H27-B-2孔)



第7.4.4.234図 (41) ボーリング調査結果 (2号炉原子炉建屋とD-1トレンチの間) コア柱状図 (H27-B-2孔)



第7.4.4.235図(5) ボーリング調査結果 (K断層の南方から2号炉原子炉建屋間) コア柱状図 (H29-ReB14-2孔)